

Universidade Federal de Pernambuco Centro de Ciências Exatas e da Natureza Dept. Matemática

Pós-graduação em Matemática

Soluções Auto-similares e Comportamento Assintótico para as Equações de Navier-Stokes

Marcelo Fernandes de Almeida

Dissertação de Mestrado

Recife

26 de Fevereiro de 2008



Marcelo Fernandes de Almeida

Soluções Auto-similares e Comportamento Assintótico para as Equações de Navier-Stokes

Trabalho apresentado ao Programa de Pós-graduação em Matemática do Dept. Matemática da Universidade Federal de Pernambuco como requisito parcial para obtenção do grau de Mestre em Matemática.

Orientador: Lucas Catão de Freitas Ferreira

Recife

26 de Fevereiro de 2008

Almeida, Marcelo Fernandes de

Soluções auto-similares e comportamento assintótico para as equações de navier-Stokes / Marcelo Fernandes de Almeida. – Recife: O Autor, 2008.

ix, 74 folhas : il., fig.

Dissertação (mestrado) – Universidade Federal de Pernambuco. CCEN. Matemática, 2008.

Inclui bibliografia.

1. Equações diferenciais parciais I. Título.

515.353 CDD (22.ed.) MEI2008-034

Tese submetida ao Corpo Docente do Programa de Pós-graduação do Departamento de Matemática da Universidade Federal de Pernambuco como parte dos requisitos necessários para a obtenção do Grau de Mestrado em Matemática.

Aprovado:

Lucas Catão de Freitas Ferreira, DMAT-UFPE

Orientador

Cláudio Rodnigo Cuevas/Henriquez, DMAT-UFPE

Flávio Menezes de Aguiar, DF-UFPE

SOLUÇÕES AUTO-SIMILARES E COMPORTAMENTO ASSINTÓTICO PARA AS EQUAÇÕES DE NAVIER-STOKES

Marcelo Fernandes de Almeida

UNIVERSIDADE FEDERAL DE PERNAMBUCO CENTRO DE CIÊNCIAS EXATAS E DA NATUREZA DEPARTAMENTO DE MATEMÁTICA Cidade Universitária – Tels. (081) 2126 - 8414 – Fax: (081) 2126 - 8410 RECIFE – BRASIL

Fevereiro - 2008

Agradecimentos

Estou agradecido ao Professor Lucas C.F. Ferreira, a quem devo minha orientação de Mestrado, e a meus amigos Zaqueu (Cacaroto), Joilson (Profeta), Allyson (Vovô), Adecarlos (Smalville).

A Eder (Gordo), Bruno, Paulo (Emo), Rodrigo (Gudan Feira), Antônio (Macarrão), Andre Ventura, Andre (Milky), Ricardo, Luiz, Tiago, Lucas (Lapa), Wagner. E ainda, Andre (bebê), Wilberclay e Manassés (Bana), os certinhos do departamento.

Agradeço também a Renata, Giovana (Gigi), Anete, Cristina e Chirley.

A todos os professores do Departamento de Matemática da UFPE, os quais contribuiram, direto ou indiretamente, para minha formação durante o Mestrado.

A todos os meus amigos baianos os quais, mesmo indiretamente, inspiraram-me na realização desta dissertação.

A toda minha família, que sempre esteve presente durante todas as etapas de minha vida. Agradeço, pelos conselhos adequados nos momentos certos, e por outros motivos difíceis de expressar e mensurar; sou especialmente grato a minha mãe Sirlene, a minha avó Noemia, e ao meu avô Miguel, que Deus o tenha em um bom lugar.

Uma pessoa pela qual tenho um grande carinho e também merece um agradecimento especial, é minha irmã Cristiane.

Ao meu tio José Carlos, que sempre me ajudou durante boa parte de minha vida, e aos meus primos Marcos, Ana e Flávia.

Um agradecimento especial a Capes, pelo auxílio financeiro, e ao Departamento de Matemática da UFPE, pela confiança na concessão de minha bolsa de estudos.

Tudo o que temos de decidir, é o que fazer com o tempo que nos é dado.

Christopher Tolkien

Resumo

Nesta dissertação estudaremos as equações de Navier-Stokes em \mathbb{R}^m , assumindo que o fluido é incompressível e homogêneo. Analisaremos o problema de Cauchy associado em espaços de Marcinkiewicz com índices escolhidos de forma a permitir a existência de soluções auto-similares. Estudaremos também o comportamento assintótico das soluções, mostrando que as soluções auto-similares atraem as soluções que são iniciadas em pequenas perturbações de funções homogêneas. Além disso, abordaremos o problema de Cauchy nos espaços de Lebesgue \mathcal{L}^p , e assumindo mais regularidade na condição inicial, demonstraremos algumas estimativas de decaimento para as soluções. O conteúdo desta dissertação encontra-se nas seguintes referências [2, 3, 6, 11, 13, 17].

Palavras-chave: Soluções Auto-similares, Equações de Navier-Stokes, Comportamento Assintótico, Espaços de Lorentz.

Abstract

This master dissertation deals with the Navier-Stokes's equations on \mathbb{R}^m , assuming that the fluid is incompressible and homogeneous. We analyzed the Cauchy's problem in Marcinkiewicz spaces (\mathcal{L}^p —weak), with the right index to allow the existence of self-similar solutions. We also study the asymptotic behavior of the solutions and show the existence of a basin of attraction for each self-similar solution. Furthermore, we study the problem of Cauchy's on \mathcal{L}^p , and assuming more regularity in the initial condition, we prove some decay estimates for the solution. The contents of this dissertation can be found in the following references [2, 3, 6, 11, 13, 17].

Keywords: Self-similar solutions, Navier-Stokes's equations, Asymptotic behavior, Lorentz spaces.

Sumário

IN	1			
1	\mathbf{Pre}	4		
	1.1	Defini	ições e Notações	4
	1.2	As fu	nções distribuição e rearranjo	5
	1.3	Desig	ualdade de Hardy-Littlewood	12
	1.4	Espaç	go de Lorentz $\mathscr{L}(p,q)$	16
		1.4.1	Propriedades Topológicas em $\mathscr{L}(p,q)$	22
	1.5	Desig	ualdade de Young e de Hölder em $\mathscr{L}(p,q)$	27
		1.5.1	Desigualdade de Young	27
		1.5.2	Desigualdade de Hölder	30
	1.6	Aprox	ximação da Identidade em $\mathscr{L}(p,q)$	31
	1.7	Trans	sformada de Riesz em $\mathcal{L}(p, q)$	33
2	Sol	36		
	2.1	Soluçõ	41	
		2.1.1	Boa-Colocação em $\mathscr{L}(p, \infty)$	41
		2.1.2	Estimativas do termo não linear	44
		2.1.3	Estimativas do termo linear	47
		2.1.4	Prova do Teorema 2.5	49
		2.1.5	Demonstração do Teorema 2.6	51
	2.2	Soluçõ	54	
		2.2.1	Boa-Colocação em \mathcal{L}^p	54
		2.2.2	Demonstração do Teorema 2.15	57
	2.3 Soluções brandas locais em $\mathscr{L}^p(\mathbb{R}^m)$			59
		2 3 1	Demonstração do Teorema 2 22	60

		SUMÁRIO	ix
3	Sol	ıções auto-similares e Comportamento assintótico	63
	3.1	Estimativas de Decaimento	66
		3.1.1 Prova do teorema 3.4	68
	3.2	Estabilidade Assintótica	70
B :	IBLI	73	

INTRODUÇÃO

Nesta dissertação iremos estudar as equações de Navier-Stokes em \mathbb{R}^m assumindo que o fluido é homogênio e incomprensível. Consideraremos ainda que o fluido é viscoso e não está submetido a nenhuma força externa. As equações que descrevem a evolução do campo velocidade das partículas de fluido, u(t,x), e da pressão p(t,x), na posição x e no tempo t, são dadas por:

$$\begin{cases} \rho \frac{\partial}{\partial_t} u + \rho(u.\nabla) u - \mu \triangle u + \nabla p = 0 & t > 0, \ x \in \mathbb{R}^m \\ \nabla \cdot u = 0 & t > 0, \ x \in \mathbb{R}^m \\ u(0, x) = a_0(x) \in \nabla \cdot a_0(x) = 0 & x \in \mathbb{R}^m. \end{cases}$$
(NS)

Como usual, $\nabla \cdot u = \sum_{j=1}^{m} \partial_{j}u$ é o divergente do campo velocidade $u = (u_{1}, \cdots, u_{m})$, $\nabla p = (\partial_{1}p, \cdots, \partial_{m}p)$ é o gradiente da pressão p, a_{0} é a velocidade inicial do fluido e a condição divergente nulo, expressa a incomprensibilidade do fluido. Esta última condição advém do princípio da conservação da massa junto com a homogeneidade do fluído. Por outro lado, a primeira equação em (NS) é uma consequência da Segunda Lei Newton, ou seja, da conservação do momento. Mais precisamente, o termo $\partial_{t} + (u.\nabla)u$ representa a derivada em relação ao tempo do campo velocidade ao longo das trajetórias de partículas do fluído, isto é, a derivada material do campo velocidade. O termo $-\Delta u + \nabla p$ aparece devido às forças que agem no fluido, sendo $-\Delta u$ associado a força de atrito entre as camadas do fluido, e o termo ∇p associado a pressão do fluido (para mais detalhes, ver [7]). Nas equações (NS) as constantes ρ e μ denotam, respectivamente, a densidade do fluido e o coeficiente de viscosidade os quais, por simplicidade, assumiremos $\rho = \mu = 1$. O sistema (NS) é um modelo clássico em mecânica dos fluidos.

O sistema (NS) tem sido muito investigado na últimas décadas, principalmente nas questões de formação de singularidades e existência global. O problema de formação de singuaridade e de existência global de muitos modelos de mecânica dos fluidos são

questões de grande interesse em matemática. No caso das equações de Navier-Stokes em dimensão três (3DNS) uma solução completa ainda está em aberto; inclusive o Instituto de Matemática Clay oferece um prêmio de um milhão de dolares para quem apresentar uma solução completa para este problema. Mas precisamente, o problema número seis da lista dos "millenium prize problems" é o seguinte:

Se u(0,x) é suave, então existe solução de (NS) suave, para todo tempo t > 0?

para mais detalhes ver [23]. Nessa direção o estudo de soluções auto-similares é importante porque pode dar informações sobre propriedades qualitativas de possíveis singularidades para o sistema (NS).

Nesta tese estudaremos a existência de soluções auto-similares para o sistema (NS) e analisaremos o comportamento assintótico das soluções. Desde que soluções auto-similares satisfazem a relação de escala característica da equação (ver Cap.3, Definição 3.1) é necessário assumir que o dado inicial é homogêneo com um certo grau, o qual é determinado pela relação de escala da equação.

Motivado por isso, o autor em [2], estudou o problema de Cauchy (NS) com o dado inicial em espaços de Marcinkiewicz (\mathcal{L}^p -fraco), o qual contém funções homogêneas. Por outro lado em, [3, 6], os autores estudaram o comportamento assintótico das soluções em espaços de Marcinkiewicz. Eles mostraram que a solução auto-similar é um atrator local em certas normas \mathcal{L}^p -fraca dependente do tempo.

O objetivo desta dissertação será demonstrar detalhadamente os resultados mencionados de existência de solução auto-similar e comportamento assintótico, para as equações de Navier-Stokes (NS). Devido a relação natural entre os espaços de Lebesgue \mathcal{L}^p e os espaços \mathcal{L}^p -fraco as técnicas usadas ainda funcionarão bem em \mathcal{L}^p . Assim, estudaremos o problema de Cauchy (NS) em espaços \mathcal{L}^p , cobrindo uma boa parte dos resultados encontrados no artigo [13]. Uma das diferenças entre a teoria \mathcal{L}^p e \mathcal{L}^p -fraco, é que a primeira permite naturalmente a existência de soluções locais no tempo, enquanto a segunda exige condições adicionais sobre o dado inicial. Por outro lado, com as técnicas exploradoas nesta dissertação, não é possível encontrar soluções auto-similares em espaços \mathcal{L}^p , pois este não contém funções homogêneas de qualquer grau. Para mais detalhes (ver Cap.3).

Nós organizamos a dissertação em três capítulos. O capítulo 1, são os preliminares essenciais para o desenvolvimento do presente trabalho. Neste capítulo, estudamos os

espaços de Lorentz $\mathcal{L}(p,q)$ detalhando as principais propriedades topológicas por exemplo, a completeza e a dualidade. A cerca da dualidade, mostramos que o dual do espaço $\mathcal{L}(p,q)$ é dado por $\mathcal{L}(p',q')$ para certos valores de p e q, isto é, os espaços de Lorentz são reflexivos. Destacamos, também, as desigualdades de Hölder e de Young, e o Teorema de Aproximação da Identidade em $\mathcal{L}(p,q)$ (Teorema 1.34). Finalizamos, os preliminares, demonstrando, com ajuda do Teorema de interpolação 1.39, que a k-transformada de Riesz, Definição 1.35, é contínua sobre os espaços de Lorentz. Em particular, os espaços de Marcinkiewicz ou \mathcal{L}^p -fraco.

No capítulo 2, são destacados os principais resultados de existência e unicidade de soluções brandas para as equações de Navier-Stokes em \mathbb{R}^m (NS). Mostramos, via a formulação integral (2.14) e o Lema Abstrato 2.8, a existência de soluções brandas globais em $\mathcal{L}(p,\infty)$ e \mathcal{L}^p para o sistema (NS), quando assumirmos que a norma dado inicial a_0 é suficientemente pequena nestes espaços (ver Teoremas 2.5, 2.15). Além disso, demonstramos que estas soluções têm todas as derivadas no tempo e no espaço, no sentido clássico. Demonstramos, também, a existência de soluções brandas locais em \mathcal{L}^p .

No capítulo 3, são investigados um tipo especial de solução, as chamadas soluções auto-similares (ver Definição 3.1), as quais descreve o comportamento do sistema (NS). Estudamos, também, o comportamento assintótico das soluções obtidas do Teorema 2.5 (ver capítulo 2). E, por fim, observamos que em certas normas \mathcal{L}^p -fraco, a solução auto-similar do Teorema 3.2 atrai as soluções obtidas por certas pequenas pertubações do dado inicial, isto é, existe uma bacia de atração para cada solução auto-similar.

Capítulo 1

Preliminares

Neste capítulo estudaremos os espaços de Lorentz, introduzidos por G.G. Lorentz (ver [16]) no ano de 1950, denotados por $\mathcal{L}(p, q)$, os quais serão usados para estudar o problema de Cauchy associado as equações de Navier-Stokes incomprensível (NS). Mostraremos algumas propriedades como a completude, dualidade e as desigualdades de Hölder e Young generalizadas para estes espaços. Estas propriedades serão de fundamental importância para provar a continuidade de termos não lineares que aparecem na equação integral associado com o problema de Cauchy de nosso interesse.

Os principais resultados relembrados neste capítulo são um subconjunto do conteúdo das seguintes referências [9, 14, 19, 22]. Nós iniciaremos o capítulo com algumas definições básicas.

1.1 Definições e Notações

Nesta dissertação o valor da constante C>0 pode mudar de linha para linha, ou em uma mesma linha.

Seja \mathcal{U} um aberto de \mathbb{R}^m e $k \in \mathbb{N}$. Denotaremos por $C^k(\mathcal{U})$ o espaço de todas funções em \mathcal{U} com derivada parcial, contínua, até a ordem k, e o conjunto $C^{\infty}(\mathcal{U}) = \bigcap_{1}^{\infty} C^k(\mathcal{U})$. Quando $\mathcal{U} = \mathbb{R}^m$, escreveremos simplismente C^{∞} para denotar $C^{\infty}(\mathbb{R}^m)$. Denotamos por C_c^{∞} , o espaço de todas funções f de classe C^{∞} em \mathbb{R}^m cujo suporte supp(f) é compacto.

Usaremos uma notação compacta para derivadas parciais, escreveremos ∂_j em vez de $\frac{\partial}{\partial x_j}$, e para derivadas de ordem mais alta, usaremos a notação de multi-index, que é uma m-upla de inteiros não negativos. Se $\alpha=(\alpha_1,\cdots,\alpha_m)$ é um multi-index, escrevemos

$$|lpha| = \sum_{j=1}^m lpha_j, \;\;
abla^lpha = \partial^lpha = \left(rac{\partial}{\partial_{x_1}}
ight)^{lpha_1} \cdots \left(rac{\partial}{\partial_{x_m}}
ight)^{lpha_m},$$

e para
$$x = (x_1, \dots, x_m) \in \mathbb{R}^m$$
,

$$x^{\alpha} = \prod_{j=1}^{m} x_j^{\alpha_j}.$$

Um espaço de funções C^{∞} de particular importância, é o espaço de Schwartz \mathscr{S} , no qual todas as funções, juntamente com todas as suas derivadas, decaem mais rapidamente no infinito que qualquer potência de |x|. Mais precisamente:

Definição 1.1. O espaço de Schwartz $\mathscr{S}(\mathbb{R}^m)$, é o conjunto de todas funções $f \in C^{\infty}$, tais que, a semi-norma

$$||f||_{(N,\alpha)} = \sup_{x \in \mathbb{R}^m} (1 + |x|^N) |\partial^{\alpha} f(x)|, \tag{1.1}$$

é finita, para qualquer inteiro não negativo N e qualquer multi-index α .

Exemplos de funções em \mathscr{S} , são dados pela família de funções $f_{\alpha}(x) = x^{\alpha}e^{-|x|^2}$, onde α é qualquer multi-index.

1.2 As funções distribuição e rearranjo

O objetivo desta seção, é discutir propriedades de rearranjo e função distribuição. No decorrer do capítulo, quando não mencionado contrário, a tripla $(\mathcal{U},\mathcal{M},\mu)$ denota um espaço de medida σ —finita e o termo $\mathbf{q.t.p}$ seguinifica em quase toda parte.

Definição 1.2. Seja f uma função \mathcal{M} -mensurável em \mathcal{U} . A aplicação $\mu_f:[0,\infty)\to[0,\infty)$ definida por

$$\mu_f(\lambda) = \mu(\{x \in \mathcal{U}; |f(x)| > \lambda\}), \quad (\lambda \ge 0)$$

é chamada a função distribuição de f.

A função μ_f depende somente do valor absoluto de f, é não-crescente e contínua à direita, como veremos adiante. A próxima proposição fornece algumas propriedades básicas de μ_f .

Proposição 1.3. Se f e g são funções \mathcal{M} -mensuráveis em \mathcal{U} , então

(i) μ_f é não-crescente e contínua à direita.

(ii) Se $|f(x)| \le |g(x)|$ q.t.p em U, então $\mu_f(\lambda) \le \mu_g(\lambda)$, $\forall \lambda \ge 0$.

(iii)
$$\mu_{f+g}(\lambda_1 + \lambda_2) \leq \mu_f(\lambda_1) + \mu_g(\lambda_2), \ \forall \ \lambda_1, \lambda_2 \geq 0.$$

Demonstração. Começaremos provando (i). Se $0 \le \lambda_1 < \lambda_2$, então

$$\{x \in \mathcal{U}; |f(x)| > \lambda_2\} \subset \{x \in \mathcal{U}; |f(x)| > \lambda_1\},$$

pela monotonicidade de medida, temos

$$\mu_f(\lambda_2) \leq \mu_f(\lambda_1)$$
.

Para provar que μ_f é contínua à direita, seja

$$\mathcal{A}_f(\lambda) = \{ x \in \mathcal{U}; |f(x)| > \lambda \},$$

e $\lambda_0 \geq 0$. Os conjuntos $\mathcal{A}_f(\lambda)$ são crescentes, quando λ decresce e

$$\mathcal{A}_f(\lambda_0) = \bigcup_{n=1}^{\infty} \mathcal{A}_f(\lambda_0 + \frac{1}{n}).$$

Assim, pela continuidade por baixo de medidas, temos

$$\lim_{n\to\infty} \mu_f(\lambda_0 + \frac{1}{n}) = \lim_{n\to\infty} \mu(\mathcal{A}_f(\lambda_0 + \frac{1}{n})) = \mu(\mathcal{A}_f(\lambda_0)) = \mu_f(\lambda_0),$$

ou seja, μ_f é contínua à direita.

Agora vamos provar (ii). Como $|f(x)| \le |g(x)|$ q.t.p em \mathcal{U} , então

$$\mathcal{A}_f(\lambda) = \{x \in \mathcal{U} ; |f(x)| > \lambda\} \subset \{x \in \mathcal{U} ; |g(x)| > \lambda\} = \mathcal{A}_g(\lambda).$$

Portanto $\mu(\mathcal{A}_f(\lambda)) \leq \mu(\mathcal{A}_g(\lambda))$, isto é, $\mu_f(\lambda) \leq \mu_g(\lambda)$.

Para provar (iii), basta observar que

$$\{x \in \mathcal{U}; |f(x) + g(x)| > \lambda_1 + \lambda_2\} \subset \{x \in \mathcal{U}; |f(x)| > \lambda_1\} \cup \{x \in \mathcal{U}; |g(x)| > \lambda_2\}$$

e aplicar a monotonicidade de medidas.

Outra propriedade importante da função μ_f , afirma que ao assumir $(f_n)_n$ uma seqüência de funções mensuráveis em \mathcal{U} , tal que, $|f_n| \leq |f_{n+1}|$ e $f_n \to f$ q.t.p, é possível mostrar que $\mu_{f_n}(\lambda) \to \mu_f(\lambda)$, $\forall \lambda \geq 0$. Com efeito, pela Proposição 1.3 (ii), temos que $\mathcal{A}_{f_n}(\lambda) \subset \mathcal{A}_{f_{n+1}}(\lambda)$, segue que $\bigcup_{n=0}^{\infty} \mathcal{A}_{f_n}(\lambda) \subset \mathcal{A}_f(\lambda)$. Além disso, dado $x \in \mathcal{A}_f$ tem-se $|f(x)| > \lambda$, mas por hipótese, existe $n_0 \in \mathbb{N}$, tal que, $s < |f_{n_0}(x)|$, isto é, $x \in \mathcal{A}_{f_{n_0}}$. Portanto,

$$\mathcal{A}_f = \bigcup_{n=0}^{\infty} \mathcal{A}_{f_n}.$$

Pela continuidade por baixo de medidas, concluímos $\mu_{f_n}(\lambda) \to \mu_f(\lambda)$.

Pode-se definir um tipo de convergência associado com a função distribuição, a qual é chamada convergência em medida. Mais precisamente, dizemos que uma sequência (f_n) de funções mensuráveis, converge em medida para f, quando para todo $\varepsilon > 0$

$$\mu(\lbrace x: |f_n(x)-f(x)| \geq \varepsilon\rbrace) \to 0, \text{ com } n \to \infty.$$

Dizemos também, que a sequência $\{f_n\}$ é de Cauchy em medida, quando

$$\mu(\lbrace x: |f_n(x)-f_m(x)| \geq \varepsilon\rbrace) \to 0, \text{ com } m, n \to \infty.$$

A próxima proposição mostra um tipo de "completeza" para a convergência em medida.

Proposição 1.4. Suponha que (f_n) é de Cauchy em medida. Então existe uma função mensurável f, tal que, $f_n \to f$ em medida.

Demonstração. Seja $(g_j)=(f_{n_j})$ uma subseqüência de (f_n) , tal que, $E_j=\{x: |g_j(x)-g_{j+1}(x)|\geq 2^{-j}\}$. Então $\mu(E_j)<2^{-j}$ logo, escrevendo $F_k=\bigcup_{j=k}^\infty E_j$, temos $\mu(F_k)\leq \sum_k^\infty 2^{-j}=\frac{1}{2^{1-k}}$. Quando $x\notin F_k$ para $i\geq j\geq k$, temos

$$|g_j(x) - g_i(x)| \le \sum_{l=i}^{i-1} |g_{l+1}(x) - g_l(x)| \le \sum_{l=i}^{i-1} 2^{-l} \le 2^{1-i}.$$
 (1.2)

Assim (g_j) é pontuamente de Cauchy em F_k^c . Seja $F = \bigcap_1^\infty F_k = \overline{\lim} E_j$, então $\mu(F) = 0$. Considere

$$f(x) = \begin{cases} \lim g_j(x), & x \notin F \\ 0, & x \in F \end{cases}$$
 (1.3)

então f é mensurável e $g_j \to f$ q.t.p. Também, pela desigualdade (1.2), temos $|g_j(x) - f(x)| \le 2^{1-j}$, quando $x \notin F_k$ e $j \ge k$.

Desde que $\mu(F_k) \to 0$, quando $k \to \infty$, segue que $g_j \to f$ em medida. Portanto, a seqüência $f_n \to f$ em medida, de fato

$$\{x: |f_n(x) - f(x)| \ge \varepsilon\} \subset \{x: |f_n(x) - g_j(x)| \ge \varepsilon/2\} \cup \{x: |g_j(x) - f(x)| \ge \varepsilon/2\},$$

logo

$$\mu(\{x:|f_n(x)-f(x)|\geq \varepsilon\})\leq \mu(\{x:|f_n(x)-g_j(x)|\geq \frac{\varepsilon}{2}\})+\mu(\{x:|g_j(x)-f(x)|\geq \frac{\varepsilon}{2}\}),\ (1.4)$$

mas $g_j \to f$ em medida e (f_n) é de Cauchy em medida, então para j e n sufcientemente grande o lado direito de (1.4) é suficientemente pequeno, isto conclui a prova da proposição.

Exemplo 1.5. Vamos calcular formalmente a função distribuição μ_f de uma função simples. Seja f uma função positiva e simples em $\mathcal U$ da forma

$$f(x) = \sum_{j} \alpha_{j} \chi_{A_{j}}(x), \qquad (1.5)$$

onde $\alpha_1 > \alpha_2 > \cdots > \alpha_m > 0$ e $A_j = \{x \in \mathcal{U} : f(x) = \alpha_j\}$ são subconjuntos disjuntos. Se $\lambda \geq \alpha_1$, então $\mu_f(\lambda) = 0$. Portanto, se $\alpha_2 \leq \lambda < \alpha_1$, então f(x) ultrapassa λ precisamente no conjunto A_1 , e assim $\mu_f(\lambda) = \mu(A_1)$. Similarmente, se $\alpha_3 \leq \lambda < \alpha_2$, então f(x) ultrapassa λ precisamente no conjunto $A_1 \cup A_2$, e assim $\mu_f(\lambda) = \mu(A_1 \cup A_2) = \mu(A_1) + \mu(A_2)$. Em geral, obtemos

$$\mu_f(\lambda) = \sum_{j} m_j \chi_{[\alpha_{j+1}, \alpha_j)}(\lambda), \quad (\lambda \ge 0), \tag{1.6}$$

onde

$$m_j = \sum_{i=1}^{j} \mu(A_i), \quad (j = 1, \dots, m)$$
 (1.7)

 $e \ \alpha_{m+1} := 0$, ver Figura 1.1 e 1.2.

Para cada função \mathcal{M} —mensurável f, vamos associar uma função f^* definida no intervalo $[0, \infty)$, chamada na literatura de rearranjo não-crescente de f. Mostraremos que f^* , é não-crescente, contínua à direita e equimensurável a f, ou seja, a função distribuição dela coincide com a função distribuição μ_f .

Definição 1.6. Seja f uma função \mathcal{M} -mensurável em \mathcal{U} . O rearranjo de f, \acute{e} uma aplicação $f^*:[0,\infty)\to[0,\infty]$, dada por

$$f^*(t) = \inf\{\lambda \ge 0; \, \mu_f(\lambda) \le t\}. \tag{1.8}$$

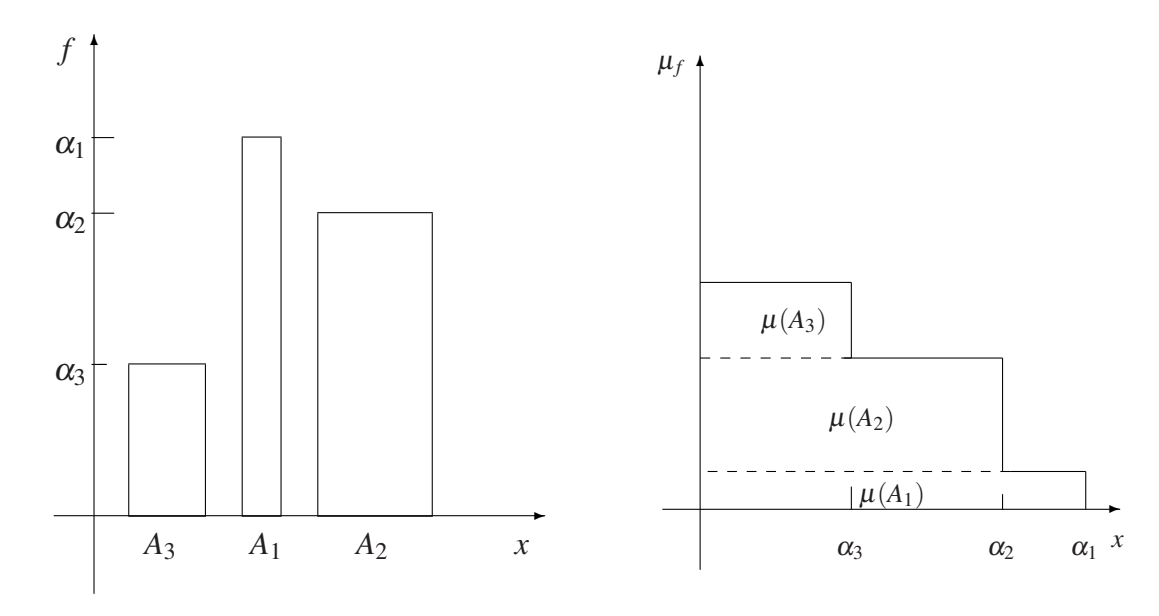


Figura 1.1 Gráfico de f.

Figura 1.2 Gráfico de μ_f .

Em (1.8), usaremos a convenção $\inf \emptyset = \infty$. Portanto, se $\mu_f(\lambda) > t$, então $f^*(t) = \infty$. Assumindo que $\mathcal U$ tem medida finita, então a função μ_f é limitada por $\mu(\mathcal U)$ e concluímos que, $f^*(t) = 0 \ \forall t \geq \mu(\mathcal U)$.

Proposição 1.7. f^* é o rearranjo de f se, e somente se,

$$f^*: [0, \infty) \rightarrow [0, \infty]$$

 $t \mapsto m_{\mu_f}(t),$

onde m denota a medida de Lebesgue na semi-reta.

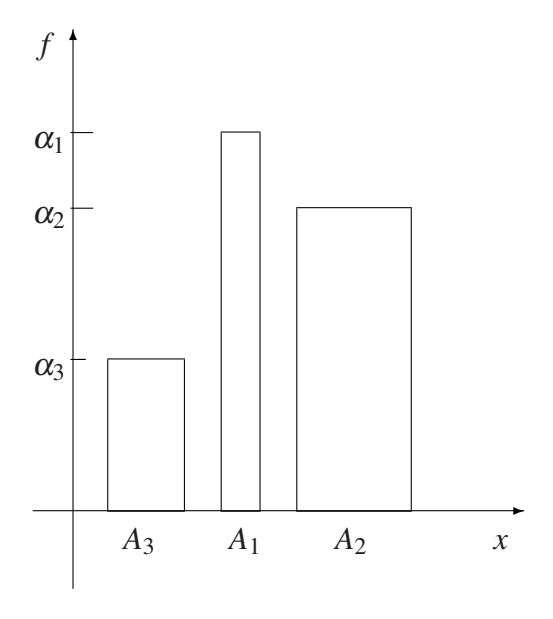
Demonstração. Desde que μ_f é não-crescente, Proposição 1.3, temos

$$\sup\{\lambda : \mu_f(\lambda) > t\} = m\{\lambda : \mu_f(\lambda) > t\}.$$

Assim, pela definição de μ_f ,

$$m_{\mu_f}(t) = m\{\lambda \ : \ \mu_f(\lambda) > t\} = \sup\{\lambda \ : \ \mu_f(\lambda) > t\} = \inf\{\lambda \geq 0 \ ; \ \mu_f(\lambda) \leq t\}.$$

Exemplo 1.8. Agora, vamos calcular o rearranjo não-crescente da função simples f dada por (1.5). Pela Definição 1.6 e a Figura 1.2, podemos ver que $f^*(t) = 0$, quando $t \ge m_3$.



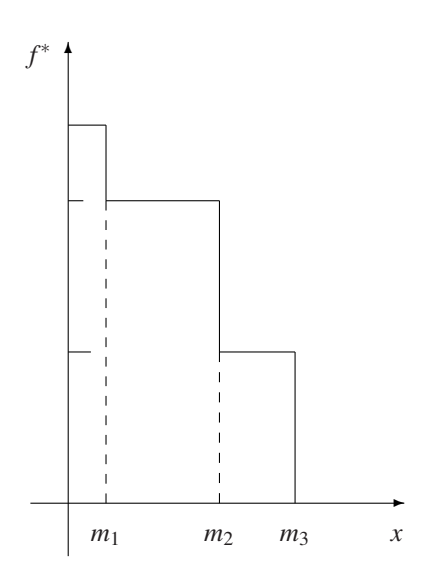


Figura 1.3 Gráfico de f.

Figura 1.4 Gráfico de f^* .

Também, se $m_3 > t \ge m_2$, então $f^*(t) = \alpha_3$, e se $m_2 > t \ge m_1$, então $f^*(t) = \alpha_2$. Mais precisamente,

$$f^*(t) = \sum_{j=1}^m \alpha_j \chi_{[m_{j-1}, m_j)}(t), \qquad (t \ge 0), \tag{1.9}$$

onde consideramos $m_0 = 0$.

Geometricamente, nós meramente rearranjamos os blocos verticais do gráfico de f em uma ordem não-crescente, para obter o rearranjo não-crescente f^* (ver Figuras 1.3, 1.4).

Segundo a Proposição 1.7, o rearranjo de f herda as mesmas propriedades da função distribuição de f. Outra propriedade de f^* , é a seguinte: $f^*(\mu_f(s)) \geq s$ e $\mu_f(f^*(t)) \leq t$. De fato, pela continuidade a direita de μ_f (ver Proposição 1.3), existe uma sequência (s_n) com $s_{n+1} \leq s_n$, tal que, $s_n \to f^*$ e $\mu_f(s_n) \leq t$. Logo, $\mu_f(f^*(t)) = \lim_{n \to \infty} \mu_f(s_n) \leq t$. Para ver que $f^*(\mu_f(s)) \geq s$, observemos que

$$f^*(\mu_f(s)) = \inf\{z > 0 ; \mu_f(z) \le \mu_f(s)\} \ge \inf\{z ; s < z\} = s,$$

pois μ_f é não-crescente. Portanto, assumindo que μ_f é crescente, concluímos que f^* é a função inversa de μ_f . Mais propriedades do rearranjo, são destacadas na próxima proposição.

Proposição 1.9. As seguintes propriedades são válidas:

- (i) $f^*(t) > \lambda \iff \mu_f(\lambda) > t$.
- (ii) $\mu_f(\lambda) = m_{f^*}(\lambda)$, onde m denota a medida de Lebesgue.
- (iii) Se $A \subset \mathcal{M}$, então $(f\chi_A)^* \leq f^*(t)\chi_{[0,\mu(A)]}$.
- (iv) Para $0 , <math>(|f|^p)^*(t) = (f^*(t))^p$.
- (v) $(f+g)^*(t_1+t_2) \le f^*(t_1) + f^*(t_2)$.

Demonstração. Para provar (i), observaremos a contrapositiva deste item e usaremos o fato de f^* ser não-crescente. Assim,

$$\mu_f(\lambda) \le t \Rightarrow f^*(t) \ge f^*(\mu_f(\lambda)) \ge \lambda.$$

A recíproca do item (i), o procedimento é semelhante.

Para provar (ii), seja m a medida de Lebesgue em $[0,\infty)$, por (i), tem-se

$$m_{f^*}(\lambda) = m(\lbrace t ; f^*(t) > t \rbrace)$$

$$\stackrel{(i)}{=} m(\lbrace t ; \mu_f(\lambda) > t \rbrace)$$

$$= m[0, \mu_f(\lambda)) = \mu_f(\lambda).$$

Prova de (iii)

Desde que $(f\chi_A)(x) \leq f(x)$, pela Proposição 1.3 (ii) e a Proposição 1.7, temos

$$(f\chi_A)^*(t) \le f^*(t)$$
, ou seja, $(f\chi_A)^*(t) = 0$, $t > \mu(A)$, (1.10)

pois $\mu\{x \in \mathcal{U} : |f\chi_A(x)| > \lambda\} \le \mu(A)$. Combinando as duas estimativas (1.10), concluímos o resultado.

Finalmente provaremos (iv), este item será importante para mostrar que $||f||_p^p = \int_0^\infty (f(t))^p dt$. Assumindo $0 \le \lambda < \infty$, obtemos

$$(|f|^p)^*(t) = \inf\{\lambda : \mu(\{x \in \mathcal{U} : |f(x)|^p > \lambda\}) \le t\}$$
$$= \inf\{v^p : \mu(\{x \in \mathcal{U} : |f(x)| > v\}) \le t\} = f^*(t)^p,$$

onde tomamos $v=\lambda^{1/p}$. A demonstração do quinto item, podemos encontrar em [14, pg.12].

1.3 Desigualdade de Hardy-Littlewood

Nesta seção, mostraremos que a norma em \mathscr{L}^p pode ser calculada a partir da função distribuição e do rearranjo de f. Depois, provaremos a famosa desigualdade de Hardy-Littlewood, a qual garante que a norma \mathscr{L}^1 do produto de duas funções mensuráveis não pode ser maior que a norma \mathscr{L}^1 do produto do rearranjo delas. A desigualdade de Hardy-Littlewood será de fundamental importância quando estudarmos o dual dos Espaços de Lorentz. Começaremos a seção com o lema.

Lema 1.10. São válidas as igualdades

$$\int_{\mathcal{U}} |f(x)| d\mu = \int_{0}^{\infty} \mu_{f}(\lambda) d\lambda \tag{1.11}$$

$$\int_{\mathcal{U}} |f(x)| d\mu = \int_{0}^{\infty} f^{*}(t) dt \qquad (1.12)$$

$$\sup_{\lambda>0} \lambda \mu_f(\lambda) = \sup_{t>0} t f^*(t). \tag{1.13}$$

Demonstração. Provaremos este lema para funções simples. Seja s uma função positiva e simples em $\mathcal U$ da forma

$$s(x) = \sum_{j} \alpha_{j} \chi_{A_{j}}(x),$$

onde $\alpha_1>\alpha_2>\cdots>\alpha_k>0$ e A_j são subconjuntos disjuntos. Então

$$\mu_s(\lambda) = \sum_{j=1}^k \beta_j \chi_{B_j}(\lambda),$$

onde denotamos $\beta_j = \sum_{i=1}^j \mu(A_i), B_k = [\alpha_{j+1}, \alpha_j), j = 1, \dots, k \in \alpha_{k+1} = 0.$

Assim, pela definição de integral simples,

$$\int_0^\infty \mu_s(\lambda) d\lambda = \sum_{j=1}^k \beta_j m([\alpha_{j+1}, \alpha_j)) = \sum_{j=1}^k \beta_j (\alpha_j - \alpha_{j+1}).$$

Como

$$\sum_{j=1}^{k} \beta_{j}(\alpha_{j} - \alpha_{j+1}) = \beta_{1}(\alpha_{1} - \alpha_{2}) + \beta_{2}(\alpha_{2} - \alpha_{3}) + \dots + \beta_{k}\alpha_{k}$$

$$= \beta_{1}\alpha_{1} + \alpha_{2}(\beta_{2} - \beta_{1}) + \dots + \alpha_{k+1}(\beta_{k-1} - \beta_{k-2})\beta_{k}\alpha_{k}$$

$$= \sum_{j=1}^{k} \alpha_{j}\mu(A_{j}),$$

obtemos

$$\int_0^\infty \mu_s(\lambda) d\lambda = \sum_{j=1}^k \alpha_j \mu(A_j) = \int_0^\infty s(x) d\mu.$$

Isto prova a igualdade (1.11) do lema. A prova da igualdade (1.12) segue da observação

$$s^*(t) = \sum_{j=0}^{k} \alpha_j \chi_{[\beta_{j-1}, \beta_j)}(t).$$

Portanto,

$$\int_0^\infty s^*(t)dt = \sum_{j=1}^k \alpha_j(\beta_j - \beta_{j-1}) = \sum_{j=1}^k \alpha_j \mu(A) = \int_{\mathcal{U}} s(x)d\mu.$$

Agora provaremos (1.13). Assuma que $\mu_f(\lambda) < \infty$ e $f^*(t) < \infty$, provaremos que

$$\sup_{\lambda>0} \lambda \mu_f(\lambda) \leq \sup_{t>0} t f^*(t).$$

Com efeito, desde que $\mu_f(\lambda) < \infty$, então $f^*(\mu_f(\lambda)) \ge \lambda$ e

$$\sup_{t>0} t f^*(t) \ge \mu_f(\lambda) f^*(\mu_f(\lambda)) \ge \mu_f(\lambda) \lambda.$$

Logo $\sup_{t>0} tf^*(t)$ é uma cota superior. Dado $\varepsilon > 0$, pela Definição 1.6, temos $f^*(t) - \varepsilon < \lambda$. Pela Proposição 1.3 (i), obtemos.

$$\sup \lambda \mu_f(\lambda) \geq (f^*(t) - \varepsilon) \mu_f(f^*(t) - \varepsilon),$$

assim, pelo item (ii) da Proposição 1.9, temos

$$\sup \lambda \mu_f(\lambda) \geq (f^*(t)) - \varepsilon \mu(\{s \; ; \; f^*(s) > f^*(t) - \varepsilon\})$$

$$\geq (f^*(t) - \varepsilon)t,$$

ou seja, a igualdade (1.13) é válida, quando μ_f e f^* são finitas. Se existe $\lambda_0 \in (0, \infty)$, tal que, $\mu_f(\lambda_0) = \infty$, então

$$\sup_{\lambda>0} \lambda \mu_f(\lambda) = \infty \text{ e } \sup_{t>0} t f^*(t) \ge \sup_{t>0} t \lambda_0 = \infty.$$

reciprocamente, se existe $t_0 \in (0,\infty)$, tal que, $f^*(t_0) = \infty$, então $\sup_{t>0} t f^*(t) = \infty$ e

$$\sup_{\lambda>0} \lambda \mu_f(\lambda) \ge \sup_{\lambda>0} \lambda t_0 = \infty$$

e a igualdade (1.13) é ainda verdadeira para o caso μ_f ou f^* infinitos.

Agora estamos em condições de identificar a norma dos espaços \mathcal{L}^p , usando a função distribuição e o rearranjo, através do teorema.

Teorema 1.11. Seja $0 e <math>f \in \mathcal{L}^p(\mu)$, então valem as seguintes igualdades

$$\int_{\mathcal{U}} |f(x)|^p d\mu = p \int_0^\infty \lambda^{p-1} \mu_f(\lambda) d\lambda. \tag{1.14}$$

$$\int_{\mathcal{I}} |f(x)|^p d\mu = \int_0^\infty f^*(t)^p dt. \tag{1.15}$$

$$\sup_{\lambda>0} \lambda \mu_f(\lambda)^{\frac{1}{p}} = \sup_{t>0} t^{\frac{1}{p}} f^*(t). \tag{1.16}$$

Para $p = \infty$, temos

$$ess \sup_{x \in \mathcal{I}} |f(x)| = inf\{\lambda : \mu_f(\lambda) = 0\} = f^*(0).$$

Demonstração. Primeiro assuma 0 . Pelo Lema 1.10, temos

$$\int_{\mathcal{U}} |f(x)|^p d\mu = \int_0^\infty \mu_{|f|^p}(\lambda) d\lambda = \int_0^\infty \mu_{|f|}(\lambda^{\frac{1}{p}}) d\lambda$$

Considerando a mudança de variável, $\nu = \lambda^{\frac{1}{p}}$, obtemos

$$\int_0^\infty \mu_{|f|}(\lambda^{\frac{1}{p}})d\lambda = \int_0^\infty \mu_f(v)d(v^p) = p \int_0^\infty v^{p-1}\mu_f(v)dv.$$

A prova da segunda igualdade (1.14), segue, respetivamente, da Proposição 1.9 (iv) e do Lema 1.10. De fato,

$$\int_0^\infty f^*(t)^p dt = \int_0^\infty (|f|^p)^*(t) dt = \int_{\mathcal{I}} |f(x)|^p d\mu.$$

Não é difícil verificar a última igualdade, quando usamos o Lema 1.10.

O caso $p=\infty$ é consequência das definições, de supremo essencial e da função distribuição. De fato,

$$\begin{split} \underset{x \in \mathcal{U}}{\operatorname{ess}} \sup_{\boldsymbol{x} \in \mathcal{U}} |f(\boldsymbol{x})| &= \inf \{ \boldsymbol{\lambda} \; ; \; \mu(\{\boldsymbol{x} \in \mathcal{U} \; ; \; |f(\boldsymbol{x})| > \boldsymbol{\lambda} \}) = 0 \} \\ &= \inf \{ \boldsymbol{\lambda} \; ; \; \mu_f(\boldsymbol{\lambda}) = 0 \} \\ &= f^*(0). \end{split}$$

Para finalizar a seção, vamos provar a desigualdade de Hardy-Littlewood, a qual nos informa que a integral do produto de funções \mathcal{M} -mensuráveis não pode ser maior que a integral do produto do rearranjo delas. A prova deste resultado basea-se na seguinte estimativa

$$\int_{A} |f(x)| d\mu \le \int_{0}^{a} f^{*}(t) dt, \tag{1.17}$$

a qual é válida para qualquer conjunto mensurável A com medida $\mu(A) \leq a$. Com efeito, pelo Lema 1.10, segue que

$$\int_{A} |f(x)| d\mu = \int_{\mathcal{U}} |f(x)\chi_{A}(x)| d\mu = \int_{0}^{\infty} (f\chi_{A})^{*}(t) dt.$$

Deixe-nos observar, que $(f\chi_A)^* \leq f^*\chi_{[0,\mu(A))}$. Logo,

$$\int_0^{\infty} (f \chi_A)^*(t) dt \leq \int_0^{\infty} f^*(t) \chi_{[0,\mu(A))}(t) dt = \int_0^{\mu(A)} f^*(t) dt.$$

Juntando as duas desigualdades acima, obtemos a desigualdade (1.17). Usaremos a estimativa (1.17), para provar a Desigualdade de Hardy-Littlewood.

Teorema 1.12. (Desigualdade de Hardy-Littlewood). Sejam f e g duas funções $\mathcal{M}-$ mensuráveis, então

$$\int_{\mathcal{U}} |f(x)g(x)| d\mu \le \int_0^\infty f^*(t)g^*(t) dt.$$

Demonstração. Seja s uma função positiva e simples em U da forma

$$s(x) = \sum_{j} \alpha_{j} \chi_{A_{j}}(x),$$

onde $\alpha_1>\alpha_2>\cdots>\alpha_k>0$ e $A_j=\{x\in\mathcal{U}:s(x)=\alpha_j\}$ são subconjuntos disjuntos. Podemos reescrever s, como

$$s(x) = \sum_{j=1}^{k} \beta_j \chi_{B_j}(x),$$

onde $B_j = \bigcup_{i=1}^j A_j$ e $\beta_j = \alpha_j - \alpha_{j+1}$, $\alpha_{k+1} = 0$. Assim, pela estimativa (1.17), temos

$$\int_{\mathcal{U}} |s(x)g(x)| d\mu = \int_{\mathcal{U}} \left[\sum_{j=1}^{k} \beta_{j} \chi_{B_{j}}(x) \right] g(x) d\mu = \sum_{j=1}^{k} \beta_{j} \int_{B_{j}} |g(x)| d\mu
\leq \sum_{j=1}^{k} \beta_{j} \int_{0}^{\mu(B_{j})} g^{*}(t) dt = \sum_{j=1}^{k} (\alpha_{j} - \alpha_{j-1}) \int_{0}^{\mu(B_{j})} g^{*}(t) dt
= \sum_{j=1}^{k} \alpha_{j} \int_{\gamma_{j-1}}^{\gamma_{j}} g^{*}(t) dt = \int_{0}^{\infty} \sum_{j=1}^{k} \alpha_{j} \chi_{[\gamma_{j-1}, \gamma_{j})}(t) g^{*}(t) dt
= \int_{0}^{\infty} s^{*}(t) g^{*}(t) dt,$$

onde $\gamma_j = \sum_i^j \mu(A_i)$ e $\gamma_0 = 0$. O caso geral, pode ser provado aplicando o teorema da convergência monótona, pois sabemos que qualquer função mensurável pode ser aproximanda por uma sequência não-crescente de funções simples.

1.4 Espaço de Lorentz $\mathcal{L}(p, q)$

O objetivo desta seção é definir precisamente os espaços de Lorentz $\mathcal{L}(p,q)$ e extrair dela algumas propriedades importantes. Iniciaremos a seção definindo o duplo rearranjo, como a média da função f^* no intervalo de (0,t), e em seguida provaremos algumas propriedades relevantes.

Definição 1.13. O duplo rearranjo, é uma função $f^{**}:(0,\infty)\to[0,\infty]$ definida por

$$f^{**}(t) \stackrel{\text{def}}{=} \frac{1}{t} \int_0^t f^*(s) ds.$$

Observação 1.14. f^{**} é chamada, geralmente, de função maximal de f, pois podemos ver f^{**} , como a média da função não-crescente f^* .

A igualdade em t=0 não foi incluida na definição acima, todavia observe que

$$\lim_{t \to 0^+} f^{**}(t) = f^*(0) = ||f||_{\infty}.$$

Proposição 1.15. Sejam f_n funções \mathcal{M} -mensuráveis em \mathcal{U} , n=1,2,... Então

- (i) f^{**} é não-crescente e contínua em $(0, \infty)$.
- (ii) $f^*(t) \le f^{**}(t)$, para todo t > 0.
- (iii) Se $|f(x)| \le |g(x)|$ q.t.p em \mathcal{U} , então $f^{**}(t) \le g^{**}(t)$, para todo t > 0.
- (iv) Se (f_n) é uma sequência, tal que, $|f_n(x)| \le |f(x)|$ q.t.p em \mathcal{U} e $\lim_{n\to\infty} |f_n(x)| = |f(x)|$, então $\lim_{n\to\infty} |f_n^{**}(t)| = f^{**}(t)$.

Demonstração. (i) A continuidade de f^{**} , segue da Definição 1.13. Para ver que f^{**} é

não-crescente, seja 0 < a < b, então

$$f^{**}(b) = \frac{1}{b} \int_0^b f^*(s) ds = \frac{1}{b} \int_0^a f^*(s) ds + \frac{1}{b} \int_a^b f^*(s) ds$$

$$\leq \frac{1}{b} \int_0^b f^*(s) ds + \frac{1}{b} f^*(a) (b - a)$$

$$= \frac{1}{b} \int_0^b f^*(s) ds + \left(\frac{1}{a} - \frac{1}{b}\right) a f^*(a)$$

$$\leq \frac{1}{b} \int_0^b f^*(s) ds + \left(\frac{1}{a} - \frac{1}{b}\right) \int_0^a f^*(s) ds$$

$$= \frac{1}{a} \int_0^a f^*(s) ds = f^{**}(a).$$

(ii) Desde que f^* é não-crescente, Proposição 1.7, temos

$$f^{**}(t) = \frac{1}{t} \int_0^t f^*(s) ds \ge \frac{1}{t} \int_0^t f^*(t) ds = f^*(t).$$

(iii) Se $|f(x)| \leq |g(x)|$ q.t.p em \mathcal{U} , pela Proposição 1.3 (ii) e a Proposição 1.7, obtemos

$$\mu_{f}(\lambda) \leq \mu_{g}(\lambda) \quad \Rightarrow \quad m_{\mu_{f}}(t) \leq m_{u_{g}}(t)$$

$$\Rightarrow \quad f^{*}(t) \leq g^{*}(t)$$

$$\Rightarrow \quad \frac{1}{t} \int_{0}^{t} f^{*}(s) ds \leq \frac{1}{t} \int_{0}^{t} g^{*}(s) ds$$

$$\Rightarrow \quad f^{**} \leq g^{**}.$$

(iv) Pela hipótese, a Proposição 1.3 e a Proposição 1.7, segue que

$$|f(x)| = \lim |f_n(x)| \Rightarrow \mu_f(\lambda) = \lim \mu_{f_n}(\lambda)$$

 $\Rightarrow m_{\mu_f}(\lambda) = \lim m_{\mu_{f_n}}(\lambda)$
 $\Rightarrow f^*(t) = \lim f_n^*(t).$

Mas, $f_n^*(t) \leq f^*(t) \in \mathcal{L}^1(0,t)$, pelo Teorema da convergência dominda, temos

$$f^{**}(t) = \frac{1}{t} \int_0^t f^*(s) ds = \frac{1}{t} \int_0^t \lim f_n^*(s) ds$$
$$= \lim \frac{1}{t} \int_0^t f_n^*(s) ds = f_n^{**}(t).$$

Estamos em condições de definir os espaço de Lorentz e provar algumas propriedades relevantes ao desenvolvimento desta disertação.

Definição 1.16. (Espaços de Lorentz) Sejam $0 , <math>0 < q \le \infty$. Os espaços de Lorentz, $\mathcal{L}(p, q)$ é o conjunto de todas funções \mathcal{M} -mensuráveis, tal que, o funcional $\|\cdot\|_{(p,q)}^*$ definido por

$$||f||_{(p,q)}^* = \begin{cases} \left[\int_0^\infty (t^{\frac{1}{p}} f^*(t))^q \, \frac{dt}{t} \right]^{\frac{1}{q}}, & \text{se } 0 0} t^{\frac{1}{p}} f^*(t), & \text{se } 0$$

é finito.

Observação 1.17. O espaço de Lorentz $\mathcal{L}(p,q)$ com $p = \infty$ e $0 < q < \infty$ não tem qualquer interesse. A razão é que $||f||_{(\infty,q)}^* < \infty$, implica que f = 0 q.t.p em \mathcal{U} . De fato, considere q = 1 e assuma, por redução ao absurdo, que $\mathcal{L}(\infty,q)$ é um espaço não trivial. Então existe uma função não nula $f \in \mathcal{L}(\infty,q)$, tal que, o conjunto $A = \{x : |f(x)| > c\} \in \mathcal{M}$. Pela Proprosição 1.9 (iii), segue que

$$||f||_{(\infty,1)}^* = \int_0^\infty f^* \ge \int_0^\infty (f\chi_A)^* \ge \int_0^\infty f^*\chi_{[0,\,\mu_f(c))} = \infty,$$

pois $f^*(t) = \inf \emptyset = \infty$, quando $t > \mu_f(c)$, assim temos uma contradição.

Quando $q=\infty$, o espaço $\mathscr{L}(p,\infty)$ é conhecido na literatura como o espaço \mathscr{L}^p -fraco ou espaço de Marcinkiewicz. Note, pelo Teorema 1.14, que $\|f\|_{(p,\infty)}^* = \left(\sup_{s>0} s^p \mu_f(s)\right)^{1/p}$ isto é, a quase norma $\|\cdot\|_{(p,\infty)}^*$ coincide com a da definição clássica de \mathscr{L}^p -fraco, ver [9, pg.191]. Os espaços de Lebesgue \mathscr{L}^p , também, são um caso particular dos espaços de Lorentz. De fato, tomando 0 , obtemos

$$||f||_{(p,p)}^{*} = \left(\int_{0}^{\infty} \left(t^{1/p} f^{*}(t)\right)^{p} \frac{dt}{t}\right)^{1/p}$$

$$= \left(\int_{0}^{\infty} t (f^{*}(t))^{p} \frac{dt}{t}\right)^{1/p}$$

$$= \left(\int_{0}^{\infty} f^{*}(t)^{p} dt\right)^{1/p}.$$

Usando o Teorema 1.11, obtemos

$$||f||_{(p,p)}^* = \left(\int_0^\infty f^*(t)^p dt\right)^{1/p} = \left(\int_\Omega |f(x)|^p d\mu\right)^{1/p}.$$

Para $p = \infty$, obtemos, pelo Teorema 1.11,

$$||f||_{(\infty,\infty)}^* = \sup_{t>0} f^*(t) = f^*(0) = \operatorname{ess\,sup}_{x\in\Omega} |f(x)|.$$

Portanto $||f||_{(p,p)}^* = ||f||_p$, ou seja, $\mathcal{L}(p,p) = \mathcal{L}^p$.

Os espaços de Lorentz, têm a mesma relação de escala do espaço \mathcal{L}^p . Mas precisamente, dado $\lambda > 0$ e uma função mensurável em \mathbb{R}^m , tal que, $f_{\lambda}(x) = f(\lambda x)$, temos

$$||f_{\lambda}(x)||_{(p,q)}^{*} = \lambda^{-\frac{m}{p}} ||f(x)||_{(p,q)}^{*}, \tag{1.18}$$

onde $1 \leq p, \ q < \infty$. Com efeito, denotando por \boldsymbol{v} , a medida de Lebesgue em $\operatorname{\mathbb{R}}^m$, então

$$v_{f_{\lambda}}(s) = v(\lbrace x : |f(\lambda x)| > s \rbrace)$$

$$= \lambda^{-m} v(\lbrace x : |f(x)| > s \rbrace)$$

$$= \lambda^{-m} v_{f}(s).$$

Assim,

$$(f_{\lambda})^{*}(t) = \inf\{s ; v_{f_{\lambda}}(s) \leq t\}$$
$$= \inf\{s \geq 0 ; v_{f}(s) \leq \lambda^{m}t\}$$
$$= f^{*}(\lambda^{m}t).$$

Logo, quando $0 < q < \infty$, tem-se

$$||f_{\lambda}(x)||_{(p,q)}^{*} = \left(\int_{0}^{\infty} \left[t^{\frac{1}{p}}(f_{\lambda})^{*}(t)\right]^{q} \frac{dt}{t}\right)^{\frac{1}{q}} = \left(\int_{0}^{\infty} \left[t^{\frac{1}{p}}f^{*}(\lambda^{m}t)\right]^{q} \frac{dt}{t}\right)^{\frac{1}{q}}$$

$$= \lambda^{-\frac{m}{p}} \left(\int_{0}^{\infty} \left[(\lambda^{m}t)^{\frac{1}{p}}f^{*}(\lambda^{m}t)\right]^{q} \frac{dt}{t}\right)^{\frac{1}{q}} = \lambda^{-\frac{m}{p}} ||f(x)||_{(p,q)}^{*},$$

e quando, $q = \infty$

$$||f_{\lambda}(x)||_{(p,\infty)}^{*} = \sup_{t>0} t^{\frac{1}{p}} (f_{\lambda})^{*}(t) = \sup_{t>0} t^{\frac{1}{p}} (f_{\lambda})^{*}(\lambda^{m}t)$$
$$= \lambda^{-\frac{m}{p}} \sup_{t>0} (\lambda^{m}t)^{\frac{1}{p}} (f_{\lambda})^{*}(\lambda^{m}t) = \lambda^{-\frac{m}{p}} ||f(x)||_{(p,\infty)}^{*}.$$

A seguir, mostraremos a desigualdade de Hardy, a qual será útil para munir os espaços $\mathscr{L}(p,q)$ de uma norma.

Lema 1.18. (Desigualdade de Hardy) Se $1 \le q < \infty$ e r > 0 e f é uma função mensurável em $(0, \infty)$, então

$$\left(\int_0^\infty \left(\int_0^t f(u)du\right)^q t^{-r-1}dt\right)^{\frac{1}{q}} \le \frac{q}{r} \left(\int_0^\infty (tf(t))^q t^{-r-1}dt\right)^{\frac{1}{q}} \tag{1.19}$$

$$\left(\int_0^\infty \left(\int_t^\infty f(u)du\right)^q t^{r-1}dt\right)^{\frac{1}{q}} \le \frac{q}{r} \left(\int_0^\infty (tf(t))^q t^{r-1}dt\right)^{\frac{1}{q}} \tag{1.20}$$

Demonstração. A demonstração deste lema é uma aplicação da desigualdade de Jensen (ver [21]) e o Teorema de Fubini. Vamos seguir o mesmo caminho da demonstração de [22, pg.35], outro caminho pode ser encontrado em [9, pg.188]). Como a função $\varphi(x) = x^q$ é convexa em $(0, \infty)$, então

$$\varphi\left(\int_{0}^{t} f(u)du\right) = \left(\int_{0}^{t} f(u)du\right)^{q} =
= \left(\int_{0}^{t} f(u)u^{1-\frac{r}{q}}u^{\frac{r}{q}-1}du\right)^{q} \left(\int_{0}^{t} u^{\frac{r}{q}-1}du\right)^{q} \left(\int_{0}^{t} u^{\frac{r}{q}-1}du\right)^{-q}
\leq \left(\int_{0}^{t} \varphi(f(u)u^{1-\frac{r}{q}})u^{\frac{r}{q}-1}du\right) \left(\int_{0}^{t} u^{\frac{r}{q}-1}du\right)^{q-1}
= \left(\frac{q}{r}\right)^{q-1} t^{r-\frac{r}{q}} \int_{0}^{t} f(u)^{q} u^{q-r+\frac{r}{q}-1}du,$$

integrando de 0 ao infinito e usando o Teorema de Fubini, temos

$$\int_{0}^{\infty} \left(\int_{0}^{t} f(u) du \right)^{q} t^{-r-1} dt \leq \left(\frac{q}{r} \right)^{q-1} \int_{0}^{\infty} t^{-\frac{r}{q}-1} \left(\int_{0}^{t} f(u)^{q} u^{q-r+\frac{r}{q}-1} du \right) dt
= \left(\frac{q}{r} \right)^{q-1} \int_{0}^{\infty} f(u)^{q} u^{q-r+\frac{r}{q}-1} \left(\int_{u}^{\infty} t^{-\frac{r}{q}-1} dt \right) du
= \left(\frac{q}{r} \right)^{q} \int_{0}^{\infty} (uf(u))^{q} u^{-r-1} du.$$

Assim, mostramos a desigualdade (1.19). O procedimento é semelhante, para a demonstração da desigualdade (1.20). \Box

O espaço $\mathcal{L}(p,q)$ é um espaço vetorial topológico normado. De fato, veremos, na Proposição 1.19, que o funcional $\|\cdot\|_{(p,q)}^*$ é equivalente a norma $\|\cdot\|_{(p,q)}$, dada por

$$\|f\|_{(p,\,q)} = \begin{cases} \left[\int_0^\infty (t^{\frac{1}{p}} f^{**}(t))^q \, \frac{dt}{t} \right]^{\frac{1}{q}}, & \text{se } 1 0} \, t^{\frac{1}{p}} f^{**}(t), & \text{se } 1$$

Assim, os espaços de Lorentz $\mathcal{L}(p, q)$, com topologia gerada pela norma $\|\cdot\|_{(p, q)}$, é um espaço vetorial topológico.

Proposição 1.19. Se $f \in \mathcal{L}(p, q)$, $1 e <math>1 \le q \le \infty$, então $\|\cdot\|_{(p, q)}$ define uma norma e

$$||f||_{(p,q)}^* \le ||f||_{(p,q)} \le p'||f||_{(p,q)}^*,$$
 (1.21)

onde $p' = \frac{p}{p-1}$.

Demonstração. Sabemos que $f^*(t) \leq f^{**}(t)$, logo primeira desigualdade da proposição é imediata. Para provar a segunda desigualdade, primeiro considere o caso $1 e <math>1 \leq q < \infty$, então, pela desigualdade de Hardy com r = q(1-1/p), estimamos $||f||_{(p,q)}$ obtendo

$$||f||_{(p,q)} = \left(\int_{0}^{\infty} [t^{\frac{1}{p}} f^{**}(t)]^{q} dt/t\right)^{\frac{1}{q}}$$

$$= \left(\int_{0}^{\infty} \left(\int_{0}^{t} f^{*}(s) ds\right)^{q} t^{-q(1-\frac{1}{p})-1} dt\right)^{\frac{1}{q}}$$

$$= \left(\int_{0}^{\infty} \left(\int_{0}^{\infty} f^{*}(s) ds\right)^{q} t^{-r-1} dt\right)^{\frac{1}{q}}$$

$$\leq \frac{q}{r} \left(\int_{0}^{\infty} (t f^{*}(t))^{q} t^{-r-1} dt\right)^{\frac{1}{q}}$$

$$= \frac{p}{p-1} ||f||_{(p,q)}^{*}.$$

No caso 1 temos

$$||f||_{(p,\infty)} = \sup_{t>0} t^{\frac{1}{p}} f^{**}(t) = \sup_{t>0} t^{\frac{1}{p}-1} \int_0^t f^*(s) ds$$

$$= \sup_{t>0} t^{\frac{1}{p}-1} \int_0^t s^{-\frac{1}{p}} s^{\frac{1}{p}} f^*(s) ds$$

$$= \sup_{t>0} t^{\frac{1}{p}-1} \int_0^t s^{-\frac{1}{p}} \left(\sup_{u>0} u^{\frac{1}{p}} f^*(u) \right) ds$$

$$= ||f||_{(p,\infty)}^* \sup_{t>0} t^{\frac{1}{p}-1} \int_0^t s^{-\frac{1}{p}} ds$$

$$= p' ||f||_{(p,\infty)}^*.$$

O funcional $\|\cdot\|_{(p,q)}$ é uma norma, com efeito, se $1 e <math>1 < q \le \infty$, então $\|f\|_{(p,q)} \ge 0$, $\|f\|_{(p,q)} = 0 \Leftrightarrow f = 0$ q.t.p. Para provar a designaldade triangular, deixe-nos observar que $(f+g)^{**}(t) \le f^{**}(t) + g^{**}(t)$. Logo,

$$||f+g||_{(p,\infty)} = \sup_{t>0} t^{\frac{1}{p}} (f+g)^{**}(t)$$

$$\leq \sup_{t>0} t^{\frac{1}{p}} (f)^{**}(t) + \sup_{t>0} t^{\frac{1}{p}}(g)^{**}(t)$$

$$= ||f||_{(p,\infty)} + ||g||_{(p,\infty)},$$

usando a desigualdade (1.19), obtemos a desigualdade triangular no caso $1 < q < \infty$.

1.4.1 Propriedades Topológicas em $\mathcal{L}(p, q)$

Nesta seção, vamos mostrar que os espaços de Lorentz $\mathscr{L}(p,q)$ munidos com a norma $\|\cdot\|_{(p,q)}$ com $1 \leq p, q < \infty$ e $p \neq 1$, são espaços de Banach. Mostraremos também, que o conjunto das funções simples é denso em $\mathscr{L}(p,q)$ e finalizaremos a seção, mostrando que os espaços de Lorentz são reflexivos para certos valores de p e q. Iniciaremos com um lema, devido a Calderón, que tem como conseqüência as inclusões contínuas $\mathscr{L}(p,q_1) \subset \mathscr{L}^p \subset \mathscr{L}(p,q_2) \subset \mathscr{L}(p,\infty)$, para $1 e <math>1 \leq q_1 \leq p \leq q_2 \leq \infty$. Em particular, temos a inclusão contínua de \mathscr{L}^p em \mathscr{L}^p -fraco. De fato, a inclusão é própria. Seja $\mathscr{U} = \mathbb{R}^m$ e $f(x) = |x|^{-\delta} \ (\delta > 0), \ f \in \mathscr{L}(m/\delta,\infty)$ mas $f \notin \mathscr{L}^r$, $\forall \ 1 \leq r \leq \infty$. Outra importância destas inclusões ficará mais clara, quando mostrarmos que qualquer operador contínuo de \mathscr{L}^p em \mathscr{L}^q é um operador do tipo fraco (p,q) (ver Observação 1.38, pg. 34).

Lema 1.20. (Calderón) Se $1 e <math>1 \le q < r \le \infty$, então

$$\mathcal{L}(p,q) \hookrightarrow \mathcal{L}(p,r),$$

ou seja,

$$||f||_{(p,r)} \le \left(\frac{q}{p}\right)^{\frac{1}{q} - \frac{1}{r}} ||f||_{(p,q)},$$
 (1.22)

para toda $f \in \mathcal{L}(p, q)$.

Demonstração. A prova é baseada na seguinte desigualdade:

$$f^{**}(x) \le \left(\frac{q}{p}\right)^{\frac{1}{q}} \frac{\|f\|_{(p,q)}}{\frac{1}{x^{\frac{1}{p}}}}.$$
(1.23)

A prova da desigualdade (1.23), segue do fato que o duplo rearranjo f^{**} ser não-crescente. Assim, para provar a desigualdade (1.22), estimamos

$$\begin{split} \|f\|_{(p,q)}^q &= \int_0^\infty [t^{\frac{1}{p}} f^{**}(t)]^q dt/t \\ &\geq \int_0^x t^{\frac{q}{p}-1} [f^{**}(t)]^q dt \\ &\geq [f^{**}(x)]^q \int_0^x t^{\frac{q}{p}-1} dt = \frac{p}{q} [f^{**}(x)]^q x^{\frac{q}{p}}. \end{split}$$

Portanto,

$$||f||_{(p,r)}^{r} = \int_{0}^{\infty} t^{\frac{r}{p}-1} [f^{**}(t)]^{r} dt$$

$$= \int_{0}^{\infty} t^{\frac{r}{p}-1} [f^{**}(t)]^{q} [f^{**}(t)]^{r-q} dt$$

$$\leq \int_{0}^{\infty} t^{\frac{r}{p}-1} [f^{**}(t)]^{q} \left[\left(\frac{q}{p} \right)^{\frac{1}{q}} \frac{||f||_{(p,q)}}{t^{\frac{1}{p}}} \right]^{r-q} dt$$

$$= \left(\frac{q}{p} \right)^{\frac{r}{q}-1} ||f||_{(p,q)}^{r-q} \int_{0}^{\infty} t^{\frac{q}{p}-1} [f^{**}(t)]^{q} dt$$

$$= \left(\frac{q}{p} \right)^{\frac{r}{q}-1} ||f||_{(p,q)}^{r-q} ||f||_{(p,q)}^{q}.$$

Como comentado no ínicio da seção, pelo Lema de Calderón, em geral, os espaços de Marcinkiewicz $\mathcal{L}(p,\infty)$ são maiores que os espaços de Lebesgue \mathcal{L}^p . Contudo, a intersecção de dois espaços $\mathcal{L}(p,\infty)$ está contida em alguns espaços \mathcal{L}^p . Esse é o conteúdo da próxima proposição.

Proposição 1.21. Seja m > 1. Se m < r < q, então $\mathcal{L}(q, \infty) \cap \mathcal{L}(m, \infty) \subset \mathcal{L}^r$.

Demonstração. Como $f \in \mathcal{L}(m,\infty) \cap \mathcal{L}(q,\infty)$, então $\mu_f(\lambda) \leq C\lambda^{-m}$ e $\mu_f(\lambda) \leq \tilde{C}\lambda^{-q}$. Pelo Teorema 1.11, obtemos

$$||f||_r^r = r \int_0^\infty \lambda^{r-1} \mu_f(\lambda) d\lambda \le r \int_0^A \lambda^{r-1} \tilde{C} \lambda^{-q} d\lambda + r \int_A^\infty \lambda^{r-1} C \lambda^{-m} d\lambda.$$

Mas por hipótese m < r < q, então as integrais $\int_A^\infty \lambda^{r-1-q} d\lambda$ e $\int_0^A \lambda^{r-1-m} d\lambda$ são finitas. Logo $||f||_r < \infty$, isto é, $f \in \mathcal{L}^r$.

Teorema 1.22. Se $0 e <math>0 < q \le \infty$, então o espaço $\mathcal{L}(p, q)$ é completo.

Demonstração. Seja $(f_n)_n$ uma sequência de Cauchy em $\mathcal{L}(p, q)$, isto é, $||f_m - f_n||_{(p,q)} \to 0$, quando $m, n \to \infty$. Pelo Teorema 1.14, temos

$$\sup_{\lambda>0} (\lambda^{p} \mu_{f_{m}-f_{n}}(\lambda))^{\frac{1}{p}} = \sup_{t>0} t^{\frac{1}{p}} (f_{m}-f_{n})^{*}(t)
= ||f_{m}-f_{n}||_{(p,\infty)}^{*},$$

mas, pelo Lema 1.23 (Calderon), obtemos

$$||f_m - f_n||_{(p,\infty)}^* \le ||f_m - f_n||_{(p,q)} \to 0.$$

Isto é, a sequência (f_n) é de Cauchy em medida. Usando a Proposição 1.4, existe uma função \mathcal{M} -mensurável f, tal que, $f_n \to f$ em medida. Logo, existe uma subsequência $f_{n_k} \to f$ q.t.p (ver [9, pg.60]). Como

$$||f_n - f_N||_{(p,q)} < \varepsilon,$$

e $f_{n_k}-f_N\to f-f_N\,$ q.t.p, para algum $N\in\mathbb{N},$ pela Proposição 1.15 (iv), obtemos

$$(f-f_N)^{**}(t) = \underline{\lim}(f_{n_k} - f_N)^{**}(t),$$

consequentemente, pelo Lema de Fatou, segue

$$||f - f_N||_{(p, q)} = \left(\int_0^\infty [t^{1/p} (f - f_N)^{**}(t)]^q \frac{dt}{t} \right)^{1/q}$$

$$= \left(\int_0^\infty [t^{1/p} \lim_{k \to \infty} (f_{n_k} - f_N)^{**}(t)]^q \frac{dt}{t} \right)^{1/q}$$

$$\leq \lim_{k \to \infty} \left(\int_0^\infty [t^{1/p} (f_{n_k} - f_N)^{**}(t)]^q \frac{dt}{t} \right)^{1/q}$$

$$= \lim_{k \to \infty} ||f_{n_k} - f_N||_{(p, q)}.$$

Portanto,

$$\|f-f_N\|_{(p,\,q)} \to 0$$
, quando $N \to \infty$

Desde que $f = f - f_{\scriptscriptstyle N} + f_{\scriptscriptstyle N},$ concluímos que $f \in \mathcal{L}(p,q).$

Note que, não usamos qualquer restrição sobre p e q. No entanto, com $1 e <math>1 \le q \le \infty$, podemos considerar $\mathcal{L}(p,q)$ normado e, portanto, um espaço de Banach pelo Teorema 1.22.

Teorema 1.23. O conjunto S, de todas funções simples é denso em $\mathcal{L}(p,q)$.

Demonstração. Para provar que o conjunto S é denso em $\mathcal{L}(p, q)$, mostraremos que existe uma sequência de funções simples (s_n) , tal que, $||s_n - f||_{(p,q)} \to 0$, quando $n \to \infty$. De fato, seja $f \in \mathcal{L}(p, q)$, sem perda de generalidade, assuma f positiva, então existe

uma sequência de funções simples, tal que, $0 \le s_n \le f$ e $s_n \to f$, quando $n \to \infty$. Pela Proposição 1.9 (v), obtemos

$$(f-s_n)^*(t) \le f^*(t/2) + s_n^*(t/2) \le 2f^*(t/2) \in \mathcal{L}^1.$$

Então, pelo Teorema da convergência dominada, concluímos

$$\lim_{n \to \infty} \|f - s_n\|_{(p,q)}^* = \left(\int_0^\infty [t^{1/p} \lim (f - s_n)^*(t)]^q \frac{dt}{t} \right)^{1/q} = 0$$

como f é arbitrário, segue que $\overline{S} = \mathcal{L}(p, q)$.

Considere $1 e <math>1 \le q \le \infty$, p' e q' os respectivos expoentes conjugados. Se $f \in \mathcal{L}(p',q')$, então $T_f(g) = \int_{\mathcal{U}} fg dx$ define um funcional linear contínuo em $\mathcal{L}(p,q)$. De fato, usando a desigualdade de Hardy-Litlewood e a Desigualdade de Hölder em $\mathcal{L}^q(\mathbb{R})$, para $1 e <math>1 < q < \infty$, obtem-se

$$\int_{\mathcal{U}} |fg| dx \leq \int_{0}^{\infty} f^{*}(s) g^{*}(s) ds = \int_{0}^{\infty} [s^{\frac{1}{p'}} f^{*}(s)] [s^{\frac{1}{p}} g^{*}(s)] \frac{ds}{s}
\leq \left(\int_{0}^{\infty} [s^{\frac{1}{p'}} f^{*}(s)]^{q'} \frac{ds}{s} \right)^{\frac{1}{q'}} \left(\int_{0}^{\infty} [s^{\frac{1}{p}} g^{*}(s)]^{q} \frac{ds}{s} \right)^{\frac{1}{q}}
\leq \|f\|_{(p',q')}^{*} \|g\|_{(p,q)}^{*}.$$

Ou seja, o funcional T_f é limitado

$$\|T_f\|_{(\mathscr{L}(p,q))'} = \sup_{\|g\|=1} \{|T_f(g)|\} \le \|f\|_{(p',q')}^*.$$

Os casos $q = \infty$ e q = 1, são essencialmente os mesmos. Considere o caso q = 1, então

$$|T_{f}(g)| \leq \int_{0}^{\infty} [t^{1/p'} f^{*}(t)] [t^{1/p} g^{*}(t)] \frac{dt}{t}$$

$$\leq \int_{0}^{\infty} [t^{1/p'} f^{*}(t)] \left(\sup_{s>0} s^{1/p} g^{*}(s) \right) \frac{dt}{t}$$

$$\leq ||f||_{(p',\infty)}^{*} ||g||_{(p,1)}.$$

Assim,

$$||T_f||_{(\mathscr{L}(p,1))'} = \sup_{\|g\|=1} \{|T_f(g)|\} \le ||f||_{(p',\infty)}^*.$$

Isto demonstra, que $\mathcal{L}(p',q') \subset \mathcal{L}(p,q)$. A seguir, mostraremos que a inlclusão contrária ainda é válida, isto é, o dual de $\mathcal{L}(p,q)$ é dado por $\mathcal{L}(p',q')$.

Teorema 1.24. (Dualidade) Sejam $1 e <math>1 \le q \le \infty$ e φ um funcional linear limitado em $\mathcal{L}(p, q)$. Então existe um único $f \in \mathcal{L}(p', q')$, tal que,

$$\varphi(g) = T_f(g)$$
.

Em outras palavras, $\mathcal{L}(p',q')$ é isomorfo isométrico ao dual topológico de $\mathcal{L}(p,q)$.

Demonstração. Vamos demonstrar somente o caso $1 e <math>1 \le q < \infty$. O passo inicial da demonstração, é mesmo contido na dualidade dos espaços de Lebesgue \mathcal{L}^p , como podemos ver [21, pg.127-128].

Seja $\varphi \in (\mathcal{L}(p, q))'$ e defina $v(A) = \varphi(\chi_A)$ para todo $A \in \mathcal{M}$. Afirmamos que v é uma medida sobre \mathcal{U} . De fato, $v(\varnothing) = 0$ e se $\{A_n\}$ é uma sequência de conjuntos disjuntos \mathcal{M} -mensuráveis, tal que, $A = \bigcup_{n=1}^{\infty} A_n$. Pela linearidade e continuidade de φ , temos

$$\sum_{k=1}^{\infty} v(A_k) = \lim_{k \to \infty} \sum_{n=1}^{k} \varphi(\chi_{A_n}) = \lim_{k \to \infty} \varphi\left(\sum_{n=1}^{k} \chi_{A_n}\right) = \varphi(\chi_A) = v(A).$$

Além disso, v é absolutamente contínua com respeito a medida μ , pois se $\mu(A) = 0$, então v(A) = 0. Assim, pelo Teorema de Radon-Nicodyn (ver [21, pg.121]), existe uma única $f \in \mathcal{L}^1$, tal que,

$$m{arphi}(m{\chi}_{\!A}) = \int_{A} f dm{\mu} = \int_{II} m{\chi}_{\!A} f dm{\mu}.$$

Usando o Teorema 1.23 e a linearidade de integrais, obtemos

$$\varphi(g) = \int_{\mathcal{U}} gfd\mu \quad \forall g \in \mathcal{L}(p,q).$$

Agora, pela desigualdade de Hardy-Litlewood, tem-se

$$\|\varphi\|_{(\mathscr{L}(p,q))'} = \sup_{g \in \mathscr{L}(p,q))} \frac{|\varphi(g)|}{\|g\|_{(p,q)}^*} \le \sup_{g \in \mathscr{L}(p,q))} \frac{\int_0^\infty f^*(t)g^*(t)dt}{\|g\|_{(p,q)}^*}.$$

Desde que $1 < p, q < \infty$ e $p \neq q$, podemos escrever

$$g^*(t) = \int_{t/2}^{\infty} h(s)ds,$$

onde $h(s) = s^{q'/p'-1} f^*(s)^{q'-1}$. Assim, usando a Desigualdade de Hardy (1.20) e a desigualdade (1.21) (ver [14, 70-71]), temos

$$\|\varphi\|_{(\mathscr{L}(p,q))'} \ge C(p,q) \|f\|_{(p',q')}^*,$$

ou seja, $f \in \mathcal{L}(p', q')$. Em resumo, mostramos que dado qualquer funcional linear $\varphi \in (\mathcal{L}(p,q))'$, existe uma única $f \in \mathcal{L}(p', q')$, tal que,

$$\varphi(g) = T_f(g).$$

Isto é, a aplicação $\mathscr{L}(p',q') \longmapsto (\mathscr{L}(p,q))'$ é um isomorfismo isométrico, pois $\|\varphi\|_{(\mathscr{L}(p,q))'} = \|f\|_{(p',q')}^*$.

Corolário 1.25. (ver [12, 14]). O espaço conjugado de $\mathcal{L}(p,1)$ é $\mathcal{L}(p',\infty)$, onde p' é o conjugado de p.

1.5 Desigualdade de Young e de Hölder em $\mathcal{L}(p, q)$

Iniciamos a seção, lembrando algumas propriedades importantes sobre convolução de funções e alguns resultados de duplo rearranjo, cujas demontranções são essencialmente as mesmas contidas em [22].

1.5.1 Desigualdade de Young

Sejam $f:\mathbb{R}^m \to \mathbb{R}$ e $g:\mathbb{R}^m \to \mathbb{R}$ funções mensuráveis. Denote a convolução de f e g por $h(x) = f * g(x) = \int_{\mathbb{R}^m} f(x-y)g(y)dy$. Inicialmente, discutiremos algumas propriedades do rearranjo do operador convolução. Começemos a recordar a estimativa conhecida para h^{**} .

Lema 1.26. Sejam $f:\mathbb{R}^m \to \mathbb{R}$ e $g:\mathbb{R}^m \to \mathbb{R}$ funções mensuráveis. Então

$$h^{**}(t) \le t f^{**}(t) g^{**}(t) + \int_{t}^{\infty} f^{*}(s) g^{*}(s) ds, \tag{1.24}$$

para todo t > 0.

Omitiremos a demonstração, mas podemos encontrar em [12, 18], para um esclarecimento melhor. Uma consequência desta fórmula é a seguinte.

Proposição 1.27. Sejam $f: \mathbb{R}^m \to \mathbb{R}$ e $g: \mathbb{R}^m \to \mathbb{R}$ funções mensuráveis. Então

$$h^{**}(t) \le \int_t^\infty f^{**}(s)g^{**}(s)ds,$$

para todo t > 0.

Demonstração. A demonstração deste lema é baseada na demonstração do Lema 1.6 de [18]. Se a integral do lado direito for infinita, não há nada que mostrar. Caso contrario, como $f^{**}(t)$ e $g^{**}(t)$ são não-crescentes, temos que

$$\lim_{t \to \infty} t f^{**}(t) g^{**}(t) = 0.$$

Usando o fato que $f^*(t) \leq f^{**}(t)$ e a desigualdade (1.24), obtemos

$$h^{**}(t) \le t f^{**}(t) g^{**}(t) + \int_{t}^{\infty} f^{**}(s) g^{*}(s) ds, \ \forall \ t > 0.$$
 (1.25)

Agora, observando que

$$\begin{split} \frac{d}{dt}f^{**}(t) &= \frac{d}{dt} \left(\frac{1}{t} \int_0^t f^*(s) ds \right) \\ &= \frac{1}{t} f^*(t) - \frac{1}{t^2} \int_0^t f^*(s) ds \\ &= \frac{1}{t} (f^*(t) - f^{**}(t)), \end{split}$$

obtemos

$$\frac{d}{dt}tg^{**}(t) = g^*(t).$$

Portanto, integrando por partes em 1.25, concluímos

$$h^{**}(t) \le tf^{**}(t)g^{**}(t) + [sf^{**}(s)g^{**}(s)]_t^{\infty} + \int_t^{\infty} [f^{**}(s) - f^{*}(s)]g^{**}(s)ds$$

$$\le \int_t^{\infty} f^{**}(s)g^{**}(s)ds - \int_t^{\infty} f^{*}(s)g^{**}(s)ds$$

$$\le \int_t^{\infty} f^{**}(s)g^{**}(s)ds.$$

Teorema 1.28. (Desigualdade Generalizada de Young [18]) Sejam $1 < p_1, p_2 < \infty$. Se h = g * f, onde

$$f \in \mathcal{L}(p_1, q_1), g \in \mathcal{L}(p_2, q_2), e \frac{1}{p_1} + \frac{1}{p_2} > 1,$$

então $h \in \mathcal{L}(r,s)$ quando

$$1 + \frac{1}{r} = \frac{1}{p_1} + \frac{1}{p_2},$$

e tal que,

$$\frac{1}{s} \le \frac{1}{a_1} + \frac{1}{a_2}$$
. $(s \ge 1)$

Isto é,

$$||h||_{(r,s)} \le C(r)||f||_{(p_1,q_1)}||g||_{(p_2,q_2)}.$$
 (1.26)

Demonstração. Primeiro considere o caso $s = \infty$. Usando a Proposição 1.27, estimamos

$$||h||_{(r,\infty)} = \sup_{t>0} [t^{\frac{1}{r}} h^{**}(t)] \le \sup_{t>0} \left[t^{\frac{1}{r}} \int_{t}^{\infty} f^{**}(s) g^{**}(s) ds \right]$$

$$\le \sup_{t>0} \left[t^{\frac{1}{r}} \int_{t}^{\infty} s^{-1 - \frac{1}{r}} [s^{\frac{1}{p_1}} f^{**}(s)] [s^{\frac{1}{p_2}} g^{**}(s)] ds \right]$$

$$\le ||f||_{(p_1,\infty)} ||g||_{(p_2,\infty)} \sup_{t>0} \left[t^{\frac{1}{r}} \int_{t}^{\infty} s^{-1 - \frac{1}{r}} ds \right]$$

$$= r||f||_{(p_1,\infty)} ||g||_{(p_2,\infty)} \le r||f||_{(p_1,q_1)} ||g||_{(p_2,q_2)}.$$

Considerando o caso s finito e usando a Proposição 1.27, podemos estimar

$$||h||_{(r,s)}^{s} = \int_{0}^{\infty} \left[t^{\frac{1}{r}}h^{**}(t)\right]^{s} \frac{dt}{t} \leq \int_{0}^{\infty} \left[t^{\frac{1}{r}}\int_{t}^{\infty} f^{**}(s)g^{**}(s)ds\right]^{s} \frac{dt}{t}.$$

Fazendo a mudança de variável $t = \frac{1}{y}$, $s = \frac{1}{u}$, obtemos

$$||h||_{(r,s)}^{s}| \leq \int_{0}^{\infty} \left[y^{-\frac{1}{r}} \int_{0}^{y} f^{**} \left(\frac{1}{u} \right) g^{**} \left(\frac{1}{u} \right) \frac{du}{u^{2}} \right]^{s} \frac{dy}{y},$$

$$= \int_{0}^{\infty} \left(\int_{0}^{y} \frac{f^{**}(1/u)g^{**}(1/u)}{u^{2}} du \right)^{s} y^{\frac{s}{r}} y^{-1} dy$$

$$= \int_{0}^{\infty} \left(\int_{0}^{y} \frac{f^{**}(1/u)g^{**}(1/u)}{u^{2}} du \right)^{s} y^{\tilde{r}-1} dy, \text{ onde } \tilde{r} = \frac{s}{r}$$

$$= \int_{0}^{\infty} \left(\int_{0}^{y} f(u) du \right)^{s} y^{\tilde{r}-1} dy,$$

onde $f(u) = \frac{f^{**}(1/u)g^{**}(1/u)}{u^2}$. Usando a desigualdade de Hardy (1.19) e o Lema 1.18, obtemos

$$||h||_{(r,s)}^{s}| \leq \left(\frac{s}{\tilde{r}}\right)^{s} \int_{0}^{\infty} [yf(y)]^{s} y^{\tilde{r}-1} dy$$

$$= r^{s} \int_{0}^{\infty} \left[y \frac{f^{**}(1/y)g^{**}(1/y)}{y^{2}} \right]^{s} y^{\frac{s}{r}} \frac{dy}{y}$$

$$= r^{s} \int_{0}^{\infty} \left[y^{1-\frac{1}{r}} f^{**}(1/y)g^{**}(1/y) \right]^{s} \frac{dy}{y}$$

$$= r^{s} \int_{0}^{\infty} \left[y^{1+\frac{1}{r}} f^{**}(t)g^{**}(t) \right]^{s} \frac{dt}{t}.$$

Como $\frac{1}{q_1} + \frac{1}{q_2} \ge \frac{1}{s}$, existem $m_1 \ge 1$ e $m_2 \ge 1$, tais que,

$$\frac{1}{m_1} + \frac{1}{m_2} = 1 \text{ e } \frac{1}{m_1} \le \frac{s}{q_1}, \frac{1}{m_2} \le \frac{s}{q_2}.$$

Usando a desigualdade de Holder em $\mathcal{L}^p(0,\infty)$ com a medida $\mu = \frac{dx}{x}$ e o Lema 1.20, deduzimos que

$$||h||_{(r,s)} \leq r \left(\int_0^\infty [t^{1+\frac{1}{r}} f^{**}(t) g^{**}(t)]^s \frac{dt}{t} \right)^{\frac{1}{s}} = r \left(\int_0^\infty [t^{\frac{1}{p_1}} f^{**}(t)]^s [t^{\frac{1}{p_2}} g^{**}(t)]^s \frac{dt}{t} \right)^{\frac{1}{s}}$$

$$\leq r \left(\int_0^\infty [t^{\frac{1}{p_1}} f^{**}(t)]^{sm_1} \frac{dt}{t} \right)^{\frac{1}{sm_1}} \left(\int_0^\infty [t^{\frac{1}{p_2}} g^{**}(t)]^{sm_2} \frac{dt}{t} \right)^{\frac{1}{sm_2}}$$

$$= r ||f||_{(p_1, sm_1)} ||g||_{(p_2, sm_2)}.$$

Como $q_1 \leq sm_1$ e $q_2 \leq sm_2$, pelo Lema 1.20, obtemos

$$||h||_{(r,s)} \le C(r)||f||_{(p_1,q_1)}||g||_{(p_2,q_2)}.$$

Proposição 1.29. Seja $g \in \mathcal{L}(p, \infty)$ com $1 , <math>e \ f \in \mathcal{L}^1(\mathbb{R}^m)$, então $h = g * f \in \mathcal{L}(p, \infty)$ e

$$||h||_{(p,\infty)} \le C(p)||f||_1||g||_{(p,\infty)}. \tag{1.27}$$

A demonstração desta proposição, pode ser encontrada em [9, pg. 232].

1.5.2 Desigualdade de Hölder

A seguir daremos uma generalização da Desigualdade de Hölder para os espaços de Lorentz $\mathcal{L}(p,\,q).$

Proposição 1.30. (Designaldade de Hölder Generalizada [18]) Sejam $1 < p_1, p_2 < \infty$. Se h = fg, onde

$$f \in \mathcal{L}(p_1, q_1), g \in \mathcal{L}(p_2, q_2) \ e \ \frac{1}{p_1} + \frac{1}{p_2} < 1,$$

então $h \in \mathcal{L}(r,s)$, quando

$$\frac{1}{r} = \frac{1}{p_1} + \frac{1}{p_2},$$

e,

$$\frac{1}{s} \le \frac{1}{q_1} + \frac{1}{q_2} \cdot (s \ge 1)$$

Isto é,

$$||h||_{(r,s)} \le C(r')||f||_{(p_1,q_1)}||g||_{(p_2,q_2)},$$
 (1.28)

sendo r' o índice conjugado de r.

Demonstração. A demonstração é inspirada em uma idéia apresentada em ([12, pg. 271]). Seja t>0. Escreva h=fg e considere o conjunto $E=\{x\in\mathbb{R}^m:\,|h(x)|>h^*(t)\}$. Por definição de h^* , note que $m(E)\geq t$ e

$$h^{*}(t) \leq \sup_{m(E) \geq t} \left\{ \frac{1}{m(E)} \int_{E} |h(x)|^{1/2} dx \right\}^{2}$$

$$\leq \sup_{m(E) \geq t} \left\{ \frac{1}{m(E)} \int_{E} |f(x)| dx \right\} \sup_{m(E) \geq t} \left\{ \frac{1}{m(E)} \int_{E} |g(x)| dx \right\}$$

$$\leq f^{**}(t) g^{**}(t).$$

Como $\frac{1}{q_1} + \frac{1}{q_2} \ge \frac{1}{s}$, podemos encontrar $m_1 \ge 1$ e $m_2 \ge 1$, tais que,

$$\frac{1}{m_1} + \frac{1}{m_2} = 1 \text{ e } \frac{1}{m_1} \le \frac{s}{q_1}, \frac{1}{m_2} \le \frac{s}{q_2}.$$

Usando a desigualdade de Hölder em $\mathcal{L}^p(0,\infty)$ e o Lema 1.20, temos

$$||h||_{(r,s)} \le r' ||h||_{(r,s)}^* = r' \left(\int_0^\infty [t^{\frac{1}{r}} h^*(t)]^s dt / t \right)^{\frac{1}{s}}$$

$$\le r' \left(\int_0^\infty [t^{\frac{1}{p_1}} f^{**}(t)]^s [t^{\frac{1}{p_2}} g^{**}(t)]^s \frac{dt}{t} \right)^{\frac{1}{s}}$$

$$\le r' ||f||_{(p_1,sm_1)} ||g||_{(p_2,sm_2)}$$

$$\le C(r') ||f||_{(p_1,q_1)} ||g||_{(p_2,q_2)}.$$

Observação 1.31. Seja $(\cdot,\cdot): \mathcal{L}(p_1,\,q_1) \times \mathcal{L}(p_2,\,q_2) \to \mathcal{L}(r,\,s)$ o operador bilinear dado por, $(f,\,g)(x) = f(x)g(x)$. A Desigualdade de Hölder Generalizada (1.28), afirma que este operador é contínuo sobre os Espaços de Lorentz $\mathcal{L}(p_1,\,q_1) \times \mathcal{L}(p_2,\,q_2)$.

1.6 Aproximação da Identidade em $\mathcal{L}(p, q)$

Os resultados desta seção foram retirados de [11]. Nosso objetivo, nesta seção, é demonstrar um teorema de aproximação (via regularização), em espaços de Lorentz $\mathcal{L}(p, q)$, análogo ao teorema que garante que convoluções por um molificador de Friedrichs

fornecem uma aproximação da identidade em \mathcal{L}^p , ver [9, pg. 234]. A demonstração deste resultado, beseia-se na continuidade da translação em $\mathcal{L}(p, q)$, a qual é uma consequência da proposição abaixo.

Proposição 1.32. Se $1 e <math>1 \le q < \infty$, então o conjunto C_c^{∞} é denso em $\mathcal{L}(p,q)$. Demonstração. Para demonstrar que o conjunto $C_c^{\infty}(\mathbb{R}^m)$ é denso em $\mathcal{L}(p,q)$, basta mostrar que toda função caracteristica X_A pode ser aproximada na norma $\|\cdot\|_{(p,q)}^*$ por uma função em $C_c^{\infty}(\mathbb{R}^m)$. Seja $A \subset \mathbb{R}^m$ um conjunto mensurável. Como a medida de Lebesgue é regular interior e exterior, dado $\varepsilon > 0$, existe um aberto U e um compacto K satisfazendo $K \subset A \subset U$ e $M(U \setminus K) < \varepsilon$. Pelo lema de Urysohn, podemos encontrar $g \in C_c^{\infty}$, tal que, $0 \le g \le 1$, g(x) = 1 se $x \in K$ e g(x) = 0 se $x \in U^c$. Note que, $|X_A - g| < X_{U \setminus K}$ e por isso $(X_A - g)^*(t) \le X_{U/K}^*(t)$ para todo t > 0. Por fim, calculando a norma $\|\cdot\|_{(p,q)}^*$, obtemos

$$||X_A - g||_{(p,q)}^* \le ||X_{U/K}||_{(p,q)}^* = \left(\int_0^{m(U/K)} t^{\frac{q}{p} - 1} dt\right)^{\frac{1}{q}} < \left(\frac{p}{q}\right)^{\frac{1}{q}} \varepsilon^{\frac{1}{p}},$$

e, usando o Lema 1.21, concluimos a demonstração.

Proposição 1.33. (Continuidade da Translação) Sejam $1 e <math>1 \le q < \infty$. Então

$$||f(x-z)-f(x)||_{(p,q)} \to 0, \ quando \ z \to 0.$$

Demonstração. Denote $A_{\delta} = \{x \in \mathbb{R}^m : d(x,A) < \delta\}$. Como o conjunto $C_c^{\infty}(\mathbb{R}^m)$ é denso em $\mathcal{L}(p,q)$, quando $1 e <math>1 \le q < \infty$, basta assumir que $f \in C_c^{\infty}(\mathbb{R}^m)$. Denote $g_z(x) = f(x-z) - f(x)$. Como f tem suporte compacto (suppf = A), dado $\varepsilon > 0$ existe δ tal que, se $|z| < \delta$ então $|g_z(x)| \le \varepsilon \cdot X_{A_{\delta}}(x)$ para todo x e portanto $g_z^*(t) \le \varepsilon (X_{A_{\delta}})^*(t)$. Assim,

$$\limsup_{z\to 0} g_z^*(t) \le \varepsilon, \text{ para todo } t > 0.$$

Como ε não depende t, então $g_{\tau}^*(t) \to 0$ para todo t > 0. Note que

$$\int_0^\infty t^{\frac{q}{p}-1} (g_z^*(t))^q dt \le \varepsilon^q \int_0^\infty t^{\frac{q}{p}-1} ((X_{A_\delta})^*)^q(t) dt$$

$$= \varepsilon^q \cdot \int_0^{m(A_\delta)} t^{\frac{q}{p}-1} dt < \infty.$$

Pelo, Teorema da convergência dominada, concluímos

$$||g_z||_{(p,q)}^* \to 0$$
, quando $z \to 0$.

Como os funcionais, $\|\cdot\|_{(p,\,q)}$ e $\|\cdot\|_{(p,\,q)}^*$, são equivalentes, segue que $\|g_z\|_{(p,\,q)} \to 0$.

A próxima proposição é uma generalização, para espaços de Lorentz, dos resultados de aproximação da identidade usando molificadores de Friedrichs em \mathcal{L}^p (ver [9, Teorema 8.14, Cap.8]). A idéia principal da demonstração é, sem dúvida, umas das aplicações mais interessantes de dualidade em espaços de Lorentz.

Teorema 1.34. (Aproximação da Identidade em $\mathcal{L}(p, q)$) Seja $\varphi \in \mathcal{L}^1(\mathbb{R}^m)$, tal que, $\int \varphi(y) dy = 1$. Para cada $\varepsilon > 0$, defina o molificador de Friedrichs $\varphi_{\varepsilon}(x) = \frac{1}{\varepsilon^m} \varphi(\frac{x}{\varepsilon})$. Se $f \in \mathcal{L}(p, q)$ com $1 e <math>1 \le q < \infty$, então

$$\|\boldsymbol{\varphi}_{\boldsymbol{\varepsilon}} * f - f\|_{(p,q)} \to 0$$
, quando $\boldsymbol{\varepsilon} \to 0$.

Demonstração. Fazendo a mudança de variável $\varepsilon z = y$ e usando que $\int \varphi_{\varepsilon}(y) dy = 1$, temos

$$\varphi_{\varepsilon} * f - f = \int_{\mathbb{R}^{m}} \varphi_{\varepsilon}(y) [f(x - y) - f(x)] dy$$

$$= \int_{\mathbb{R}^{m}} \varphi(z) [f(x - \varepsilon z) - f(x)] dz.$$
(1.29)

Calculando a norma $\|\cdot\|_{(p,\,q)}$ de $\varphi_{\varepsilon}*f-f$ e usando a equação (1.29), obtemos

$$\|\varphi_{\varepsilon} * f - f\|_{(p,q)} = \sup_{\|\phi\|_{(p',q')} = 1} \left| \int_{\mathbb{R}^m} (\varphi_{\varepsilon} * f(x) - f(x)) \phi(x) dx \right|$$

$$= \sup_{\|\phi\|_{(p',q')} = 1} \left| \int_{\mathbb{R}^m} \int_{\mathbb{R}^m} \varphi(z) [f(x - \varepsilon z) - f(x)] \phi(x) dz dx \right|$$

$$\leq \int_{\mathbb{R}^m} |\varphi(z)| \left(\sup_{\|\phi\|_{(p',q')} = 1} \left| \int_{\mathbb{R}^m} [f(x - \varepsilon z) - f(x)] \phi(x) \right| dx \right) dz$$

$$= \int_{\mathbb{D}^m} |\varphi(z)| \|f(x - \varepsilon z) - f(x)\|_{(p,q)} dz.$$

Como $\|f(x-\varepsilon z)-f(x)\|_{(p,\,q)}\leq 2\|f(x)\|_{(p,\,q)}$ e $\|f(x-\varepsilon z)-f(x)\|_{(p,\,q)}\to 0$, quando $\varepsilon\to 0$. Usando o Teorema da convergência dominada, concluímos a demonstração.

1.7 Transformada de Riesz em $\mathcal{L}(p, q)$

Nesta seção, mostraremos a continuidade da transformada de Riesz nos espaços de Lorentz $\mathcal{L}(p,q)$ e em particular no espaço de Marcinkiewicz $\mathcal{L}(p,\infty)$.

Definição 1.35. Seja $f \in \mathcal{S}(\mathbb{R}^m)$, a k-transfomarda de Riesz, R_k , é definida por

$$(\widehat{R_k f})(\xi) = \frac{i\xi_k}{\|\xi\|} \widehat{f}(\xi), \tag{1.30}$$

onde \hat{f} , é a transformada de Fourier de f, dada por: $\hat{f}(\xi) = \int e^{-2\pi i x \cdot \xi} f(x) dx$.

Uma definição equivalente a Definição 1.35, pode ser dada. De fato, pela inversa da transformada de Fourier, temos

$$R_k f = \frac{\partial}{\partial x_k} \left(\frac{1}{\sqrt{-\triangle}} f \right),$$

onde $x=(x_1,\cdots,x_m)$ e \triangle é o operador laplaciano, o qual é dado por $\triangle=\sum_{k=1}^m\frac{\partial^2}{\partial x_k^2}$.

Um resultado importante, porém clássico, garante que a transformada de Riesz é contínua entre os espaços \mathcal{L}^p (ver [20, pg. 39]). Mais precisamente.

Proposição 1.36. A k-transformada de Riesz, $R_k = \partial_k(-\triangle)^{-\frac{1}{2}}$, é contínua em \mathcal{L}^p , onde 1 .

Para enuciarmos o Teorema de interpolação de operadores, precisaremos definir o que vem a ser operadores do tipo fraco (p,q).

Definição 1.37. Sejam $(X, \mathcal{M}_x, \mu_x)$, $(Y, \mathcal{M}_y, \mu_y)$ espaços de medida. Seja T um operador sublinear definido de $\mathcal{L}(p,1)(X)$ em $\mathcal{L}(p,q)(Y)$, onde $1 \leq p,q \leq \infty$. Dizemos que T é do tipo fraco (p,q), quando existe C > 0, tal que,

$$||Tf||_{(p,q)} \le C||f||_{(p,1)}$$

Observação 1.38. Se T é um operador contínuo de \mathcal{L}^p em \mathcal{L}^q , então T é do tipo fraco (q,∞) . Com efeito, pelo Lema de Calderón, $\mathcal{L}(p,1) \hookrightarrow \mathcal{L}^p$ e $L^q \hookrightarrow \mathcal{L}(q,\infty)$, então

$$||Tf||_{(q,\infty)} \le C||Tf||_q \le C||f||_p \le C||f||_{(p,1)}$$

Teorema 1.39. (Interpolação de Marcinkiewicz, ver [19, pg.225]) Sejam $(X, \mathcal{M}_x, \mu_x)$, $(Y, \mathcal{M}_y, \mu_y)$ espaços de medida. Suponha $1 \leq p_0 < p_1 < \infty$ e $1 \leq q_0, q_1 < \infty$ com $q_0 \neq q_1$, tal que,

$$\frac{1}{p} = \frac{1-\theta}{p_0} + \frac{\theta}{p_1} \quad e \quad \frac{1}{q} = \frac{1-\theta}{q_0} + \frac{\theta}{q_1},$$

onde $0 < \theta < 1$. Seja T um operador sublinear de $(\mathcal{L}(p_0, 1) + \mathcal{L}(p_1, 1))(\mu_x)$ em um espaço de funções mensuráveis em Y. Se T é do tipo fraco (p_i, q_i) i = 0, 1, então existe $B = B(p_i, q_i, \theta)$, tal que, para $1 \le r \le \infty$ tem-se

$$T: \mathcal{L}(p,r) \to \mathcal{L}(q,r),$$

é contínuo de $\mathcal{L}(p,r)$ em $\mathcal{L}(q,r)$, isto é,

$$||Tf||_{(q,r)} \le B||f||_{(p,r)}.$$

O teorema original de Marcinkiewicz foi estabelecido no caso particular $p_i = q_i$. Por curiosidade ver [9, pg. 203].

Corolário 1.40. A k-transformada de Riesz, $R_k = \partial_k(-\triangle)^{-\frac{1}{2}}$, $k = 1, \dots, m$ é contínua em $\mathcal{L}(p,\infty)$, com 1 .

Demonstração. Sabemos que a transformada de Riesz é um operador sublinear contínuo em \mathcal{L}^p (ver Proposição 1.36). Considere $1 < p_0 < p < p_1 < \infty$, satisfazendo $\frac{1}{p} = \frac{1-\theta}{p_0} + \frac{\theta}{p_1}$. Como R_k é contínuo em L^{p_i} , então, pela Observação 1.38, este operador é do tipo fraco (p_i, p_i) . Assim, pelo Teorema de interpolação 1.39, obtemos

$$||R_k f||_{(p,r)} \leq B||f||_{(p,r)},$$

onde $1 \le r \le \infty$.

Capítulo 2

Soluções brandas em $\mathscr{L}(p, \infty)$ e \mathscr{L}^p

Uma forma clássica de abordar equações diferenciais é buscar soluções do problema original em um sentido mais fraco de forma que toda solução no sentido original seja uma solução no sentido mais fraco. Posteriormente busca-se propriedades regularizantes e em que condições a solução fraca obtida é uma solução do problema original. Dois tipos muito utilizados das soluções fracas, são as soluções no sentido de distribuições e soluções integrais.

Para o problema de evolução, um tipo de soluções integrais são as soluções brandas as quais advêm do princípio de D'uhamel. Esta será o tipo de formulação que usaremos para estudar o problema de Cauchy (NS).

Antes de definir precisamente o sentido no qual buscaremos as soluções dos sistema (NS), precisaremos fazer algumas considerações. Sejam dois campos u e v tais que $\nabla \cdot u = \nabla \cdot v = 0$, então podemos escrever:

$$(u \cdot \nabla)v = \nabla(u \otimes v) = \left(\sum_{j=1}^{m} \frac{\partial}{\partial x_{j}}(u_{j}v_{1}), \cdots, \sum_{j=1}^{m} \frac{\partial}{\partial x_{j}}(u_{j}v_{m})\right),$$

onde $u \otimes v$ é a matriz dada por: $(u \otimes v)_{ij} = u_i v_j$.

Uma técnica básica para encontrar soluções para as equações de Navier-Stokes (NS) é transformar este sistema o qual depende das incógnitas u e p, em um sistema apenas nas incógnitas $u = (u_1, \dots, u_m)$, e posteriormente encontrar a incógnita p (a pressão) através de u. Para isso desempenha um papel fundamental o projetor de Leray, o qual é dado por

$$\mathbb{P}u = u + (R_1 \sigma, R_2 \sigma, R_3 \sigma, \cdots, R_m \sigma), \tag{2.1}$$

onde $\sigma = \sum_{j=1}^{m} R_j u_j$ e R_j é a j-transformada de Riesz. R_j é definida via transformada de Fourier da seguinte forma:

$$\widehat{(R_jf)}(\xi) = \frac{i\xi_j}{\|\xi\|}\widehat{f}(\xi).$$

Usando propriedades básicas de transformada de Fourier, podemos expressar

$$R_j f(x) = \widehat{R_j f}(\xi)^{\vee} = \frac{\partial}{\partial x_j} \left(\frac{1}{\sqrt{-\triangle}} f(x) \right).$$

Por outro lado, note que

$$R_{k}\sigma = \frac{\partial}{\partial x_{k}} \frac{1}{\sqrt{-\triangle}} \left(\sum_{j=1}^{m} \frac{\partial}{\partial x_{k}} \frac{1}{\sqrt{-\triangle}} u_{j} \right)$$

$$= \frac{\partial}{\partial x_{k}} \frac{1}{\sqrt{-\triangle}} \nabla \cdot \frac{1}{\sqrt{-\triangle}} u$$

$$= \frac{\partial}{\partial x_{k}} \frac{1}{(-\triangle)} \nabla \cdot u,$$

portanto, podemos reescrever o projetor P, como

$$\mathbb{P}u = u + \nabla \left(\frac{1}{(-\triangle)}\nabla \cdot u\right). \tag{2.2}$$

Para mais detalhes sobre o projetor de Leray, referimos [4, 10, 13, 17].

Aplicando formalmente o projetor de Leray no sistema (NS), podemos reduzi-lo ao seguinte problema equivalente

$$\begin{cases} \partial_t u - \triangle u + \mathbb{P}\nabla(u \otimes u) = 0 & t > 0, \ x \in \mathbb{R}^m \\ \nabla \cdot u = 0 & t > 0, \ x \in \mathbb{R}^m \\ u(0, x) = a_0(x), \ \nabla \cdot a_0 = 0 & x \in \mathbb{R}^m. \end{cases}$$

$$(2.3)$$

Problema Linear Associado

Antes de derivar, a formulação integral com a qual trabalharemos nesta dissertação, precisaremos estudar o problema linear associado as equações (2.3),

$$\begin{cases} \partial_t u - \triangle u = 0 & t > 0, \ x \in \mathbb{R}^m \\ u(0, x) = a_0(x) & x \in \mathbb{R}^m, \end{cases}$$
 (2.4)

o qual é o problema de Cauchy para a equação linear do calor em \mathbb{R}^m . Aplicando, formalmente, a transformada de Fourier em (2.4), obtemos para cada $\xi \in \mathbb{R}^m$ fixo, uma equação diferencial ordinária, isto é:

$$\begin{cases} (\partial_t + 4\pi^2 |\xi|^2) \hat{u}(t,\xi) = 0\\ \hat{u}(0,\xi) = \hat{a}_0(\xi), \end{cases}$$
 (2.5)

cuja a única solução é dada por:

$$\hat{u}(t,\xi) = \hat{a_0}(\xi)\hat{g}(t,\xi), \tag{2.6}$$

onde $\widehat{g}(t,\xi) = e^{-4t\pi^2|\xi|^2}$.

Portanto, calculando a transformada inversa de Fourier em (2.6), obtemos que a solução do problema linear (2.4), pode ser expressa via convolução da seguinte forma:

$$u(t,x) = g(t,x) * a_0(x), \text{ onde } g(t,x) = (e^{-4t\pi^2|\xi|^2})^{\vee}(x) = (4t\pi)^{-\frac{m}{2}} e^{-\frac{||x||^2}{4t}}.$$
 (2.7)

A única solução (2.7) do problema de evolução linear (2.4), gera um semi-grupo S(t) (ver [8]) via convolução com o núcleo de Gauss-Weierstrass (2.7), isto é,

$$u(t,x) = g(t,x) * a_0(x) = S(t)a_0.$$
(2.8)

Muitas vezes chamaremos S(t) e g(t,x) de o semi-grupo do calor e o núcleo do calor, respectivamente.

Claramente, todas as operações formais feitas para obter (2.8) são verdadeiras para $a_0 \in \mathscr{S}(\mathbb{R}^m)$ ou $C_c^{\infty}(\mathbb{R}^m)$. A seguir, demonstraremos algumas estimativas para o núcleo de Gauss-Weierstrass g(t,x) e o semi-grupo S(t) em Espaços de Lorentz.

Estimativas do Semi-Grupo S(t)

Observemos que valem as seguintes propriedades de homogeneidade de g(t,x):

$$g(t,x) = t^{-\frac{m}{2}}g(1,xt^{-\frac{1}{2}}),$$
 (2.9)

$$(\nabla_x^k g)(t, x) = t^{-\frac{m+k}{2}} (\nabla_x^k g)(1, xt^{-\frac{1}{2}}) \quad (k = 0, 1, \dots).$$
 (2.10)

De fato (2.9), segue de

$$g(t,x) = (4t\pi)^{-\frac{m}{2}} e^{-\frac{\|x\|^2}{4t}} = t^{-\frac{m}{2}} (4\pi)^{-\frac{m}{2}} e^{-\frac{\|t^{-\frac{1}{2}}x\|^2}{4}}$$
$$= t^{-\frac{m}{2}} g(1, t^{-\frac{1}{2}}x).$$

A prova da igualdade (2.10) é uma aplicação da regra da cadeia k vezes na igualdade (2.9).

Com o auxílio das igualdades (2.9), (2.10), a Desigualdade Generalizada de Young (1.26) e a relação de escala em espaços de Lorentz (1.18), mostraremos o seguinte lema:

Lema 2.1. Sejam $1 , <math>1 \le d_1 \le d_2 \le \infty$ e $k \in \{0\} \cup \mathbb{N}$. Se $f \in \mathcal{L}(p, d_1)$, então $\nabla^k_x S(t) f \in \mathcal{L}(r, d_2)$ e

$$\|\nabla_x^k S(t)f\|_{(r,d_2)} \le C t^{\frac{m}{2}(\frac{1}{r} - \frac{1}{p}) - \frac{k}{2}} \|f\|_{(p,d_1)}$$
(2.11)

Demonstração. Primeiro, observe que $\nabla_x^k S(t) f = (\nabla_x^k g(t,x)) * f$. Sejam $q \ge 1, l \ge 1$ tais que $1 + \frac{1}{r} = \frac{1}{p} + \frac{1}{q}$ e $\frac{1}{d_1} + \frac{1}{l} \ge \frac{1}{d_2}$. Como $f \in \mathcal{L}(p,d_1)$ aplicando a Desigualdade Generalizada de Young (1.26) com p < r e, aplicando a desigualdade (1.27) no caso r = p, obtem-se $\nabla_x^k S(t) f \in \mathcal{L}(r,d_2)$ e

$$\|\nabla_x^k S(t)f\|_{(r,d_2)} \le C(r) \|(\nabla_x^k g)(t,x)\|_{(q,l)} \|f\|_{(p,d_1)}. \tag{2.12}$$

Por outro lado pela igualdade (2.10) e a relação de escala em espaços de Lorentz $\mathcal{L}(q,l)$ (1.18), obtemos

$$\begin{split} \|(\nabla_{x}^{k}g)(t,x)\|_{(q,\,l)} &= \|t^{-\frac{m+k}{2}}(\nabla_{x}^{k}g)(1,xt^{-\frac{1}{2}})\|_{(q,\,l)} \\ &= t^{-\frac{m+k}{2}}\|(\nabla_{x}^{k}g)(1,xt^{-\frac{1}{2}})\|_{(q,\,l)} \\ &= t^{-\frac{m+k}{2}}t^{\frac{m}{2q}}\|(\nabla_{x}^{k}g)(1,xt^{-\frac{1}{2}})\|_{(q,\,l)} \\ &= C(q,l)t^{\frac{m}{2}(\frac{1}{r}-\frac{1}{p})-\frac{k}{2}}. \end{split}$$

Substituindo $\|(\nabla_x^k g)(t,x)\|_{(q,l)} = C(q,l)t^{\frac{m}{2}(\frac{1}{r}-\frac{1}{p})-\frac{k}{2}}$ em (2.12) o resultado segue.

Observação 2.2. No caso dos espaços de Lebesgue \mathcal{L}^r , pode-se provar (2.11) para $1 \le p \le r \le \infty$ (assim, inclui-se os casos extremos p = 1 e $r = \infty$), isto é,

$$\|\nabla_x^k S(t)f\|_r \le C t^{\frac{m}{2}(\frac{1}{r} - \frac{1}{p}) - \frac{k}{2}} \|f\|_p. \tag{2.13}$$

De fato, a prova é essencialmente a mesma do Lema 2.1, com excessão que neste caso, aplicamos a desigualdade de Young em \mathcal{L}^r , a qual é dada por: $||f * g||_r \le ||f||_p ||g||_q$ para $1 \le p, q, r \le \infty$, com $1 + \frac{1}{r} = \frac{1}{p} + \frac{1}{q}$ (ver [9, pg. 235]. Como a norma $||g(t,x)||_m = 1 \ \forall t > 0$, note que no caso k = 0 r = p, a constante C = 1.

Formulação integral

Para finalizar a seção, vamos derivar a formulação integral associada ao sistema (2.3). Seja u uma solução clássica de (2.3) e considere $\psi(s) = S(t-s)u(s,x)$, ψ é diferenciálvel

e usando as propriedades básicas de convolução (ver [9, pg. 233]), temos

$$\partial_{s} \Psi = S(t-s)\partial_{s} u - \triangle S(t-s)u(s,x)$$

$$= S(t-s)(\triangle u - \mathbb{P}\nabla(u \otimes u)(s,x)) - \triangle S(t-s)u(s,x)$$

$$= S(t-s)\triangle u - S(t-s)\triangle u - S(t-s)\mathbb{P}\nabla(u \otimes u)(s,x)$$

$$= -S(t-s)\mathbb{P}\nabla(u \otimes u)(s,x).$$

Integrando de 0 a t a última igualdade e usando $\psi(0) = S(t-0)u(0,x) = S(t)a_0(x)$ obtemos:

$$\psi(t) - \psi(0) = -\int_0^t S(t-s) \mathbb{P} \nabla(u \otimes u)(s,x) ds$$

$$u(t,x) - S(t)a_0 = -\int_0^t S(t-s) \mathbb{P} \nabla(u \otimes u)(s,x) ds.$$

Como $\mathbb P$ comuta com derivadas, e a ação do semi-grupo S(t) é expressa por uma convolução, podemos escrever

$$u(t,x) = S(t)a_0 - \int_0^t \nabla S(t-s) \mathbb{P}(u \otimes u)(s,x) ds. \tag{2.14}$$

Portanto, toda solução clássica do sistema (2.3) satisfaz a equação integral (2.14). Usaremos como a nossa noção de solução, as soluções da equação integral (2.14), as quais chamaremos de soluções brandas do sistema (2.3).

Para simplificar a formulação integral (2.14) denotaremos a parte não linear por:

$$B(u,v)(t,x) = -\int_0^t \nabla S(t-s) \mathbb{P}(u \otimes v)(s,x) ds, \qquad (2.15)$$

portanto, podemos escrever a equação (2.14) na seguinte forma:

$$u(t,x) = S(t)a_0 + B(u,u)(t,x). \tag{2.16}$$

A formulação integral (2.14) pode ser estudada em diversos espaços funcionais. Nesta dissertação um de nossos objetivos é obter soluções brandas auto-similares para as equações de Navier-Stokes (2.3). Para tal, precisaremos que o dado inicial a_0 seja homogêneo de um certo grau (ver Teorema 3.2). Portanto, estudaremos a equação integral (2.14) em espaços funcionais dependentes do tempo e baseados em espaços de Marcinkiewicz, os quais contêm funções homogêneas.

Soluções brandas globais em $\mathcal{L}(p,\infty)$ 2.1

O principal objetivo desta seção é mostrar resultados de existência e unicidade de soluções nos espaços \mathcal{L}^p -fraco.

2.1.1 Boa-Colocação em $\mathcal{L}(p,\infty)$

Por simplicidade, estaremos abusando da notação ao representar espaços de funções vetoriais e espaços de funções da mesma forma. Nas estimativas encontradas nesta dissertação, esse abuso de notação não representa um problema, já que a norma da função vetorial é tomada como o máximo (ou outra equivalente) das normas das coordenadas. Os seguintes espaços funcionais serão úteis para o nosso proposito.

Definição 2.3. Sejam $m \ge 2$ um inteiro positivo e $1 \le p, q < \infty$ qualquer número fixo. Definimos os seguintes espaços de Banach de todas funções vetoriais $u:(0,\infty)\times\mathbb{R}^{^m}\to\mathbb{R}^m$:

- $F = \{u : u(t,x) \in BC((0,\infty), \mathcal{L}(m,\infty)), \nabla \cdot u = 0\},\$
- $F_q = \{ u(t,x) \in F ; t^{\frac{1}{2} \frac{m}{2q}} u(t,x) \in BC((0,\infty), \mathcal{L}(q,\infty)) \},$
- $F_{q,p} = \{u(t,x) \in F_q : u(t,x) \in BC((0,\infty), \mathcal{L}(p,\infty))\},$

cuja as normas são dadas por:

$$||u||_F \stackrel{\text{def}}{=} \sup_{t>0} ||u(t,x)||_{(m,\infty)}$$
 (2.17)

$$\|u\|_{F} \stackrel{\text{def}}{=} \sup_{t>0} \|u(t,x)\|_{(m,\infty)}$$

$$\|u\|_{F_{q}} \stackrel{\text{def}}{=} \sup_{t>0} t^{\frac{1}{2} - \frac{m}{2q}} \|u(t,x)\|_{(q,\infty)} + \sup_{t>0} \|u(t,x)\|_{(m,\infty)}$$

$$(2.17)$$

$$||u||_{F_{q,p}} \stackrel{\text{def}}{=} ||u(t,x)||_{F_q} + \sup_{t>0} ||u(t,x)||_{(p,\infty)}. \tag{2.19}$$

Aqui $BC((0,\infty), X)$ denota a classe das funções contínuas e limitadas com valores num espaço de Banach X. Desde que os espaços de Lorentz $\mathcal{L}(p,q)$ são espaços de Banach, ver Teorema 1.22, os espaços $F, F_q \in F_{q,p}$, com as respectivas normas $\|\cdot\|_F, \|\cdot\|_{F_q} \in \|\cdot\|_{F_{q,p}}$, são de Banach.

A seguir daremos a noção precisa de solução branda em $\mathcal{L}(p,\infty)$ associada as equações de Navier-Stokes (2.3).

Definição 2.4. Seja $a_0 \in \mathcal{L}(m,\infty)$ com $\nabla \cdot a_0 = 0$. Dizemos que u = u(t,x) é uma solução branda global em F_q do problema de valor inicial (2.3), quando u satisfaz a equação integral (2.14), isto é,

$$u(t,x) = S(t)a_0(t) + B(u,u)(t,x)$$

e

$$u(t,x) \rightharpoonup a_0$$
 quando $t \to 0^+$,

onde o limite é tomado na topologia fraca-* de $\mathscr{L}(m,\infty)$.

O primeiro ítem do próximo teorema pode encontrado em [2, Seção 2, Teorema 1]. Por outro lado, o segundo ítem é uma consequência da junção de resultados e técnicas encontrados em [5, 11, 13], e adaptados no contexto de $\mathcal{L}(p,\infty)$.

Teorema 2.5.

- (i) (Existência e unicidade) Seja $a_0 \in \mathcal{L}(m,\infty)$. Existem $\varepsilon > 0$ e C > 0 tais que, se $\|a_0\|_{(m,\infty)} < \varepsilon$, então existe uma solução branda global, $u(t,x) \in F_q$, para o problema de valor inicial (2.3) satisfazendo $\|u\|_{F_q} \leq 2C\varepsilon$. Além disso, ela é única na bola fechada $\overline{B}_{2C\varepsilon}(0)$.
- (ii) Seja $a_0 \in \mathcal{L}(m,\infty) \cap \mathcal{L}(p,\infty)$ com $1 e seja <math>\varepsilon > 0$ obtido no item (i). Existe $\varepsilon_p > 0$, tal que, se $\|a_0\|_{(m,\infty)} < \varepsilon_p$, então a solução obtida no item (i) tem a propriedade adicional

$$u(t,x) \in BC(0,\infty), \mathcal{L}(p,\infty)$$
.

O conteúdo do próximo teorema garante que as soluções, obtidas no Teorema 2.5, possuem todas as derivadas no tempo e no espaço, no sentido clássico, para todo t > 0.

Teorema 2.6. (Regularidade) Sejam $m < q < \infty$ e $u(t,x) \in F_q$ a solução branda global obtida no Teorema 2.5. Então

$$\partial_t^k \partial_x^n u(t, x) \in BC((0, \infty), \mathcal{L}(q, \infty) \cap \mathcal{L}(m, \infty)), \tag{2.20}$$

para todo $k, n \in \{0\} \cup \mathbb{N}$.

Observação 2.7. O Teorema 2.6 implica que u tem todas as derivadas no tempo e no espaço. De fato, desde que $\mathcal{L}(q,\infty) \cap \mathcal{L}(m,\infty) \subset \mathcal{L}^r$, onde m < r < q (Proposição 1.21, pg.23), por imersão de Sobolev e (2.20), segue a afirmação.

Antes de passarmos às demonstrações dos Teoremas 2.5 e 2.6 mostraremos um lema abstrato cuja demonstração é uma aplicação do Teorema de Banach de ponto fixo de contrações (ver [15, pg. 198]).

Lema 2.8. (Lema abstrato) Seja o par $(X, \|\cdot\|_X)$ um espaço de Banach e $\mathscr{B}: X \times X \to X$ um operador bilinear contínuo, isto é, existe um K > 0, tal que,

$$\|\mathscr{B}(x,y)\|_{X} \le K\|x\|_{X}\|y\|_{X}.$$

Seja $y \in X$, $y \neq 0$ e $||y||_X \leq \varepsilon$. Se $4K\varepsilon < 1$, então existe uma solução $x \in X$ para a equação $x = y + \mathscr{B}(x,x)$, tal que $||x||_X \leq 2\varepsilon$, a qual é única na bola fechada $\overline{B}_{2\varepsilon}(0)$. Além disso, esta solução depende continuamente de y. Isto é, se $||\tilde{y}||_X \leq \varepsilon$, $\tilde{x} = \tilde{y} + \mathscr{B}(\tilde{x},\tilde{x})$, e $||\tilde{x}||_X \leq 2\varepsilon$, então

$$||x - \tilde{x}||_X \le \frac{1}{1 - 4K\varepsilon} ||y - \tilde{y}||_X \tag{2.21}$$

Demonstração. Considere a aplicação

$$f: X \to X$$
$$x \mapsto y + \mathcal{B}(x, x)$$

vamos mostrar que f restrita a uma bola fechada de raio 2ε , a saber, $\overline{B}_{2\varepsilon}(0) = \{x \in X ; \|x\|_X \le 2\varepsilon\}$ é uma contração tal que $f(\overline{B}_{2\varepsilon}(0)) \subset \overline{B}_{2\varepsilon}(0)$.

Afirmamos que $f(\overline{B}_{2\varepsilon}(0)) \subset \overline{B}_{2\varepsilon}(0)$, para todo $x \in \overline{B}_{2\varepsilon}(0)$. Com efeito,

$$||f(x)||_X \le ||y||_X + K||x||_X^2 \le \varepsilon + 4K\varepsilon\varepsilon < 2\varepsilon,$$

além disso, dados $x, x' \in \overline{B}_{2\varepsilon}$, temos:

$$||f(x) - f(x')||_{X} = ||\mathscr{B}(x,x) - \mathscr{B}(x',x')||_{X}$$

$$= ||\mathscr{B}(x,x) - \mathscr{B}(x,x') + \mathscr{B}(x,x') - \mathscr{B}(x',x')||_{X}$$

$$= ||\mathscr{B}(x-x',x) + \mathscr{B}(x',x-x')||_{X}$$

$$\leq ||\mathscr{B}(x-x',x)||_{X} + ||\mathscr{B}(x',x-x')||_{X}$$

$$\leq K||x||_{X} ||x-x'||_{X} + K||x'||_{X} ||x-x'||_{X}$$

$$= 4K\varepsilon ||x-x'||_{X}.$$

Por hipótese $4K\varepsilon < 1$, então f restrita ao conjunto $\overline{B}_{2\varepsilon}$ é uma contração, tal que, $f(\overline{B}_{2\varepsilon}) \subset \overline{B}_{2\varepsilon}$.

 $\overline{B}_{2\varepsilon}(0) \subset X$ é um conjunto fechado em X. Munindo $\overline{B}_{2\varepsilon}(0)$ com a métrica $d(a,b) \stackrel{\text{def}}{=} \|a-b\|_X$, temos que o par $(\overline{B}_{2\varepsilon}(0),d)$ é um espaço métrico completo. Assim f tem um único ponto fixo em $\overline{B}_{2\varepsilon}(0)$, ou seja, existe $x \in X$, tal que, x é uma solução da equação $x = f(x) = y + \mathcal{B}(x,x)$, e esta solução é única na bola $\overline{B}_{2\varepsilon}(0)$.

Para finalizar, vamos mostrar a continuidade em relação ao parâmetro inicial y. De fato,

$$||x - \tilde{x}||_X \leq ||y - \tilde{y}||_X + ||\mathscr{B}(x - \tilde{x}, x)||_X + ||\mathscr{B}(\tilde{x}, x - \tilde{x})||_X$$

$$\leq ||y - \tilde{y}||_X + K||x||_X ||x - \tilde{x}||_X + K||\tilde{x}||_X ||x - \tilde{x}||_X$$

$$\leq ||y - \tilde{y}||_X + 4K\varepsilon||x - \tilde{x}||_X,$$

desde que $4K\varepsilon < 1$, obtemos (2.21).

Para aplicarmos o Lema 2.8 com $X = F_q$ mostraremos, nas próximas subseções, que a parte não linear da equação integral (2.14) é contínua de $F_q \times F_q \to F_q$ e a norma em F_q da parte linear pode ser controlada pela norma do dado inicial $a_0 \in \mathcal{L}(m, \infty)$.

2.1.2 Estimativas do termo não linear

Nas preliminares vimos que a j-transformada de Riesz é contínua sobre os espaços de Lebesgue \mathcal{L}^p , (ver Proposição 1.36), e sobre os espaços de Marcinkiewicz $\mathcal{L}(p,\infty)$, (ver Teorema 1.40, pg. 35). Logo o operador projeção de Leray definido em (2.1) também é contínuo sobre estes espaços. O próximo lema mostra que o operador bilinear B(u,v) é contínuo em F_q .

Lema 2.9. Sejam 1 < m < q, $\frac{\alpha}{2} = \frac{1}{2} - \frac{m}{2q}$ e $u, v \in F_q$. Então existem constantes K_1 e $K_2 > 0$, tais que,

$$||B(u,v)(t,x)||_{(m,\infty)} \le K_1 \sup_{t>0} ||u(t,x)||_{(m,\infty)} \sup_{t>0} t^{\frac{\alpha}{2}} ||v(t,x)||_{(q,\infty)}$$
 (2.22)

$$t^{\frac{\alpha}{2}} \|B(u,v)(t,x)\|_{(q,\infty)} \le K_2 \sup_{t>0} t^{\frac{\alpha}{2}} \|u(t,x)\|_{(q,\infty)} \cdot \sup_{t>0} t^{\frac{\alpha}{2}} \|v(t,x)\|_{(q,\infty)}, \tag{2.23}$$

assumindo que $u, v \in F_{q,p}$, com $1 . Existe <math>K_3 > 0$, tal que,

$$||B(u,v)(t,x)||_{(p,\infty)} \le K_3 \sup_{t>0} ||u(t,x)||_{(p,\infty)} \sup_{t>0} t^{\frac{\alpha}{2}} ||v(t,x)||_{(q,\infty)}, \tag{2.24}$$

Demonstração. Vamos mostrar as estimativas (2.22) e (2.24) simultaneamente. De fato, como 1 < m < q, existe r > 1, tal que, $\frac{1}{m} = \frac{1}{r} + \frac{1}{q}$. Assim $1 + \frac{1}{r} = \frac{1}{l} + \frac{1}{m}$, para algum l > 1.

Usando, respectivamente, o Lema 2.1 com k = 1, $d_1 = d_2 = \infty$, a continuidade do projetor de Leray e a Desiguadade Generalizada de Hölder (1.28), obtemos:

$$\begin{split} \|B(u,v)(t,x)\|_{(r,\infty)} & \leq \int_0^t \|\nabla S(t-s)\mathbb{P}(u\otimes v)(s,x)\|_{(r,\infty)} ds \\ & \leq C \int_0^t (t-s)^{\frac{m}{2}\left(\frac{1}{r}-\frac{1}{m}\right)-\frac{1}{2}} \|u(s,x)\|_{(q,\infty)} \|v(s,x)\|_{(r,\infty)} ds \\ & = C \int_0^t (t-s)^{\frac{m}{2}\left(\frac{1}{r}-\frac{1}{m}\right)-\frac{1}{2}} s^{-\frac{\alpha}{2}} s^{\frac{\alpha}{2}} \|u(s,x)\|_{(q,\infty)} \|v(s,x)\|_{(r,\infty)} ds \\ & \leq C \sup_{s>0} s^{\frac{\alpha}{2}} \|u(s)\|_{(q,\infty)} \sup_{s>0} \|v(s)\|_{(r,\infty)} \int_0^t (t-s)^{\frac{m}{2}\left(\frac{1}{r}-\frac{1}{m}\right)-\frac{1}{2}} s^{-\frac{\alpha}{2}} ds. \end{split}$$

Como $\frac{1}{l} + \frac{1}{q} = 1$, então $\frac{m}{2} \left(\frac{1}{r} - \frac{1}{m} \right) - \frac{1}{2} = \frac{m}{2} \left(\frac{1}{l} - 1 \right) - \frac{1}{2} = -\frac{m}{2q} + \frac{1}{2} - 1 = \frac{\alpha}{2} - 1$. Assim, a integral $\int_0^t (t-s)^{\frac{\alpha}{2}-1} s^{\frac{-\alpha}{2}} ds < \infty$, pois $\frac{\alpha}{2} - 1 > -1$ e $-\frac{\alpha}{2} > -1$, quando 1 < m < q. Logo, fazendo $z = \frac{s}{t}$, temos

$$||B(u,v)(t,x)||_{(r,\infty)} \leq C \sup_{s>0} s^{\frac{\alpha}{2}} ||u(s,x)||_{(q,\infty)} \sup_{s>0} ||v(s,x)||_{(r,\infty)} t^{\frac{\alpha}{2}-1-\frac{\alpha}{2}+1} I(z)$$
(2.25)
$$\leq K_r \sup_{s>0} s^{\frac{\alpha}{2}} ||u(s,x)||_{(q,\infty)} \sup_{s>0} ||v(s,x)||_{(r,\infty)},$$
(2.26)

onde $I(z) = \int_0^1 (1-z)^{\frac{\alpha}{2}-1} z^{-\frac{\alpha}{2}} dz$, e K_r é uma constante que independe de u e v. Tomando r = m, e depois r = p, na desigualdade (2.26), concluímos a demonstração das estimativas (2.22) e (2.24).

Para verificar a estimativa (2.23), temos

$$\|B(u,v)(t,x)\|_{(q,\infty)} \le \int_0^t \|\nabla S(t-s)\mathbb{P}(u\otimes v)(s,x)\|_{(q,\infty)}ds,$$

como $1 < m < q < \infty$, podemos escrever $1 + \frac{1}{q} = \frac{1}{m} + \frac{1}{r}$, com r > 1. Assim, aplicando a estimativa (2.11) e a continuidade do projetor de Leray em $\mathcal{L}(q,\infty)$, obtemos

$$||B(u,v)(t,x)||_{(q,\infty)} \le C \int_0^t (t-s)^{\frac{m}{2}(\frac{1}{q}-\frac{1}{r})-\frac{1}{2}} ||u(s,x)\otimes v(s,x)||_{(r,\infty)} ds.$$

Seja $\frac{1}{r} = \frac{1}{q} + \frac{1}{q}$, então $\frac{m}{2} \left(\frac{1}{q} - \frac{1}{r} \right) - \frac{1}{2} = \frac{\alpha}{2} - 1$ e, pela Desigualdade Generalizada de Hölder (1.28), concluímos que

$$\begin{split} \|B(u,v)(t,x)\|_{(q,\infty)} & \leq C \int_0^t (t-s)^{\frac{\alpha}{2}-1} \|u(s,x)\|_{(q,\infty)} \|v(s,x)\|_{(q,\infty)} ds \\ & = C \int_0^t (t-s)^{\frac{\alpha}{2}-1} s^{-\alpha} s^{\frac{\alpha}{2}} \|u(s,x)\|_{(q,\infty)} s^{\frac{\alpha}{2}} \|v(s,x)\|_{(q,\infty)} ds \\ & \leq C \sup_{s>0} s^{\frac{\alpha}{2}} \|u(s,x)\|_{(q,\infty)} \cdot \sup_{s>0} s^{\frac{\alpha}{2}} \|v(s,x)\|_{(q,\infty)} \int_0^t (t-s)^{\frac{\alpha}{2}-1} s^{-\alpha} ds. \end{split}$$

A restrição 1 < m < q, garante que a integral $\int_0^t (t-s)^{\frac{\alpha}{2}-1} s^{-\alpha} ds$ converge, pois $-\alpha$ e $\frac{\alpha}{2}-1$ são maiores que -1. Logo, considerando a mudança de variável $z = \frac{s}{t}$, obtemos

$$||B(u,v)(t,x)||_{(q,\infty)} \leq C \sup_{s>0} s^{\frac{\alpha}{2}} ||u(s)||_{(q,\infty)} \cdot \sup_{s>0} s^{\frac{\alpha}{2}} ||v(s)||_{(q,\infty)} t^{\frac{\alpha}{2}-1-\alpha+1} I(z)$$

$$= K_3 \sup_{s>0} s^{\frac{\alpha}{2}} ||u(s,x)||_{(q,\infty)} \sup_{s>0} s^{\frac{\alpha}{2}} ||v(s,x)||_{(q,\infty)} t^{-\frac{\alpha}{2}},$$

onde K_3 denota uma contante positiva, e o lema está demonstrado.

Para mostrar que a solução u converge fraco-* em $\mathcal{L}(m,\infty)$ para o dado inicial, quando $t \to 0^+$, precisaremos do seguinte lema.

Lema 2.10. Se $u(t,x) \in F_q$, então

$$B(u,u)(t,x) \rightharpoonup 0$$
, quando $t \rightarrow 0^+$.

Demonstração. Como o conjunto $C_c^{\infty}(\mathbb{R}^m)$ é denso em $\mathscr{L}(m',1)$ (ver Proposição 1.32), logo pela desigualdade (2.24) do Lema 2.9 é suficiente mostrar por um argumento de densidade que dada $\varphi \in C_c^{\infty}(\mathbb{R}^m)$, então

$$< B(u,u)(t,x), \; \varphi > = \int_{\mathbb{R}^m} \left(\int_0^t \nabla S(t-s) \mathbb{P} u(s,x) \otimes u(s,x) ds \right) \varphi dx \to 0,$$

quando $t \to 0^+$.

Portanto, seja $\varphi \in C_c^{\infty}(\mathbb{R}^m)$, temos que

$$|\langle B(u,u)(t,x), \varphi \rangle| = \left| \int_0^t \langle \nabla S(t-s) \mathbb{P}(u \otimes u)(s,x), \varphi \rangle ds \right|$$

$$\leq \int_0^t \|\nabla S(t-s) \mathbb{P}(u \otimes u)(s,x)\|_{(r',\infty)} \|\varphi\|_{(r,1)} ds.$$

Escrevendo $\frac{1}{r'} = \frac{1}{l} + \frac{1}{b} - 1$ e $\frac{1}{b} = \frac{1}{m} + \frac{1}{q}$. Pelo Lema 2.1, a continuidade do projetor Leray e a Desigualdade Generalizada de Hölder (1.28), obtemos

$$\begin{split} \|\nabla S(t-s)\mathbb{P}(u\otimes u)(s,x)\|_{(r',\infty)} &\leq C(t-s)^{\frac{m}{2}(\frac{1}{r'}-\frac{1}{b})-\frac{1}{2}}\|u(s,x)\|_{(m,\infty)}\|u(s,x)\|_{(q,\infty)} \\ &= C(t-s)^{\frac{m}{2}(\frac{1}{r'}-\frac{1}{b})-\frac{1}{2}}s^{-\frac{\alpha}{2}}\|u(s,x)\|_{(m,\infty)}s^{\frac{\alpha}{2}}\|u(s,x)\|_{(q,\infty)}. \end{split}$$

Assim,

$$|\langle B(u,u)(t,x), \varphi \rangle| \le C \|\varphi\|_{(r,1)} \int_0^t (t-s)^{\frac{m}{2}(\frac{1}{r'}-\frac{1}{b})-\frac{1}{2}} s^{-\frac{\alpha}{2}} ds$$
 (2.27)

$$= C \|\varphi\|_{(r,1)} t^{\frac{m}{2}(\frac{1}{r'} - \frac{1}{b}) - \frac{1}{2} - \frac{\alpha}{2} + 1} I(z)$$
 (2.28)

$$= C \|\varphi\|_{(r,1)} t^{\frac{m}{2}(\frac{1}{r'} - \frac{1}{m})} I(z), \qquad (2.29)$$

onde $I(z) = \int_0^1 (1-z)^{\frac{m}{2}(\frac{1}{r'}-\frac{1}{b})-\frac{1}{2}} z^{-\frac{\alpha}{2}} dz$. Calculando o limite, em ambos os lados da desigualdade (2.29), obtem-se

$$\lim_{t\to 0^+} | \langle B(u,u)(t,x), \varphi \rangle | \leq CI(z) \|\varphi\|_{(r,1)} \lim_{t\to 0^+} t^{\frac{m}{2}\left(\frac{1}{r'} - \frac{1}{m}\right)} = 0.$$

2.1.3 Estimativas do termo linear

Para aplicar o Lema 2.8 falta provar apenas que a norma da parte linear pode ser controlada pela norma em $\mathcal{L}(m,\infty)$ do dado inicial a_0 , e mostrar que a parte linear converge fraco-* em $\mathcal{L}(m,\infty)$ para o dado inicial, quando $t \to 0^+$. De fato, o controle da norma já foi essencialmente provado no Lema 2.1. O próximo lema trata com essas questões.

Lema 2.11. Sejam $m < q < \infty$ e $a_0 \in \mathcal{L}(m, \infty)$. Então existe C > 0 tal que

$$||S(t)a_0||_{F_q} \le C ||a_0||_{(m,\infty)}$$

e

$$S(t)a_0 \rightharpoonup a_0 \text{ quando } t \rightarrow 0^+,$$

onde o limite é tomado na topologia fraca-* de $\mathcal{L}(m,\infty)$. Além disso, se $1 e <math>a_0 \in \mathcal{L}(p,\infty)$, então existe C > 0, tal que,

$$||S(t)a_0||_{(p,\infty)} \le C ||a_0||_{(p,\infty)}.$$

Demonstração. Aplicando primeiro, o Lema 2.1 com r=p=m e $d_1=d_2=\infty$, e depois com $r=q,\ p=m$ e $d_1=d_2=\infty$, obtemos, respectivamente,

$$||S(t)a_0||_{(m,\infty)} \leq C t^{\frac{m}{2}(\frac{1}{m}-\frac{1}{m})} ||a_0||_{(m,\infty)}$$

= $C ||a_0||_{(m,\infty)},$

e

$$||S(t)a_0||_{(q,\infty)} \leq C(q')t^{\frac{m}{2}\left(\frac{1}{q}-\frac{1}{m}\right)}||a_0||_{(m,\infty)}$$

$$= C(q')t^{\frac{m}{2q}-\frac{1}{2}}||a_0||_{(m,\infty)}$$

$$= C(q')t^{-\frac{\alpha}{2}}||a_0||_{(m,\infty)}.$$

Analogamente, quando $a_0 \in \mathcal{L}(p, \infty)$, tem-se

$$||S(t)a_0||_{(p,\infty)} \le C||a_0||_{(p,\infty)}.$$

Agora vamos verificar a convergência, da parte linear da equação integral (2.14), para o dado inicial a_0 na topologia $\sigma(\mathcal{L}(m,\infty), \mathcal{L}(m',1))$, isto é, na topologia fraca-* de $\mathcal{L}(m,\infty)$. Primeiro, vamos relembrar que $f_n \to f$ (fraco-*) é equivalente a convergência das integrais $\langle f_n, \tilde{g} \rangle \to \langle f, \tilde{g} \rangle$, $\forall \tilde{g} \in \mathcal{L}(m',1)$. Portanto, para uma fixada $\tilde{g} \in \mathcal{L}(m',1)$, temos

$$|\langle S(t)a_0 - a_0, \, \tilde{g} \rangle| = |\langle a_0, \, S(t)\tilde{g} - \tilde{g} \rangle| \le ||a_0||_{(m,\infty)} ||S(t)\tilde{g} - \tilde{g}||_{(m',1)}.$$

Aplicando o Teorema 1.34, ver Observação 2.12 abaixo, obtemos que $||S(t)\tilde{g} - \tilde{g}||_{(m',1)} \to 0$, quando $t \to 0^+$, e então $S(t)a_0 \rightharpoonup a_0$.

Observação 2.12. Ja vimos que o semi-grupo S(t) é a convolução com o núcleo do calor, ou seja, $S(t)\tilde{g} = g(t,x) * \tilde{g}$. Note que $g(t,x) = t^{-\frac{m}{2}}g(1,t^{-\frac{1}{2}}x) = \varepsilon^{-m}\varphi(\frac{x}{\varepsilon})$, onde $\varepsilon = t^{\frac{1}{2}}$ e $\varphi(x) = g(1,x)$. Desde que $\varepsilon \to 0 \Leftrightarrow t^{1/2} \to 0$, e $\int_{\mathbb{R}^m} g(t,x)dx = \int t^{-\frac{m}{2}}g(1,t^{-\frac{1}{2}}x)dx = \int t^{-\frac{m}{2}}g(1,x)dx = \int (4\pi)^{-\frac{m}{2}}e^{-\frac{\|x\|^2}{4}} = 1$, ver [9, pg.76], observa-se que a família g(t,x), indexada em t > 0, é uma aproximação da identidade em $\mathscr{L}(p,q)$. Portanto, aplicando o Teorema 1.34, segue que $\|S(t)\tilde{g}-\tilde{g}\|_{(m',1)} \to 0$, quando $t \to 0^+$.

2.1.4 Prova do Teorema 2.5

Prova do item (i)

Pelo Lema 2.9 temos que o operador bilinar de $F_q \times F_q \to F_q$ dado por:

$$B(u,v)(t,x) = -\int_0^t \nabla S(t-s) \mathbb{P}(u \otimes v)(s,x) ds$$

é contínuo. Primeiro, note que pela definição do projetor de Leray, $div\left(\mathbb{P}(u\otimes v)\right)=0$. Logo usando que a ação do semi-gupo S(t) é via convolução, temos

$$div(B(u,v)) = -div \int_0^t \nabla S(t-s) \mathbb{P}(u \otimes v)(s,x) ds$$
$$= -\int_0^t div \nabla S(t-s) \mathbb{P}(u \otimes v)(s,x) ds$$
$$= -\int_0^t \nabla S(t-s) div \mathbb{P}(u \otimes v)(s,x) ds = 0.$$

Por outro lado, usando as desigualdades (2.22) e (2.23) do Lema 2.9, obtemos:

$$||B(u,v)||_{F_q} \le K||u||_{F_q}||v||_{F_q}.$$

Como F_q é um espaço de Banach, vamos aplicar o Lema 2.8 para mostrar que a equação integral (2.14) tem uma solução branda neste espaço.

Pela hipótese de pequenez do dado inicial, no enuciado do Teorema 2.5, e pelo Lema 2.11, temos que

$$4K||S(t)a_0||_{F_q} < 4KC||a_0||_{(m,\infty)} < 4KC\varepsilon.$$
(2.30)

Escolhendo $\varepsilon > 0$, tal que, $0 < \varepsilon < (4KC)^{-1}$, então $4K||S(t)a_0||_{F_q} < 1$. Se $y = S(t)a_0$, então $div \, y = S(t)div \, a_0 = 0$, e por (2.30), $y \in F_q$. Portanto, o Lema 2.8 garante a existência para a equação integral (2.14) em F_q , a qual é única na bola fechada $\overline{B}_{2C\varepsilon}(0)$. Por outro lado, pelos Lemas 2.10 e 2.11, é fácil ver que $u(t,x) \rightharpoonup a_0$, quando $t \to 0^+$, na topologia fraca-* de $\mathscr{L}(m,\infty)$. Logo, a solução $u \in F_q$ é de fato uma solução branda da Definição 2.4.

Prova do item (ii)

A solução do item (i) foi obtida via um argumento de ponto fixo, de fato, pela prova do Lema 2.8, a solução u é o limite em F_q de uma sequência de Picard, $(u_k)_{k\in\mathbb{N}}$, definida recurssivamente por

$$\begin{cases} u_1(t,x) = S(t)a_0 \\ u_{k+1}(t,x) = u_1(t,x) + B(u_k,u_k)(t,x). \end{cases}$$
 (2.31)

Supondo que $a_0 \in \mathcal{L}(m,\infty)$ iremos mostrar que a sequência u_k é de Cauchy no espaço $BC((0,\infty),\mathcal{L}(p,\infty))$.

Pelo Lema 2.11, temos que

$$||u_1(t,x)||_{(p,\infty)} = ||S(t)a_0||_{(p,\infty)} \le C||a_0||_{(p,\infty)},$$

 \mathbf{e}

$$||u_{k+1}(t,\cdot)||_{(p,\infty)} \leq ||u_1(t,\cdot)||_{(p,\infty)} + ||B(u_k,u_k)(t,\cdot)||_{(p,\infty)} \leq C||a_0||_{(p,\infty)} + K_1 \sup_{t>0} t^{\frac{\alpha}{2}} ||u_k(t,\cdot)||_{(q,\infty)} \sup_{t>0} ||u_k(t,\cdot)||_{(p,\infty)},$$

onde a última desigualdade decorre da estimativa (2.24) do Lema 2.9. Agora escolha $0 < \varepsilon_p < \varepsilon$, tal que, $2K_1C\varepsilon_p < 1$. Se $||a_0||_{(m,\infty)} < \varepsilon_p$ então, pela prova do Teorema 2.5 e do Lema 2.8, a sequência de Picard u_k está contida na bola fechada $\overline{B}_{2C\varepsilon_p}(0)$, isto é,

$$\sup_{t>0} t^{\frac{\alpha}{2}} \|u_k(t,x)\|_{(q,\infty)} \le 2C\varepsilon_p \quad (\forall \ k \in \mathbb{N}).$$

Logo, podemos estimar

$$M_{k+1} = \sup_{t>0} \|u_{k+1}(t,\cdot)\|_{(p,\infty)} \le C\|a_0\|_{(p,\infty)} + 2K_1C\varepsilon_p \sup_{t>0} \|u_k(t,\cdot)\|_{(p,\infty)}$$
$$= M_0 + 2K_1C\varepsilon_p M_k,$$

onde $M_k=\sup_{t>0}\|u_k(t,\cdot)\|_{(p,\infty)}$. Escrevendo $r=2K_1C\varepsilon_p<1$, a sequência $(M_k)_{k\in\mathbb{N}}$ satisfaz

$$M_k \le (1 + r + r^2 \cdots r^k) M_0 \le \frac{1}{1 - r} M_0.$$

Usando a bilinearidade de B, temos

$$w_{k+1} = u_{k+1} - u_k = B(u_k, u_k) - B(u_{k-1}, u_{k-1})$$

$$= B(u_k - u_{k-1}, u_k) + B(u_k, u_{k-1} - u_k)$$

$$= B(w_k, u_k) + B(u_k, w_k),$$

e, pela estimativa (2.24) do Lema 2.9, obtemos

$$\sup_{t>0} \|w_k(t,x)\|_{(p,\infty)} \leq \sup_{t>0} \|B(w_k,u_k)\|_{(p,\infty)} + \sup_{t>0} \|B(u_k,w_k)\|_{(p,\infty)} \\ \leq 2K_1 \sup_{t>0} t^{\frac{\alpha}{2}} \|w_k(t,x)\|_{(q,\infty)} \sup_{t>0} \|u_k(t,x)\|_{(p,\infty)}.$$

Como

$$\lim_{k \to \infty} \|w_{k+1}\|_{F_q} = \lim_{k \to \infty} \sup_{t > 0} t^{\frac{\alpha}{2}} \|w_{k+1}(t, x)\|_{(q, \infty)} = \lim_{k \to \infty} \sup_{t > 0} t^{\frac{\alpha}{2}} \|u_{k+1} - u_k\|_{(q, \infty)} = 0$$

então a sequência (u_k) é de Cauchy em $BC((0,\infty),\mathcal{L}(p,\infty))$. Seja $\overline{u}(t,x)$ o limite desta sequência. Pela unicidade do limite q.t.p em \mathbb{R}^m , tem-se $u(t,x) = \overline{u}(t,x) \in BC((0,\infty),\mathcal{L}(p,\infty))$.

2.1.5 Demonstração do Teorema 2.6

Vamos fazer a demontração por indução sobre k e n, isto é, sobre a derivada temporal e a derivada espacial da solução u do Teorema 2.5.

Seja u a única solução do Teorema 2.5 e $a=u(\sigma,x),\ \sigma>0$. Considere a equação integral

$$u(t,x) = S(t-\sigma)a - \int_{\sigma}^{t} \nabla S(t-s) \mathbb{P}(u \otimes u)(s,x) ds.$$
 (2.32)

Pelo Teorema 2.5, a relação (2.20) é válida para k = n = 0. Assumindo que este resultado seja válido para todo $0 \le i \le n - 1$ e k = 0, vamos mostrar a existência de uma solução para a equação integral (2.32), no espaço de Banach H, o qual é o espaço das funções vetoriais, $h: (\sigma, T) \times \mathbb{R}^m \to \mathbb{R}^m$, tais que

$$\partial_x^i h(t,x) \in BC\left((\sigma,T), \mathcal{L}(m,\infty) \cap \mathcal{L}(q,\infty)\right), \ i = 0, 1, ...n - 1$$
$$(t-\sigma)^{\frac{1}{2}} \partial_x^n h(t,x) \in BC\left((\sigma,T), \mathcal{L}(m,\infty) \cap \mathcal{L}(q,\infty)\right),$$

cuja norma, é dada por:

$$||h||_{H} = \sup_{t \in (\sigma,T)} \left[(t - \sigma)^{\frac{1}{2}} \left(||\partial_{x}^{n} h||_{(q,\infty)} + ||\partial_{x}^{n} h||_{(m,\infty)} \right) + \sum_{i=0}^{n-1} \left(||\partial_{x}^{i} h||_{(q,\infty)} + ||\partial_{x}^{i} h||_{(m,\infty)} \right) \right].$$

Comecemos mostrando que $S(t-\sigma)a \in H$. Pela hipótese de indução, temos

$$\partial_x^i a = \partial_x^i u(\sigma) \in \mathcal{L}(m,\infty) \cap \mathcal{L}(q,\infty) \text{ para } 0 \leq i \leq n-1.$$

e usando que a ação do semi-grupo S(t) é via convolução, obtemos

$$\partial_x^i S(t-\sigma)a = S(t-\sigma)\partial_x^i a \in \mathcal{L}(m,\infty) \cap \mathcal{L}(q,\infty) \text{ para } 0 \leq i \leq n-1.$$

A seguir vamos estimar as derivadas de ordem n. Pelo Lema 2.1 com r=p=q e $d_1=d_2=\infty$, temos

$$\begin{split} \|\partial_{x}^{n} S(t-\sigma)a\|_{(q,\infty)} &= \|(\partial_{x}^{n} g(t-\sigma)) * a\|_{(q,\infty)} \\ &= \|\partial_{x} g(t-\sigma) * \partial_{x}^{n-1} a\|_{(q,\infty)} \\ &= \|\partial_{x} S(t-\sigma) (\partial_{x}^{n-1} a)\|_{(q,\infty)} \\ &\leq C (t-\sigma)^{-\frac{1}{2}} \|\partial_{x}^{n-1} a\|_{(q,\infty)}, \end{split}$$

e analogamente,

$$\begin{split} \|\partial_{x}^{n} S(t-\sigma) a\|_{(m,\infty)} &= \|(\partial_{x}^{n} g(t-\sigma)) * a\|_{(m,\infty)} \\ &= \|\partial_{x} g(t-\sigma) * \partial_{x}^{n-1} a\|_{(m,\infty)} \\ &= \|\partial_{x} S(t-\sigma) (\partial_{x}^{n-1} a)\|_{(m,\infty)} \\ &\leq C (t-\sigma)^{-\frac{1}{2}} \|\partial_{x}^{n-1} a\|_{(m,\infty)}, \end{split}$$

Agora, denote o termo não linear como

$$B_{\sigma}(u,v)(t,x) = -\int_{\sigma}^{t} \nabla S(t-s) \mathbb{P}(u \otimes v)(s,x) ds.$$

Pelo Lema 2.1, a continuidade do projetor de Leray (2.1) e a Desigualdade Generalizada de Hölder (1.28), podemos estimar

$$||B_{\sigma}(u,v)(t,x)||_{(q,\infty)} \leq C \int_{\sigma}^{t} ||\nabla S(t-s)\mathbb{P}(u\otimes v)(s,x)||_{(q,\infty)} ds$$

$$\leq C \int_{\sigma}^{t} (t-s)^{\frac{\alpha}{2}-1} ||\mathbb{P}(u\otimes v)(s,t)||_{(\frac{q}{2},\infty)} ds$$

$$\leq C \int_{\sigma}^{t} (t-s)^{\frac{\alpha}{2}-1} ||u(s,x)||_{(q,\infty)} ||v(s,x)||_{(q,\infty)} ds$$

$$\leq C \sup_{t\in(\sigma,T)} ||u(t,x)||_{(q,\infty)} \sup_{t\in(\sigma,T)} ||v(t,x)||_{(q,\infty)} \int_{\sigma}^{t} (t-s)^{\frac{\alpha}{2}-1} ds$$

$$\leq C (T-\sigma)^{\frac{\alpha}{2}} \sup_{t\in(\sigma,T)} ||u(t,x)||_{(q,\infty)} \sup_{t\in(\sigma,T)} ||v(t,x)||_{(q,\infty)}$$

e de forma análoga, temos

$$||B_{\sigma}(u,v)(t,x)||_{(m,\infty)} \le C(T-\sigma)^{\frac{\alpha}{2}} \sup_{t \in (\sigma,T)} ||u(t,x)||_{(q,\infty)} \sup_{t \in (\sigma,T)} ||v(t,x)||_{(m,\infty)}.$$
 (2.33)

Devido a bilinearidade de $B_{\sigma}(u,v)$, observemos que

$$\partial_x^i B_{\sigma}(u, v)(t, x) = B_{\sigma}(u, \partial_x^i v) + B_{\sigma}(\partial_x u, \partial_x^{i-1} v) + \dots + B_{\sigma}(\partial_x^i u, v). \tag{2.34}$$

Assim, usando (2.34) e (2.33), e, (2.34) e (2.33), obtemos respectivamente

$$\|\partial_x^i B_{\sigma}(u, v)\|_{(q, \infty)} \le C(T - \sigma)^{\frac{\alpha}{2}} \|u\|_H \|v\|_H$$
 (2.35)

$$\|\partial_x^i B_{\sigma}(u, v)\|_{(m, \infty)} \le C(T - \sigma)^{\frac{\alpha}{2}} \|u\|_H \|v\|_H,$$
 (2.36)

 $\forall i$, tal que, $0 \le i \le n-1$.

Por outro lado, para a n-ésima derivada temos

$$\partial_x^n B_{\sigma}(u,v) = \partial_x (\partial_x^{n-1} B_{\sigma}(u,v)) = \partial_x (B_{\sigma}(u,\partial_x^{n-1} v) + \dots + B_{\sigma}(\partial_x^{n-1} u,v))$$

$$= \sum_{i+j=n-1} \int_{\sigma}^t \partial_x \nabla S(t-s) \mathbb{P}(\partial^i u \otimes \partial^j v)(s,x) ds.$$

Pela estimativa do semi-grupo S(t) (Lema 2.1 com k=2), a continuidade do projetor de Leray e a Desigualdade Generalizada de Hölder (1.28)

$$\begin{aligned} \|\partial_{x}^{n}B_{\sigma}(u,v)(t,x)\|_{(q,\infty)} & \leq & C \sum_{i+j=n-1} \int_{\sigma}^{t} (t-s)^{\frac{\alpha}{2}-\frac{3}{2}} \|\partial_{x}^{i}u(s)\|_{(q,\infty)} \|\partial_{x}^{j}v(s)\|_{(q,\infty)} ds \\ & \leq & C(t-\sigma)^{\frac{\alpha}{2}-\frac{1}{2}} \sum_{i+j=n-1} \sup_{t \in (\sigma,T)} \|\partial_{x}^{i}u(s)\|_{(q,\infty)} \sup_{t \in (\sigma,T)} \|\partial_{x}^{j}v(s)\|_{(q,\infty)}. \end{aligned}$$

e analogamente,

$$\|\partial_{x}^{n}B_{\sigma}(u,v)(t,x)\|_{(m,\infty)} \leq C(t-\sigma)^{\frac{\alpha}{2}-\frac{1}{2}} \sum_{i+j=n-1} \sup_{t \in (\sigma,T)} \|\partial_{x}^{i}u(s)\|_{(m,\infty)} \sup_{t \in (\sigma,T)} \|\partial_{x}^{j}v(s)\|_{(q,\infty)}.$$

Logo,

$$\sup_{t \in (\sigma,T)} (t - \sigma)^{\frac{1}{2}} \|\partial_x^n B_{\sigma}(u,v)(t,x)\|_{(q,\infty)} \le C(T - \sigma)^{\frac{\alpha}{2}} \|u\|_H \|v\|_H$$
 (2.37)

$$\sup_{t \in (\sigma,T)} (t - \sigma)^{\frac{1}{2}} \|\partial_x^n B_{\sigma}(u, v)(t, x)\|_{(m,\infty)} \le C(T - \sigma)^{\frac{\alpha}{2}} \|u\|_H \|v\|_H.$$
 (2.38)

Assim, por (2.35) e (2.36), (2.37) e (2.38), existe K > 0, tal que,

$$||B_{\sigma}(u,v)||_{H} \leq K(T-\sigma)^{\frac{\alpha}{2}}||u||_{H}||v||_{H},$$

para todo $u, v \in H$.

Escolhendo $T - \sigma$ suficientemente pequeno, pelo Lema 2.8, segue que existe uma solução u(t,x) em H da equação integral (2.32).

Como o conjunto $(0,\infty)$ é um aberto da reta, podemos escrever

$$(0,\infty) = \bigcup_{j=1}^{\infty} (\sigma_j, T_j).$$

Por unicidade, a solução $u \in H$ da equação integral (2.32) coincide com a do Teorema 2.5 e

$$\partial_x^i u \in \mathscr{C}((0,\infty),\mathscr{L}(m,\infty) \cap \mathscr{L}(p,\infty)).$$

O argumento por indução na derivada temporal é semelhante ao feito para a derivada espacial e assim concluímos a prova.

2.2 Soluções brandas globais em \mathcal{L}^p

2.2.1 Boa-Colocação em \mathcal{L}^p

Nesta seção, desejamos mostrar uma versão do Teorema 2.5 nos espaços de Lebesgue \mathcal{L}^p . Como anteriormente, difiniremos os espaços funcionais adequados nos quais iremos procurar as soluções para as equações de Navier-Stokes incomprensível em \mathbb{R}^m (2.3).

Definição 2.13. Sejam m > 1 e $1 \le p, q < \infty$. Os espaços de Banach \widetilde{F} , \widetilde{F}_q e $\widetilde{F}_{q,p}$ são o cunjunto de todas funçõs vetoriais $u: (0, \infty) \times \mathbb{R}^m \to \mathbb{R}^m$, tais que,

- $\widetilde{F} = \{u : u \in BC((0, \infty), \mathcal{L}^m(\mathbb{R}^m)), \nabla \cdot u = 0\},\$
- $\bullet \ \widetilde{F}_q = \{u(t,x) \in \widetilde{F} \ ; \ t^{\frac{\alpha}{2}}u(t,x) \in BC((0,\infty), \mathcal{L}^q(\mathbb{R}^m))\},$
- $\widetilde{F}_{q,p} = \{ u(t,x) \in \widetilde{F}_q : u(t,x) \in BC((0,\infty), \mathcal{L}^p(\mathbb{R}^m)) \},$

cujas normas são dadas por

$$\begin{aligned} \|u\|_{\widetilde{F}} &= \sup_{t>0} \|u(t)\|_{\mathscr{L}^{m}}. \\ \|u\|_{\widetilde{F}_{q}} &= \sup_{t>0} t^{\frac{\alpha}{2}} \|u(t)\|_{q} + \|u\|_{\widetilde{F}}. \\ \|u\|_{\widetilde{F}_{q,p}} &= \|u\|_{\widetilde{F}_{q}} + \sup_{t>0} \|u(t)\|_{p}. \end{aligned}$$

A seguir, daremos a definição precisa de soluções brandas em espaços \mathcal{L}^p . A definição é a mesma dos espaços \mathcal{L}^p -fraco, com a diferença que agora exigimos a convergência forte para o dado inicial. Deixe-nos observar que é razoável, esperar que essa condição mais forte seja satisfeita. Os motivos, são que o núcleo do calor é uma aproximação da identidade em \mathcal{L}^p , e que \mathcal{L}^p tem "bons" subconjuntos densos (ver Lema 2.17 abaixo).

Definição 2.14. Seja u = u(t,x) uma função vetorial em \widetilde{F}_q . Dizemos que u é uma solução branda global, quando ela satisfazer a equação integral

$$u(t,x) = S(t)a_0 - \int_0^t \nabla S(t-s) \mathbb{P}(u \otimes u)(s,x) ds$$
 (2.39)

e, se

$$u(t,x) \rightarrow a_0$$
, quando $t \rightarrow 0^+$,

onde o limite é tomado na norma $\|\cdot\|_m$ de \mathcal{L}^m .

O próximo teorema pode ser encontrado em [13, Seção 1, Teoremas 2 e 4].

Teorema 2.15. (Existência e unicidade) Sejam $m < q < \infty$ e $a_0 \in \mathcal{L}^m$. Existem $\varepsilon > 0$ e C > 0 tais que se $||a_0||_m < \varepsilon$, então o problema de valor inicial (2.3) tem uma solução branda global $u(t,x) \in \widetilde{F}_q$ tal que $||u||_{\widetilde{F}_q} \leq 2C\varepsilon$. Além disso, esta solução é única na bola fechada $\overline{B}_{2C\varepsilon}(0)$ de \widetilde{F}_q e satisfaz

$$\lim_{t \to 0^+} t^{\frac{\alpha}{2}} \|u(t, x)\|_q = 0. \tag{2.40}$$

Seja $a_0 \in \mathcal{L}^m \cap \mathcal{L}^p$, com $1 , existe <math>0 < \varepsilon_p < \varepsilon$, tal que, se $||a_0||_m < \varepsilon_p$, então a solução u(t,x) tem a propriedade adicional

$$u(t,x) \in BC((0,\infty), \mathcal{L}^p).$$

Observação 2.16. (Regularidade) Desde que \mathcal{L}_m está incluso em $\mathcal{L}(m,\infty)$ e temos a unicidade de soluções, a solução u, do Teorema 2.15, é a mesma solução com condição inicial a_0 , do Teorema 2.5. Portanto, podemos aplicar o Teorema 2.6 para as soluções do Teorema 2.15 desde que ε seja suficientemente pequeno. Assim, a solução u do Teorema 2.15 possui todas as derivadas, no tempo e no espaço, no sentido clássico, para todo t > 0.

Antes da prova do Teorema 2.15, precisaremos do seguinte lema:

Lema 2.17. Sejam $m < q < \infty$, $a_0 \in \mathcal{L}^m$ e $\frac{\alpha}{2} = \frac{1}{2} - \frac{m}{2q}$. Então

$$\sup_{t>0} t^{\frac{\alpha}{2}} \|S(t)a_0\|_q \le C \|a_0\|_m, \ \sup_{t>0} \|S(t)a_0\|_m \le \|a_0\|_m$$
 (2.41)

$$\lim_{t \to 0^+} t^{\frac{\alpha}{2}} \|S(t)a_0\|_q = 0, \ \lim_{t \to 0^+} \|S(t)a_0 - a_0\|_m = 0.$$
 (2.42)

Demonstração. A desigualdade (2.41) é facilmente provada através da versão em espaços de Lebesgue \mathcal{L}^r (ver Observação 2.2). Logo, tomando k=0, r=q e p=m e depois k=0, r=p=m na desigualdade (2.13), obtemos, respectivamente,

$$||S(t)a_0||_q \le C t^{-\frac{\alpha}{2}} ||a_0||_m, ||S(t)a_0||_m \le ||a_0||_m, \tag{2.43}$$

e as desigualdades (2.41) seguem das estimativas (2.43).

(2.42) não é verdadeira. Isto é,

Agora vamos mostrar (2.42). Pela Observação 2.2, temos que $\{g(t,x)\}_{t>0}$ é uma aproximação da identidade em \mathscr{L}^m ; então $S(t)a_0 \to a_0$, quando $a_0 \in \mathscr{L}^m$. Para concluir (2.42), falta mostrar a convergência para zero da norma q. Como $\mathscr{L}^m \cap \mathscr{L}^q$ é denso em \mathscr{L}^q , existe uma sequência, $\{a_{0,k}\}$ em $\mathscr{L}^m \cap \mathscr{L}^q$, tal que, $a_{0,k} \to a_0$ em \mathscr{L}^m . aplicando a desigualdade (2.13) com r = p = q, obtemos $||S(t)a_{0,k}||_q \le C||a_{0,k}||_q$, quando $a_{0,k} \in \mathscr{L}^q$. Logo, $\lim_{t\to 0^+} t^{\frac{\alpha}{2}} ||S(t)a_{0,k}||_q \le C \lim_{t\to 0^+} t^{\frac{\alpha}{2}} ||a_{0,k}||_q = 0$. Mas, pela desigualdade (2.43), temos $t^{\frac{\alpha}{2}} ||S(t)a_{0,k}||_q \in BC((0,\infty),\mathscr{L}^q)$ e

$$\lim_{k \to \infty} t^{\frac{\alpha}{2}} \|S(t)a_{0,k} - S(t)a_0\|_q = \lim_{k \to \infty} t^{\frac{\alpha}{2}} \|S(t)(a_{0,k} - a_0)\|_q$$
$$= C \lim_{k \to \infty} \|a_{0,k} - a_0\|_m = 0.$$

Ou seja, a convergência da sequência $\{t^{\frac{\alpha}{2}}\|S(t)a_{0,k}\|_q\}_k$ é uniforme em t. Portanto, podemos comutar o limite e obter

$$\lim_{t \to 0^+} t^{\frac{\alpha}{2}} \|S(t)a_0\|_q = \lim_{k \to \infty} (\lim_{t \to 0^+} t^{\frac{\alpha}{2}} \|S(t)a_{0,k}\|) = 0.$$

Observação 2.18. Para um dado arbitrário $a_0 \in \mathcal{L}(m,\infty)$, a versão fraca da igualdade

$$\lim_{t \to 0^+} t^{\frac{\alpha}{2}} \|S(t)a_0\|_{(q,\infty)} \neq 0, \ \lim_{t \to 0^+} \|S(t)a_0 - a_0\|_{(m,\infty)} \neq 0. \tag{2.44}$$

De fato, suponha que $\lim_{t\to 0^+} t^{\frac{\alpha}{2}} \|S(t)a_0\|_{(q,\infty)} = 0$ seja válida. Considere $a_0(x) = \frac{1}{|x|} \in \mathcal{L}(m,\infty)$ e $u_1(t,x) = S(t)a_0(x) = g(t,x)*a_0$. Usando a propriedade de homogeneidade do núcleo do calor (2.9) obtemos, $u_1(t,x) = \lambda u_1(\lambda^2 t, \lambda x)$ (ver detalhes na demonstração do Teorema 3.2). Usando $\lambda = t^{-\frac{1}{2}}$ e a relação de escala em espaços de Lorentz (1.18), temos

$$\begin{split} 0 &= \lim_{t \to 0^+} t^{\frac{\alpha}{2}} \|u_1(t,x)\|_{(q,\infty)} &= \lim_{t \to 0^+} t^{\frac{\alpha}{2}} \lambda \|u_1(\lambda^2 t, \lambda x)\|_{(q,\infty)} \\ &= \lim_{t \to 0^+} t^{\frac{\alpha}{2} - \frac{1}{2} + \frac{m}{2q}} \|u_1(1,x)\|_{(q,\infty)} \\ &= \lim_{t \to 0^+} \|u_1(1,x)\|_q = \|u_1(1,x)\|_{(q,\infty)}. \end{split}$$

Assim, $u_1(1,x) = 0$ q.t.p. E obtem-se uma contradição, pois a_0 e g(t,x) são não nulas, no entanto, $g(t,x)*a_0 = u_1(t,x) = t^{-\frac{1}{2}}u_1(1,t^{-\frac{1}{2}}x) = 0$, para t > 0 e $x \in \mathbb{R}^m$. A contradição para igualdade envolvendo a norma $\|\cdot\|_{(m,\infty)}$ segue exatamente nas mesmas linhas.

2.2.2 Demonstração do Teorema 2.15

Existência e unicidade em \widetilde{F}_q

Primeiro, deixe-nos observar que o projetor de Leray, \mathbb{P} , é contínuo nos espaços de Lebesgue \mathscr{L}^r . Isso é uma consequência da continuidade da j-transformada de Riesz em \mathscr{L}^r (ver Proposição 1.36 e Definição 2.1).

Para demonstrar o Teorema 2.15 procedemos como no Teorema 2.5. Primeiro comecemos com a continuidade do operador bilinear $B(u,v)(t,x) = -\int_0^t \nabla S(t-s)\mathbb{P}(u\otimes v)(s,x)ds$ sobre o espaço \widetilde{F}_q . De fato, podemos mostrar uma versão do Lema 2.9 para os espaços de Lebesgue \mathcal{L}^r . Isto é, as desigualdades (2.22)-(2.24) continuam verdadeiras, com as normas \mathcal{L}^p -fraco substituidas pelas normas em \mathcal{L}^p . A prova é exatamente a mesma do Lema 2.9, com as seguintes excessões: Usa-se a estimativa (2.11) de \mathcal{L}^p - \mathcal{L}^r (ver Observação 2.2) em vez de $\mathcal{L}(p,\infty)$ - $\mathcal{L}(r,\infty)$, e usamos a Desigualdade de Hölder em \mathcal{L}^p em vez da desigualdade de Hölder em $\mathcal{L}(p,\infty)$ (ver 1.28).

Por outro lado, o Lema 2.17 mostra que podemos controlar a norma em \widetilde{F}_q , da parte linear da equação integral (2.14), pela norma do dado inicial em \mathcal{L}^m . Portanto, podemos aplicar o Lema 2.8 com $X = \widetilde{F}_q$ e obter a existência e unicidade de solução para a formulação integral (2.14), assumindo que a norma $\|\cdot\|_m$ do dado inicial a_0 é suficientemente pequena.

Se assumirmos que $a_0 \in \mathcal{L}^m \cap \mathcal{L}^p$ e usarmos a versão em \mathcal{L}^p da estimativa (2.23), pode-se mostrar, exatamente como no caso \mathcal{L}^p -fraco, que a solução obtida $u(t,x) \in BC((0,\infty),\mathcal{L}^p)$. Para concluir a demonstração do Teorema 2.15, ainda falta mostrar que a solução converge em \mathcal{L}^m para o dado inicial, quando $t \to 0^+$ e que a solução de fato está em \widetilde{F}_q^0 , isto é, $\lim_{t\to 0^+} t^{\frac{\alpha}{2}} \|u(t,x)\|_q = 0$. Com efeito, pelo Lema 2.17, temos

$$\lim_{t\to 0^+} t^{\frac{\alpha}{2}} \|S(t)a_0\|_q = 0 \text{ e } \lim_{t\to 0^+} \|S(t)a_0 - a_0\|_m = 0.$$

Portanto, mostraremos apenas que

$$\lim_{t \to 0^{+}} t^{\frac{\alpha}{2}} \|B(u, u)(t, x)\|_{q} = 0 \text{ e } \lim_{t \to 0^{+}} \|B(u, u)(t, x)\|_{m} = 0.$$
 (2.45)

Desde que a solução u é o limite da sequência $(u_k)_k$,

$$\begin{cases} u_1(t,x) = S(t)a_0 \\ u_{k+1}(t,x) = u_1(t,x) + B(u_k,u_k)(t,x), \end{cases}$$
 (2.46)

em \widetilde{F}_q , isto é, o limite é tomado na norma $\sup_{t>0} \|\cdot\|_m + \sup_{t>0} t^{\frac{\alpha}{2}} \|\cdot\|_q$, é suficiente mostrar (2.45) para elementos da sequência (u_k) . Para k=1, pela versão em \mathscr{L}^p da estimativa (2.23) do Lema 2.9, obtemos

$$\lim_{t \to 0^{+}} t^{\frac{\alpha}{2}} \|B(u_{1}, u_{1})(t, x)\|_{q} \le K_{2} \left(\lim_{t \to 0^{+}} \sup_{0 < s < t} s^{\frac{\alpha}{2}} \|u_{1}(s, x)\|_{q} \right)^{2}. \tag{2.47}$$

Usando a desigualdade (2.42) do Lema 2.17, tem-se que $\lim_{t\to 0^+} t^{\frac{\alpha}{2}} \|B(u_1,u_1)\|_q = 0$. Agora assuma a igualdade (2.45) para u_k . Usando a hipótese de indução, a igualdade (2.41) e $u_{k+1} = u_1 + B(u_k, u_k)$, é fácil ver que $\lim_{t\to 0^+} t^{\frac{\alpha}{2}} \|u_{k+1}\|_q = 0$. Portanto, exatamente como no caso k = 1, desigualdade (2.47), concluímos que

$$\lim_{t\to 0^+} t^{\frac{\alpha}{2}} \|B(u_{k+1}, u_{k+1})(t, x)\|_q = 0.$$

Agora vamos tratar com a segunda igualdade em (2.45). Pela estimativa (2.22) do Lema 2.9 (Versão em \mathcal{L}^p), temos que

$$||B(u,u)(t,x)||_m \le K_1 \sup_{0 < s < t} ||u(s,x)||_m \sup_{0 < s < t} s^{\frac{\alpha}{2}} ||u(s,x)||_q.$$

Logo

$$\lim_{t\to 0^+} \|B(u,u)(t,x)\|_m \le C \lim_{t\to 0^+} \sup_{0 < s < t} s^{\frac{\alpha}{2}} \|u(s,x)\|_q,$$

onde $C = K_1 \sup_{0 < s < t} \|u(s, x)\|_m < \infty$. Como

$$\lim_{s \to 0^+} s^{\frac{\alpha}{2}} \| u(s, x) \|_q = 0,$$

concluímos a demonstração.

2.3 Soluções brandas locais em $\mathscr{L}^p(\mathbb{R}^m)$

O principal objetivo desta seção é estabelecer condições sobre os espaços \mathcal{L}^p para existência de soluções brandas locais para a equação integral (2.14) com 0 < t < T. Diferente do teorema de existência de soluções globais em \mathcal{L}^p (Teorema 2.5), a existência local não segue imediatamente dos argumentos do teorema de existência em \mathcal{L}^p -fraco. A diferença essencial é que agora aplicaremos o Lema 2.8 em um subespaço de $\widetilde{F}_{q,T}$ (ver definição abaixo) e posteriormente, mostraremos que a sequência de Picard associada também converge para a solução u(t,x) na norma $\sup_{0 < t < T} \|\cdot\|_m$.

Definição 2.19. Sejam $1 < m < q < \infty$, $\frac{\alpha}{2} = \frac{1}{2} - \frac{m}{2q}$ e T > 0. O espaço de Banach $\widetilde{F}_{q,T}$ é o espaço de todas as funções vetoriais $u(t,\dot):\mathbb{R}^m \to \mathbb{R}^m$ com 0 < t < T, tal que,

$$u(t,x) \in BC([0,T), \mathcal{L}^m)$$
 e $t^{\frac{\alpha}{2}}u(t,x) \in BC([0,T), \mathcal{L}^q)$,

a norma em $\widetilde{F}_{q,T}$ é dada por:

$$||u||_{\widetilde{F}_{q,T}} = \sup_{0 < t < T} t^{\frac{\alpha}{2}} ||u(t,x)||_q + \sup_{0 < t < T} ||u(t,x)||_m.$$

A seguir, daremos a definição precisa de soluções brandas locais em espaços \mathcal{L}^p .

Definição 2.20. Seja u = u(t,x) uma função em $\widetilde{F}_{q,T}$. Dizemos que u é uma solução branda local, quando ela satisfazer a equação integral

$$u(t,x) = S(t)a_0 - \int_0^t \nabla S(t-s) \mathbb{P}(u \otimes u)(s,x) ds \quad \forall \ 0 < t < T$$
 (2.48)

e, se

$$u(t,x) \rightarrow a_0$$
 quando $t \rightarrow 0^+$,

onde o limite é tomado na norma $\|\cdot\|_m$ de \mathscr{L}^m .

Observemos, pelo Lema 2.17, que a parte linear da equação integral (2.48) é dominada pela norma do dado inicial a_0 . Além disso, o próximo lema garante que a parte não linear da equação (2.48) é contínua sobre o espaço $\widetilde{F}_{q,\tau}$.

Lema 2.21. Sejam $q' \le p < \infty$, $m < q < \infty$ e $u, v \in \widetilde{F}_{q,T}$. Então

$$\|B(u,v)(t,x)\|_{m} \le \widetilde{K}_{1} \sup_{0 < t < T} \|u(t,x)\|_{m} \sup_{0 < t < T} t^{\frac{\alpha}{2}} \|v(t,x)\|_{q}$$
 (2.49)

$$||B(u,v)(t,x)||_{m} \leq \widetilde{K}_{1} \sup_{0 < t < T} ||u(t,x)||_{m} \sup_{0 < t < T} t^{\frac{\alpha}{2}} ||v(t,x)||_{q}$$

$$t^{\frac{\alpha}{2}} ||B(u,v)(t,x)||_{q} \leq \widetilde{K}_{2} \sup_{0 < t < T} t^{\frac{\alpha}{2}} ||u(t,x)||_{q} \sup_{0 < t < T} t^{\frac{\alpha}{2}} ||v(t,x)||_{q}$$

$$||B(u,v)(t,x)||_{p} \leq \widetilde{K}_{3} \sup_{0 < t < T} ||u(t,x)||_{p} \sup_{0 < t < T} t^{\frac{\alpha}{2}} ||v(t,x)||_{q},$$

$$(2.50)$$

$$||B(u,v)(t,x)||_p \le \widetilde{K}_3 \sup_{0 < t < T} ||u(t,x)||_p \sup_{0 < t < T} t^{\frac{\alpha}{2}} ||v(t,x)||_q,$$
 (2.51)

onde \widetilde{K}_1 , \widetilde{K}_2 , \widetilde{K}_3 são constantes independentes de u e T > 0.

Demonstração. A demonstração do Lema 2.21 é exatamente a mesma do Lema 2.9, a única diferença é que agora tomamos o supremo na variável t no intervalo (0,T), e tomamos as normas \mathcal{L}^p em vez das normas em \mathcal{L}^p -fraco.

O próximo teorema pode ser encontrado em [13, Seção 1, Teoremas 1 e 3].

Teorema 2.22. (Soluções Locais) Sejam $a_0 \in \mathcal{L}^m$ e $m < q < \infty$. Existe T > 0, tal que, o problema de valor inicial (2.3) tem uma solução branda local, u(t,x) em $\widetilde{F}_{q,T}$. Além disso, quando assumimos $a_0 \in \mathcal{L}^p$, a solução u tem a propriedade adicional de está em $BC([0,T),\mathcal{L}^p).$

Demonstração do Teorema 2.22

Assumindo $a_0 \in \mathcal{L}^m$, vamos provar que existe $T_1 > 0$ e $\varepsilon_1 > 0$ suficientemente pequeno e uma única solução para equação integral (2.48), tal que,

$$\lim_{t \to 0} t^{\frac{\alpha}{2}} \|u(t, x)\|_{q} = 0 \quad \text{e} \quad \sup_{0 < t < T_{1}} t^{\frac{\alpha}{2}} \|u(t, x)\|_{q} < 2\varepsilon_{1}. \tag{2.52}$$

Seja $H_{\mathcal{E}_1,T_1}=\{u:\|u\|_{H_{\mathcal{E}_1,T_1}}<2\mathcal{E}_1\}$ um subespaço de $\widetilde{F}_{q,T}$, onde a norma $\|\cdot\|_{H_{\mathcal{E}_1,T_1}}$ é dada por

$$||u||_{H_{\varepsilon_1,T_1}} = \sup_{0 < t < T_1} t^{\frac{\alpha}{2}} ||u(t,x)||_q.$$

Como $a_0 \in \mathcal{L}^m$, usando a desigualdade (2.42) do Lema 2.17, para cada $\varepsilon_1 > 0$, podemos encontrar T_1 suficientemente pequeno, tal que

$$\sup_{0 < t < T_1} t^{\frac{\alpha}{2}} \|S(t)a_0\|_q < 2\varepsilon_1,$$

isto é, o espaço $H_{\mathcal{E}_{1,T_{1}}}$ não é vazio.

Assim, escolhendo ε_1, T_1 suficientemente pequenos, a desigualdade (2.50) do Lema 2.21 garante que o operador bilinear B é contínuo sobre o espaço H_{ε_1,T_1} . Aplicando o Lema 2.8, com $X = H_{\varepsilon_1,T_1}$ e $y = S(t)a_0$, existe uma solução u(t,x) da equação integral (2.48) em H_{ε_1,T_1} . A igualdade em (2.52) segue exatamente como no Teorema 2.15 (ver pg. 55).

Para finalizar a prova, precisamos mostrar que a solução $u \in BC([0,T), \mathcal{L}_m)$ para algum $0 < T \le T_1$. A demonstração é semelhante à feita no item(ii) do Teorema 2.5, escolha, $0 < \varepsilon \le \varepsilon_1$ e $0 < T \le T_1$, tal que, $2\widetilde{K}_1 \varepsilon < 1$ e $\sup_{0 < t < T} t^{\frac{\alpha}{2}} \|a_0\|_q \le 2\varepsilon$. Pelo Lema 2.8 sabemos que a solução u pode ser obtida através da seguinte sequência recursiva:

$$\begin{cases} u_1(t,x) = S(t)a_0 \\ u_{k+1}(t,x) = u_1(t,x) + B(u_k,u_k)(t,x), & (k \in \mathbb{N}) \end{cases}$$
 (2.53)

usando a desigualdade (2.13) da Observação 2.2, com $k=0, r=m, d_1=d_2=\infty$ e a desigualdade (2.49) do Lema 2.21, obtemos

$$||u_{1}(t)||_{m} \leq ||a_{0}||_{m}$$

$$||u_{k+1}(t,x)||_{m} \leq ||u_{1}(t,x)||_{m} + ||B(u_{k},u_{k})(t,x)||_{m}$$

$$\leq ||a_{0}||_{m} + \widetilde{K}_{1} \sup_{0 < t < T} t^{\frac{\alpha}{2}} ||u_{k}(t,x)||_{q} \sup_{0 < t < T} ||u_{k}(t,x)||_{m}.$$

Assim, podemos escrever

$$\sup_{0 < t < T} \|u_{k+1}(t,x)\|_{m} \leq \|a_{0}\|_{m} + 2\widetilde{K}_{1}\varepsilon \sup_{0 < t < T} \|u_{k}(t,x)\|_{m}.$$

Denotando $M_0 = \|a_0\|_m$ e $M_k = \sup_{0 < t < T} \|u_k(t,x)\|_m$, a sequência $(M_k)_{k \in \mathbb{N}}$ satisfaz

$$M_{k+1} \leq M_0 + 2\widetilde{K}_1 \varepsilon M_k$$
.

Tomando $r = 2\widetilde{K}_1 \varepsilon < 1$, temos

$$M_k \le (1 + r + \dots + r^k) M_0 \le \frac{1}{1 - r} M_0.$$

Denote $w_{k+1} = u_{k+1} - u_k = B(w_k, u_k) + B(u_k, w_k)$, novamente, pela desigualdade (2.49), obtemos

$$\sup_{0 < t < T} \|w_{k+1}(t,x)\|_{m} \leq 2\widetilde{K}_{1} \sup_{0 < t < T} \|u_{k}(t,x)\|_{m} \sup_{0 < t < T} t^{\frac{\alpha}{2}} \|w_{k}(t,x)\|_{q}$$

$$\leq 2\widetilde{K}_{1} \frac{1}{1-r} M_{0} \sup_{0 < t < T} t^{\frac{\alpha}{2}} \|w_{k}(t,x)\|_{q}.$$

Como $\lim_{k\to\infty}\sup_{0< t< T}t^{\frac{\alpha}{2}}\|w_{k+1}(t,x)\|_q=\lim_{k\to\infty}\sup_{0< t< T}t^{\frac{\alpha}{2}}\|u_{k+1}(t,x)-u_k(t,x)\|_q=0$, então a sequência (u_k) é de Cauchy em $BC([0,T);\mathscr{L}^m)$, e por unicidade do limite q.t.p, o limite desta sequência é a solução $u\in BC([0,T);\mathscr{L}^m)$.

Capítulo 3

Soluções auto-similares e Comportamento assintótico

Neste capítulo investigaremos o comportamento assintótico das soluções obtidas no capítulo anterior. Mostraremos que um tipo especial de solução, as chamadas soluções auto-similares, descreve o comportamento do sistema (2.3). Deixe-nos primeiramente, começar com algumas motivações e considerações formais.

Assuma que u(t,x) é uma solução clássica (suave) das equações de Navier-Stokes (2.3), então $u_{\lambda}(t,x) = \lambda u(\lambda^2 t, \lambda x)$ também é uma solução do sistema (2.3). De fato, usando regra da cadeia, temos

$$\frac{\partial u_{\lambda}}{\partial t}(t,x) = \lambda^{3} \frac{\partial u}{\partial t}(\lambda^{2}t,\lambda x)$$

$$\mathbb{P}(u_{\lambda} \cdot \nabla_{x}u_{\lambda})(t,x) = \lambda^{3} \mathbb{P}(u \cdot \nabla_{x}u)(\lambda^{2}t,\lambda x)$$

$$(-\Delta u_{\lambda})(t,x) = \lambda^{3}(-\Delta u)(\lambda^{2}t,\lambda x).$$

Logo, somando as últimas igualdades e usando que u(t,x) é solução de (2.3), é imediato que, $u_{\lambda}(t,x)$ é também uma solução de (2.3), para todo $\lambda > 0$. Esta consideração motiva a seguinte definição:

Definição 3.1. (Solução auto-similar) Seja u = u(t,x) uma solução branda do sistema (2.3). Dizemos que esta solução é auto-similar, quando ela satisfaz a seguinte propriedade

$$u(t,x) = u_{\lambda}(t,x),\tag{3.1}$$

para todo $t > 0, x \in \mathbb{R}^m$ e $\lambda > 0$.

A propriedade (3.1) é chamada a relação de escala, do inglês "scalling", da Equação de Navier-Stokes (2.3). Voltando às considerações formais, se fizermos $t \to 0^+$ em (3.1), devemos esperar que u(0,x) seja uma função homogênea de grau -1. De fato, quando t = 0,

temos $u_0(\lambda x) = u(0,\lambda x) = \lambda^{-1}u(0,x) = \lambda^{-1}u_0(x)$. Isto nos indica que espaços adequados para se encontrar soluções auto-similares, são os que contém funções homogêneas. Por exemplo, os espaços de Marcinkiewicz $\mathcal{L}(\frac{m}{\delta},\infty)$ ($\delta>0$) são os únicos espaços de Lorentz que contém funções homogêneas de grau $-\delta$, em particular, a função $h(x) = \frac{1}{\|x\|^{\delta}}$. Por outro lado, se desejarmos obter soluções auto-similares de (2.3) em certos espaços funcionais, as normas destes devem ser, necessariamente, invariantes pela relação de escala (3.1). Nesse sentido, o espaço funcional F_q foi bem escolhido. De fato, usando a relação de escala em espaços de Lorentz (1.18)(ver preliminares) e relembrando que $\alpha=1-\frac{m}{q}$, obtemos

$$\begin{split} \|u_{\lambda}(t,x)\|_{F_{q}} &= \sup_{t>0} \|u_{\lambda}(t,x)\|_{(m,\infty)} + \sup_{t>0} t^{\frac{\alpha}{2}} \|u_{\lambda}(t,x)\|_{(q,\infty)} \\ &= \sup_{t>0} \lambda \|u(\lambda^{2}t,\lambda x)\|_{(m,\infty)} + \sup_{t>0} t^{\frac{\alpha}{2}} \lambda \|u(\lambda^{2}t,\lambda x)\|_{(q,\infty)} \\ &= \sup_{t>0} \lambda \lambda^{-\frac{m}{m}} \|u(\lambda^{2}t,x)\|_{(m,\infty)} + \sup_{t>0} (\lambda^{2}t)^{\frac{\alpha}{2}} \lambda^{-\alpha} \lambda^{1-\frac{m}{q}} \|u(\lambda^{2}t,x)\|_{(q,\infty)} \\ &= \sup_{t>0} \|u(\lambda^{2}t,x)\|_{(m,\infty)} + \sup_{t>0} (\lambda^{2}t)^{\frac{\alpha}{2}} \|u(\lambda^{2}t,x)\|_{(q,\infty)} \\ &= \sup_{t>0} \|u(t,x)\|_{(m,\infty)} + \sup_{t>0} t^{\frac{\alpha}{2}} \|u(t,x)\|_{(q,\infty)} \\ &= \|u(t,x)\|_{F_{q}}. \end{split}$$

A seguir enunciaremos, precisamente, o teorema sobre a existência de soluções autosimilares em F_q . Este teorema pode encontrado em [2, Seção 2, Teorema 2].

Teorema 3.2. Sejam $a_0 \in \mathcal{L}(m,\infty)$ e $\varepsilon > 0$ do Teorema 2.5, tal que, $||a_0||_{(m,\infty)} < \varepsilon$. Se a_0 é uma função homegênea de grau -1, ou seja, $a_0(\lambda x) = \lambda^{-1}a_0(x)$, então a solução branda global u(t,x) do Teorema 2.5 é auto-similar.

Demonstração. Primeiro relembramos que a solução u obtida no Teorema 2.5 é o limite da seguinte sequência de Picard :

$$\begin{cases} u_1(t,\cdot) = S(t)a_0 \\ u_{k+1}(t,\cdot) = u_1(t,\cdot) + B(u_k, u_k)(t,\cdot), \end{cases}$$
 (3.2)

isto é, o limite de u_k em F_q é o ponto fixo u da aplicação $f(u) = y + \mathcal{B}(u,u)$.

Observe que $u_1(t,x)$ satisfaz a relação de escala (3.1). Com efeito, usando a propriedade (2.9) do núcleo g(t,x) e a hipótese de homogeneidade do dado inicial, temos

que

$$u_{1}(\lambda^{2}t,\lambda x) = \int_{\mathbb{R}^{m}} g(\lambda^{2}t,\lambda x - y)a_{0}(y)dy$$

$$= \int_{\mathbb{R}^{m}} g(\lambda^{2}t,\lambda(x-\lambda^{-1}y))a_{0}(y)dy$$

$$= \int_{\mathbb{R}^{m}} \lambda^{-m}g(t,x-\lambda^{-1}y)a_{0}(y)dy$$

$$= \int_{\mathbb{R}^{m}} g(t,x-z)a_{0}(\lambda z)dz$$

$$= \lambda^{-1} \int_{\mathbb{R}^{m}} g(t,x-z)a_{0}(z)dz = \lambda^{-1}u_{1}(t,x).$$

Agora, vamos aplicar um argumento por indução. Assuma que u_k satisfaça a relação de escala (3.1). Usando a propriedade de homogeneidade do núcleo g(t,x) (2.10) e fazendo a mudança de variável $s \to \lambda^2 s$ e $y \to \lambda y$, temos

$$B(u_{k}, u_{k})(\lambda^{2}t, \lambda x) = -\int_{0}^{\lambda^{2}t} \int_{\mathbb{R}^{m}} \nabla_{x}g(\lambda^{2}t - s, \lambda x - y) \mathbb{P}(u_{k} \otimes u_{k})(s, y) dy ds$$

$$= -\lambda^{2} \int_{0}^{t} \int_{\mathbb{R}^{m}} \nabla_{x}g(\lambda^{2}(t - s), \lambda x - y) \mathbb{P}(u_{k} \otimes u_{k})(\lambda^{2}s, y) dy ds$$

$$= -\lambda^{2} \int_{0}^{t} \int_{\mathbb{R}^{m}} \lambda^{m} \nabla_{x}g(\lambda^{2}(t - s), \lambda(x - y)) \mathbb{P}(u_{k} \otimes u_{k})(\lambda^{2}s, \lambda y) dy ds$$

$$= -\lambda^{2} \int_{0}^{t} \int_{\mathbb{R}^{m}} \lambda^{m - m - 1} \nabla_{x}g(t - s, x - y) \lambda^{-2} \mathbb{P}(\lambda u_{k} \otimes \lambda u_{k})(\lambda^{2}s, \lambda y) dy ds$$

$$= -\lambda^{2} \int_{0}^{t} \int_{\mathbb{R}^{m}} \lambda^{-1} \nabla_{x}g(t - s, x - y) [\lambda^{-2}] \mathbb{P}(u_{k} \otimes u_{k})(s, y) dy ds$$

$$= -\lambda^{-1} \int_{0}^{t} \int_{\mathbb{R}^{m}} \nabla_{x}g(t - s, x - y) \mathbb{P}(u_{k} \otimes u_{k})(s, y) dy ds$$

$$= \lambda^{-1} B(u_{k}, u_{k})(t, x).$$

Portanto,

$$u_{k+1}(\lambda^{2}t, \lambda x) = u_{1}(\lambda^{2}t, \lambda x) + B(u_{k}, u_{k})(\lambda^{2}t, \lambda x)$$
$$= \lambda^{-1}[u_{1}(t, x) + B(u_{k}, u_{k})(t, x)]$$
$$= \lambda^{-1}u_{k+1}(t, x).$$

Assim, as soluções brandas globais são obtidas como limite em F_q de uma sequência (u_k) , onde cada elemento satisfaz a propriedade de auto-similaridade (3.1). Logo, usando a

invariância da norma F_q , obtemos

$$\begin{aligned} \|u(t,x) - \lambda u(\lambda^{2}t,\lambda x,)\|_{F_{q}} &= \|u(t,x) - u_{k}(t,x) + u_{k}(t,x) - \lambda u(\lambda^{2}t,\lambda x,)\|_{F_{q}} \\ &\leq \|u(t,x) - u_{k}(t,x)\|_{F_{q}} + \|\lambda u_{k}(\lambda^{2}t,\lambda x) - \lambda u(\lambda^{2}t,\lambda x)\|_{F_{q}} \\ &= 2\|u(t,x) - u_{k}(t,x)\|_{F_{q}} \to 0, \end{aligned}$$

quando $k \to \infty$. Portanto verificamos que u(t,x)

$$u(t,x) = \lambda u(\lambda x, \lambda^2 t),$$

para todo $\lambda > 0, t > 0$ e $x \in \mathbb{R}^m$.

Observação 3.3. Desde que as soluções auto-similares são invariantes pela relação de escala (3.1), elas apresentam um perfil característico, o qual pode dar informações sobre propriedades qualitativas de possíveis singularidades; De fato, tomando, $\lambda = t^{-\frac{1}{2}}$ e U = u(1,x) temos

$$u(t,x) = \lambda u(\lambda^2 t, \lambda x) = t^{-\frac{1}{2}} u(1, t^{-\frac{1}{2}} x) = \frac{1}{\sqrt{t}} U\left(\frac{x}{\sqrt{t}}\right),$$

onde U = u(1,x) é o perfil característico.

3.1 Estimativas de Decaimento

Nesta seção, mostraremos que a norma \mathscr{L}^m da solução obtida no Teorema 2.15 vai a zero no infinito. Isso mostra que a norma \mathscr{L}^m da solução do Teorema 2.15 não é preservada pelo scaling (3.1) da equação; o que é um impedimento para a existência de solução auto-similar em espaços de Lebesgue \mathscr{L}^p . De fato, pelas considerações do ínicio do capítulo, de maneira informal, vimos que o dado inicial a_0 de uma solução auto-similar de (2.3) deve ser homogêneo de grau -1. Mais precisamente, seja u(t,x) solução branda auto-similar, tal que, $u(t,x) \rightarrow a_0$, por exemplo, no sentido de distribuição, quando $t \rightarrow 0^+$.

Então, para $\varphi \in C_c^{\infty}$, temos

$$\int u(t,x)\varphi(x)dx = \int \lambda u_{\lambda}(\lambda^{2}t,\lambda x)\varphi(x)dx$$

$$= \int \lambda^{1-m}u_{\lambda}(\lambda^{2}t,\lambda x)\varphi(\lambda x)dx$$

$$\to \int \lambda^{1-m}a_{0}(\lambda x)\varphi(\lambda x)dx$$

$$= \int \lambda a_{0}(\lambda x)\varphi(x)dx.$$

Isto é, $u_{\lambda}(t,x) \rightarrow \lambda a_0(\lambda x)$ no sentido de distribuição. Como $u(t,x) = u_{\lambda}(t,x)$, pela unicidade do limite no sentido fraco, temos $a_0(\lambda x) = \lambda^{-1}a_0(x)$, ou seja, o dado inicial é homogêneo de grau -1. Desde que, os espaços \mathcal{L}^p não contém qualquer função homogênea, concluímos que a única solução auto-similar em \mathcal{L}^p é a trivial, ou melhor, a solução nula. Isso mostra a necessidade de buscar um espaço maior ou mais adequado para encontrar soluções auto-similares, como por exemplo, os espaços de Marcinkiewicz $\mathcal{L}(p,\infty)$.

O próximo teorema é uma adaptação de [13, Seção 1, Teorema 4] para o contexto de Marcinkiewicz. Por outro lado, o Corolário 3.5 pode ser encontrado em [13, final da pg.480].

Teorema 3.4. Sejam p,q,m, tal que, $1 < p' < m < q < \infty$. Assuma que $a_0 \in \mathcal{L}(p,\infty) \cap \mathcal{L}(m,\infty)$ satisfaça as hipóteses do Teorema 2.5. Suponha que $1 , tal que, <math>\frac{1}{p} + \frac{1}{q} - \frac{1}{r} < \frac{1}{m}$, então a solução obtida no Teorema 2.5 satisfaz

$$t^{(\frac{m}{2p}-\frac{m}{2r})}u(t,x) \in BC((0,\infty), \mathcal{L}(r,\infty)).$$

Corolário 3.5. Seja $a_0(t,x) \in \mathcal{L}^m$ com norma suficietemente pequena. Se $1 < m < q < \infty$, então a solução do Teorema 2.5 satisfaz

$$\lim_{t\to\infty} \|u(t)\|_m = 0$$

Observação 3.6. O Corolário 3.5 nos diz que a norma $\|\cdot\|_m$ da solução u decai a zero quando $t \to \infty$. Como a norma $\|\cdot\|_m$ é invariante pela relação de escala (3.1), então o Corolário 3.5 fornece uma outra prova que a única solução auto-similar em \mathcal{L}^p é a solução nula.

3.1.1 Prova do teorema 3.4

Vimos que a solução do Teorema 2.5 satisfaz a equação integral

$$u(t,x) = S(t)a_0 - \int_0^t \nabla S(t-s) \mathbb{P}(u \otimes u)(s,x) ds$$
 (3.3)

$$= S(t)a_0 + B(u, u). (3.4)$$

Para mostrar

$$t^{(\frac{m}{2p}-\frac{m}{2r})}u(t,x) \in BC((0,\infty),\mathcal{L}(r,\infty)),$$

é suficiente estimar as normas

$$\sup_{t>0} t^{(\frac{m}{2p}-\frac{m}{2r})} \|B(u,u)\|_{(r,\infty)} \in \sup_{t>0} t^{(\frac{m}{2p}-\frac{m}{2r})} \|S(t)a_0\|_{(r,\infty)}$$

pelas normas $\|u\|_{F_{q,p}}$ e $\|u_0\|_{(p,\infty)},$ respectivamente.

O caso particular r = p, já vimos no item (ii) do Teorema 2.5. Portanto, a essência da demonstração do Teorema 3.4 é o seguinte lema:

Lema 3.7. Assumindo as hipóteses do Teorema 3.4, temos

$$\sup_{t>0} t^{(\frac{m}{2p}-\frac{m}{2r})} \|B(u,v)\|_{(r,\infty)} \le C \|u\|_{F_{q,p}} \|v\|_{F_{q,p}}$$

e

$$\sup_{t>0} t^{(\frac{m}{2p}-\frac{m}{2r})} \|S(t)a_0\|_{(r,\infty)} \le C \|a_0\|_{(p,\infty)}.$$

 $\begin{array}{l} {\it Demonstração}. \ \ {\rm Desde\ que\ } p' < m < q, \ {\rm temos\ } \frac{1}{m} < \frac{1}{p'} = 1 - \frac{1}{p}, \ {\rm ou\ seja}, \ \frac{1}{p} + \frac{1}{q} < 1. \ \ {\rm Então} \\ {\rm para\ algum\ } s > 1, \ {\rm podemos\ escrever\ } \frac{1}{p} + \frac{1}{q} = \frac{1}{s}. \ \ {\rm E\ supondo\ } p < r, \ {\rm obtemos\ } \frac{1}{s} > \frac{1}{p} > \frac{1}{r}. \\ {\rm Assim,\ podemos\ escrever\ } 1 + \frac{1}{r} = \frac{1}{s} + \frac{1}{l}, \ {\rm para\ algum\ } l > 1. \end{array}$

Note, ainda, que a condição $\frac{1}{p}+\frac{1}{q}-\frac{1}{r}<\frac{1}{m},$ nos garante

$$-\frac{m+1}{2} + \frac{m}{2l} = -\frac{m}{2} - \frac{1}{2} + \frac{m}{2} \left(-\frac{1}{p} - \frac{1}{q} + \frac{1}{r} + 1 \right)$$
$$> -\frac{m}{2} - \frac{1}{2} + \frac{m}{2} \left(1 - \frac{1}{m} \right) = -1.$$

Usando o Lema 2.1, a continuidade do projetor de Leray e a Desigualdade Generalizada de Hölder (1.28), obtenha

$$\begin{split} \|B(u,v)(t,x)\|_{(r,\infty)} & \leq C \int_{0}^{t} (t-s)^{-\frac{m+1}{2} + \frac{m}{2l}} \|u(s)\|_{(p,\infty)} \|v(s)\|_{(q,\infty)} ds \\ & \leq C \sup_{t>0} \|u(t)\|_{(p,\infty)} \sup_{t>0} t^{\frac{\alpha}{2}} \|v(t)\|_{(q,\infty)} \int_{0}^{t} (t-s)^{-\frac{m+1}{2} + \frac{m}{2l}} s^{-\frac{\alpha}{2}} ds \\ & \leq C \|u\|_{F_{q,p}} \|v\|_{F_{q,p}} t^{-\frac{m+1}{2} + \frac{m}{2l} - \frac{\alpha}{2} + 1} \int_{0}^{t} (t-s)^{-\frac{m+1}{2} + \frac{m}{2l}} s^{-\frac{\alpha}{2}} ds \\ & \leq C t^{-\left(\frac{m}{2p} - \frac{m}{2r}\right)} \|u\|_{F_{q,p}} \|v\|_{F_{q,p}} \end{split}$$

Para provar a outra desigualdade, precisamos estimar o

$$\sup_{t>0} t^{\frac{m}{2p}-\frac{m}{2r}} \|\cdot\|_{(r,\infty)}$$

da parte linear da equação integral (3.3) e mostrar que a norma pode ser controlada pela norma do dado inicial. Assuma que $a_0 \in \mathcal{L}(p,\infty)$; se r > p, existe l > 1, tal que, $1 + \frac{1}{r} = \frac{1}{p} + \frac{1}{l}$, usando a Desigualdade de Young (1.26) ou o Lema 2.1, obtemos

$$||S(t)a_0||_{(r,\infty)} \le ||g(t,x)||_l ||a_0||_{(p,\infty)}$$

$$\le C t^{-\frac{m}{2} + \frac{m}{2l}} ||a_0||_{(p,\infty)}$$

$$= C t^{-(\frac{m}{2p} - \frac{m}{2r})} ||a_0||_{(p,\infty)}.$$

Demonstração de Corolário 3.5

Como $m < q < \infty$, podemos escolher um p, tal que, $m . Seja <math>u_{0,k} \in \mathcal{L}^m \cap \mathcal{L}^p$, $k \in \mathbb{N}$, de norma suficientemente pequena. Fazendo r = m no Teorema 3.4, temos

$$||u_k(t)||_{(m,\infty)} \leq Ct^{-(\frac{m}{2p}-\frac{1}{2})}.$$

Logo a solução com condição inicial $u_{0,k}$ satisfaz

$$\lim_{t \to \infty} ||u_k(t)||_m = 0. \tag{3.5}$$

Denote por C_0 o subespaço de BC consistindo de todas as funções que anulam-se no infinito. Se $u_0 \in \mathcal{L}^m$, então u_0 pode ser aproximado, na norma $\|\cdot\|_{\mathcal{L}^m}$, por funções $u_{0,k} \in \mathcal{L}^m \cap \mathcal{L}^p$, onde 1 < m < p.

Pela continuidade em relação ao dado inicial das soluções obtidas no Teoremas 2.15 (ver desigualdade (2.21) do Lema 2.8), a solução $u_k(t,x)$ converge na norma do espaço \widetilde{F}_q para a solução branda u(t,x). Por (3.5), vemos que $u_k \in C_0([0,\infty); \mathcal{L}^m)$ para todo $k \in N$. Como $C_0([0,\infty); \mathcal{L}^m)$ é um subespaço fechado de $BC([0,\infty); \mathcal{L}^m)$, segue que

$$\lim_{t \to \infty} ||u(t)||_{\mathcal{L}^m} = 0. \tag{3.6}$$

3.2 Estabilidade Assintótica

Nesta seção, mostraremos algumas propriedades de estabilidade assintótica das soluções brandas do Teorema 2.5. Para isto estimaremos a diferença, w = u - v das soluções brandas e mostraremos que vai a zero quando $t \to \infty$. O próximo teorema é uma combinação de resultados encontrados em [3, 6].

Teorema 3.8. Sejam u,v soluções do problema de valor inicial (2.3) dadas pelo Teorema 2.5, com os dados iniciais u_0 e $v_0 \in \mathcal{L}(m,\infty)$, respectivamente. Assumindo que $\lim_{t\to\infty} \|S(t)(u_0-v_0)\|_{(m,\infty)} = 0$, então

$$\lim_{t \to \infty} \|u(t, x) - v(t, x)\|_{(m, \infty)} = 0. \tag{3.7}$$

Por outro lado, se $\lim_{t\to\infty}t^{\frac{\alpha}{2}}\|S(t)(u_0-v_0)\|_{(q,\infty)}=0,$ então

$$\lim_{t \to \infty} t^{\frac{\alpha}{2}} \|u(t, x) - v(t, x)\|_{(q, \infty)} = 0. \tag{3.8}$$

Observação 3.9. Seja u uma solução branda auto-similar com condição u_0 uma função homogênea pequena, e v uma solução branda com condição inicial $v_0 = u_0 + \phi$, isto \acute{e} , uma pequena pertubação de u_0 , tal que, $\lim_{t\to\infty} \|S(t)\phi\|_{(m,\infty)} = 0$. Aplicando o Teorema 3.8, vemos que a solução pertubada v \acute{e} atraída pela solução auto-similar. Por exemplo, tome $\phi \in C_c$, com norma suficientemente pequena em $\mathscr{L}(m,\infty)$. De fato, seja 1 <math>e $\phi \in C_c \subset \mathscr{L}(p,\infty)$. Então

$$||S(t)\phi||_{(m,\infty)} \le Ct^{\frac{m}{2}(\frac{1}{m}-\frac{1}{p})} ||\phi||_{(p,\infty)} \to 0, \text{ quando } t \to \infty.$$

Demonstração do Teorema 3.8

Sejam u = u(t,x) e v = v(t,x) soluções brandas globais em F_q do problema de valor

inicial (2.3). Então

$$u(t,x) = S(t)u_0 + B(u,u)(t,x)$$

$$v(t,x) = S(t)v_0 + B(v,v)(t,x)$$

Agora, considere a diferença

$$w(t,x) = u(t,x) - v(t,x) = S(t)(u_0 - v_0) + B(u,u) - B(v,v)$$

$$= S(t)(u_0 - v_0) + B(u - v,v) + B(u,u - v)$$

$$= S(t)(u_0 - v_0) + B(w,v) + B(u,w).$$

Procedendo exatamente como na prova do Lema 2.9 (ver capítulo 2), obtemos

$$||B(w,v)||_{(m,\infty)} \leq \int_0^t ||\nabla S(t-s)\mathbb{P}(u\otimes v)(s,x)||_{(m,\infty)} ds$$

$$\leq C \sup_{t>0} t^{\frac{\alpha}{2}} ||v(t,x)||_{(q,\infty)} \int_0^t (t-s)^{\frac{\alpha}{2}-1} s^{-\frac{\alpha}{2}} ||w(s,x)||_{(m,\infty)} ds.$$

Analogamente podemos obter que

$$||B(u,w)||_{(m,\infty)} \leq C \sup_{t>0} t^{\frac{\alpha}{2}} ||u(t,x)||_{(q,\infty)} \int_0^t (t-s)^{\frac{\alpha}{2}-1} s^{-\frac{\alpha}{2}} ||w(s,x)||_{(m,\infty)} ds.$$

Pelo Teorema 2.5, sabemos que $\|u\|_{F_q} \leq C \varepsilon$ e $\|v\|_{F_q} \leq C \varepsilon.$ Assim, estimamos

$$\begin{split} \|B(w,v) - B(u,w)\|_{(m,\infty)} & \leq \|B(w,v)\|_{(m,\infty)} + \|B(u,w)\|_{(m,\infty)} \\ & \leq C(\|u\|_{F_q} + \|v\|_{F_q}) \int_0^t (t-s)^{\frac{\alpha}{2}-1} s^{-\frac{\alpha}{2}} \|w(s,x)\|_{(m,\infty)} ds \\ & \leq C\varepsilon \int_0^t (t-s)^{\frac{\alpha}{2}-1} s^{-\frac{\alpha}{2}} \|w(s,x)\|_{(m,\infty)} ds \\ & = C\varepsilon \int_0^1 (t-s)^{\frac{\alpha}{2}-1} s^{-\frac{\alpha}{2}} \|w(ts,x)\|_{(m,\infty)} ds. \end{split}$$

Considere

$$A = \overline{\lim}_{t \to \infty} \|w(ts)\|_{(m,\infty)} = \lim_{k \in \mathbb{N}, k \to \infty} \sup_{t > k} \|w(ts)\|_{(m,\infty)}.$$

Observe que

$$\sup_{t \ge k} \|w(ts)\|_{(m,\infty)} \le \|u\|_{F_q} + \|v\|_{F_q} \le C\varepsilon \in L^1((0,1),ds).$$

Pelo Teorema da Convergência Dominada e a monotonicidade da integral, obtemos

$$\overline{\lim_{t \to \infty}} \int_0^1 (1-s)^{\frac{\alpha}{2}-1} s^{-\frac{\alpha}{2}} \|w(ts)\|_{(m,\infty)} ds \leq A \int_0^1 (1-s)^{\frac{\alpha}{2}-1} s^{-\frac{\alpha}{2}} ds.$$

Como os expoentes $\frac{\alpha}{2}-1$ e α são maiores que -1, segue que $\int_0^1 (1-s)^{\frac{\alpha}{2}-1} s^{-\frac{\alpha}{2}} ds < \infty$. Assim,

$$\overline{\lim}_{t \to \infty} \|w(t,x)\|_{(m,\infty)} \leq \overline{\lim}_{t \to \infty} \|S(t)(u_0 - v_0)\|_{(m,\infty)} + C\varepsilon A$$

$$= 0 + C\varepsilon A < A,$$

quando escolhermos $0 < \varepsilon < (C)^{-1}$. Logo A = 0, isto é,

$$\lim_{t\to\infty}\|w(t,x)\|_{(m,\infty)}=\overline{\lim_{t\to\infty}}\|w(t,x)\|_{(m,\infty)}=0.$$

Isto finaliza a demonstração de (3.7).

De maneira semelhante podemos demonstrar (3.8). Estimamos a parte não linear de $t^{\frac{\alpha}{2}} \| u(t) - v(t) \|_{(q,\infty)}$, de forma semelhante a demonstração da desigualdade (2.23) do Lema 2.9, e obtemos

$$t^{\frac{\alpha}{2}} \|B(w,v) + B(u,w)\|_{(q,\infty)} \le C\varepsilon \int_0^1 (1-s)^{\frac{\alpha}{2}-1} s^{-\alpha} \|w(ts,x)\|_{(q,\infty)} ds.$$

Assim,

$$||w||_{(q,\infty)} \leq t^{\frac{\alpha}{2}} ||S(t)(u_0 - v_0)||_{(q,\infty)} + t^{\frac{\alpha}{2}} ||B(w,v) + B(u,w)||_{(q,\infty)}$$

$$\leq t^{\frac{\alpha}{2}} ||S(t)(u_0 - v_0)||_{(q,\infty)} + C\varepsilon \int_0^1 (1-s)^{\frac{\alpha}{2}-1} s^{-\alpha} ||w(ts,\cdot)||_{(q,\infty)} ds.$$
 (3.10)

Definindo

$$A = \overline{\lim}_{t \to \infty} t^{\frac{\alpha}{2}} \|w(ts)\|_{(q,\infty)} = \lim_{k \to \infty} \sup_{t > k} t^{\frac{\alpha}{2}} \|w(ts)\|_{(q,\infty)}.$$

Aplicando o $\overline{\lim}$ em (3.9) e procedendo como na prova de (3.7), concluímos que A=0.

Referências Bibliográficas

- [1] Brézis, H., Análises funcional teoría y aplicaciones, volume 38, Ed. cast Edition, 1984.
- [2] Barraza, O., Self-similar solutions in weak L^p-spaces of the navier-stokes equations, Revista Matemática Iberoamericana, 12(2), 1996.
- [3] Barraza, O., Regularity and stability for the solutions of the navier-stokes equation in lorentz spaces, Nonlinear Analysis, (35): 747–764, 1997.
- [4] Borchers, W., Miyakawa, T., On stability of exterior NavierŰStokes flows, Acta Math. 147, 311Ű-82, 1995.
- [5] Carrillo, José A.; Ferreira, Lucas C. F., Self-similar solutions and large time asymptotics for the dissipative quasi-geostrophic equation. Monatsh. Math. 151, no. 2, 111–142, 2007.
- [6] Cannone, M., Karch, G., About the regularized Navier-Stokes equations, J. Math Fluid Mechanics 7:1–28, 2005.
- [7] Chorin, A., Marsden, J., An Inroduction to Mathematical Fluid Mechanics. Spring Verlang, New York, 1979.
- [8] Evans, L.C., Partial Differential Equations, Graduate Studies in Mathematics, 19, American Mathematical Society, Providence RI, 1998.
- [9] Folland, G., Real Analysis, John Wiley & Sons, 1984.
- [10] Fujiwara, D., Morimoto, H., An Lr -Theorem of the Helmholtz decomposition of vectos fields Fac. Sci. Univ. Tokio 24 658–700, 1977.

- [11] Ferreira, Lucas C. F., Soluções auto-similares para a equação quase-geostrófica e comportamento assitótico, Tese de Doutorado, Departamento de Matemática, Março 2005.
- [12] Hunt, R., On $\mathcal{L}(p,q)$ spaces, L'Enseignement Mathématique, t. (12)(4) 249–276, 1966.
- [13] Kato, T., Strong \mathcal{L}^p —Solutions of the Navier-Stokes Equation in \mathbb{R}^m , with aplications to Weak Solutions, Math, Z. 187 (1984) 471-480.
- [14] Kristiansson, E., Decreasing rearrangement and Lorentz $\mathcal{L}(p,q)$ spaces, Tese de Mestrado, Departament of Mathematics, december 2002.
- [15] Lages, E., Espaços Métricos, 2.ed. IMPA, 1983 (Projeto Euclides).
- [16] Lorentz, G. G., Some new functional space, Ann. of Math, 51:37–55, 1950.
- [17] Lemarié-Rieusset, P., Recent Developments in the Navier-Stokes Problem, Chapman & Hall/CRC Press, Boca Raton, 2002.
- [18] O'Neil, R., Convolution operators and $\mathcal{L}(p,q)$ spaces, Duke Math. J. 30 (1963) 129-142.
- [19] Sharpley, R., Bennett, C., Interpolation of Operators, Academic Press, New York, Mathematics vol. 129, 1988.
- [20] Stein, E., Singular integral and Differentiability properties of functions, Princeton University Press, Princeton, N.J., 1970.
- [21] Walter, R., Real And complex Analysis, Mathematics Series, 3º edition.
- [22] Ziemer, W., Weakly Differentiable Functions: Sobolev spaces and Functions of bounded variation, 120, Springer-Verlag, N.Y., 1980.
- [23] www.claymath.org/prizeproblems.